

010016508-3



NECOS 国電・資料室

三井金属資源開発株式会社

E80004

NEDOBIS

昭和62年9月

報 告 書

(2) 地盤地質調査報告書及く調査工事(乙)

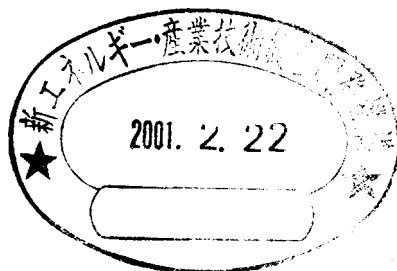
昭和61年度 地盤調査促進調査

昭和61年度 地熱開発促進調査

王滝地域精密構造試錐及び調査工事(その2)

報 告 書

昭 和 62 年 9 月



三井金属資源開発株式会社

I.	總 說	1
I - 1	全工事の概要	1
1.	工事の目的	1
2.	工事場所	1
3.	工事期間	1
4.	工事内容	1
5.	工事結果	5
6.	工事担当者	8
I - 2	既存調査の内容	10
II.	鐵錐掘削工事 (N61-OT-5)	30
1.	作業経過	30
2.	現場施設	36
3.	掘削作業状況	38
4.	主要消耗品	40
5.	復旧作業	40
III - 1	地質及地質	59
1.	地 質	59
2.	地 質	77
3.	削孔目の発達状況	77
4.	考 察	78
III - 2	溫度換算	79
1.	測定方法	79
2.	測定結果	79
3.	考 察	95
III - 3	電気換算	96
1.	測定方法	96
2.	測定結果	96
3.	考 察	96

次 目

昭和61年度地質開拓促進調査王道地域精密構造調査
及地質調査工事 (乙の2) 調査書

2. 測定結果	96
3. 考 察	103
III - 4 注水試験	104
1. 試験方法	104
2. 試験結果	106
3. 考 察	109
III - 5 熱水(流体)の分析	122
1. 試料採取及び分析方法	122
2. 分析結果	124
3. 考 察	124
 IV. コア試験	128
IV - 1 顕微鏡観察	128
1. 観察方法	128
2. 観察結果	128
3. 考 察	129
IV - 2 粉末X線回折分析	137
1. 分析方法	137
2. 分析結果	138
3. 考 察	138
IV - 3 物性試験	146
1. 試験方法	146
2. 試験結果	148
3. 考 察	149
 V. 総 括	166
V - 1 調査及び測定	166
V - 2 コア試験	170
V - 3 調査のまとめ	176
V - 4 ま と め	177
 引用文献	179
参考文献	180

付 図 目 次

第 I - 1図 調査位置図	2～ 3
第 I - 2図 地熱探査状況図	11～ 12
第 I - 3図 御岳火山周辺地質図	14
第 I - 4図 変質帯と地質構造の関係図	17～ 18
第 I - 5図 地下構造解析平面図	19～ 20
第 I - 6図 電磁探査 (CSAMT 法) 総合解析図	21～ 22
第 I - 7図 (1)～(3) 推定震源分布図	25～ 27
第 I - 8図 シュランベルジャー法解析図	28～ 29
第 II - 1図 N61-OT-5 位置図	31～ 32
第 II - 2図 N61-OT-5 掘削工事実績図	34～ 35
第 II - 3図 N61-OT-5 現場設備配置図	36
第 II - 4図 N61-OT-5 掘削中の泥水温度及び坑底温度図	43
第 II - 5図 N61-OT-5 ケーシングパイプ挿入実績図	45
第 II - 6図 N61-OT-5 2" (60.5mm) 孔明管加工図	49
第 II - 7図 N61-OT-5 掘削能率及びコア実収率図	53
第 III - 1図 総合地質柱状図	60
第 III - 2図 地質図	61～ 62
第 III - 3図 地質断面図	63～ 64
第 III - 4図 模式層序断面図	65～ 66
第 III - 5図 (1)～(4) N61-OT-5 試錐地質柱状図	69～ 76
第 III - 6図 坑内検層システム図	80
第 III - 7図 温度検層測定機器配置図	81
第 III - 8図 N61-OT-5 温度検層図	87～ 88
第 III - 9図 N61-OT-5 温度回復試験図	89～ 90
第 III - 10図 N61-OT-5 温度回復曲線図	92～ 93
第 III - 11図 電気検層測定機器配置図	97
第 III - 12図 N61-OT-5 電気検層図	99～100
第 III - 13図 N61-OT-5 注水試験装置配置図	107
第 III - 14図 N61-OT-5 注水試験結果図	112～113
第 III - 15図 N61-OT-5 注水時プロット図	114
第 III - 16図 N61-OT-5 フォールオフ時プロット図	115
第 III - 17図 N61-OT-5 注水試験時温度検層図	120～121

第三 - 18 図 N61 - OT - 5 細水 (流体) 分析 - 4 つ 3 つ 2 つ 126	第三 - 19 図 N61 - OT - 5 細水 (流体) の水素・酸素同位体組成相図 127
第四 - 1 図 (1) ~ (4) 脂微鏡写真 133~136	第四 - 2 図 N61 - OT - 5 捷出微生物分布図 141~142
第四 - 3 図 施井間密度分布図 (粘土鉱物化成) 144	第四 - 4 図 N61 - OT - 5 地層別 153~154
第四 - 5 図 (1) 有効空隙率 - 密度相図 (岩石別) 155	第四 - 5 図 (2) 有効空隙率 - 密度相図 (地層別) 155
第四 - 6 図 (1) 帶磁率 - 密度相図 (岩石別) 156	第四 - 6 図 (2) 帯磁率 - 密度相図 (地層別) 156
第四 - 7 図 (1) 離性波速度 - 密度相図 (岩石別) 157	第四 - 7 図 (2) 離性波速度 - 密度相図 (地層別) 157
第四 - 8 図 (1) 粘伝導率 - 密度相図 (岩石別) 158	第四 - 8 図 (2) 粘伝導率 - 密度相図 (地層別) 158
第四 - 9 図 (1) 帶磁率 - 有効空隙率相図 (岩石別) 159	第四 - 9 図 (2) 帯磁率 - 有効空隙率相図 (地層別) 159
第四 - 10 図 (1) 離性波速度 - 有効空隙率相図 (岩石別) 160	第四 - 10 図 (2) 離性波速度 - 有効空隙率相図 (地層別) 160
第四 - 11 図 (1) 粘伝導率 - 有効空隙率相図 (岩石別) 161	第四 - 11 図 (2) 粘伝導率 - 有効空隙率相図 (地層別) 161
第四 - 12 図 (1) 離性波速度 - 帶磁率相図 (岩石別) 162	第四 - 12 図 (2) 離性波速度 - 帶磁率相図 (地層別) 162
第四 - 13 図 (1) 粘伝導率 - 帶磁率相図 (岩石別) 163	第四 - 13 図 (2) 粘伝導率 - 帶磁率相図 (地層別) 163
第四 - 14 図 (1) 粘伝導率 - 離性波速度相図 (岩石別) 164	第四 - 14 図 (2) 粘伝導率 - 離性波速度相図 (地層別) 164
第五 - 1 図 粘伝導率の垂直分布図 172~173	第五 - 2 図 N61 - OT - 5 総合柱状図 174~175

付 表 目 次

第 I - 1表	試錐坑掘削位置及び概要	1
第 I - 2表	全工事工程表	4
第 I - 3表	調査数量表	6
第 I - 4表	王滝地域調査推移一覧表	10
第 I - 5表	地質層序対比表	15
第 I - 6表	王滝地域熱流量調査結果一覧表	23
第 II - 1表	N61-OT-5 掘削工事総括表	30
第 II - 2表	N61-OT-5 掘削工事一覧表	33
第 II - 3表	N61-OT-5 主要機器設備一覧表	37
第 II - 4表	N61-OT-5 泥剤配合比表	39
第 II - 5表	N61-OT-5 掘削作業状況一覧表	41
第 II - 6表	N61-OT-5 掘削中の入排泥量、泥水温度及び外気温一覧表	42
第 II - 7表	N61-OT-5 坑底温度一覧表	44
第 II - 8表 (1) ~ (2)	N61-OT-5 逸水状況及び対策	46~ 47
第 II - 9表	N61-OT-5 使用ケーシングパイプ一覧表	48
第 II - 10表 (1) ~ (2)	N61-OT-5 セメンチング状況一覧表	50~ 51
第 II - 11表	N61-OT-5 掘削能率及びコア実収率一覧表	52
第 II - 12表	N61-OT-5 使用ビット実績表	54
第 II - 13表 (1) ~ (3)	N61-OT-5 主要消耗品使用実績表	55~ 57
第 II - 14表	N61-OT-5 泥剤及び逸水防止剤使用実績表	58
第 III - 1表	地質層序表	68
第 III - 2表	坑内検層測定装置一覧表	82
第 III - 3表	N61-OT-5 裸坑時温度検層実施状況	83
第 III - 4表	N61-OT-5 温度回復試験実施状況	84
第 III - 5表 (1) ~ (2)	N61-OT-5 温度測定結果一覧表	85~ 86
第 III - 6表	N61-OT-5 平衡温度推定表	94
第 III - 7表	N61-OT-5 電気検層実施状況	98
第 III - 8表	N61-OT-5 自然電位検層結果	101
第 III - 9表	N61-OT-5 比抵抗検層結果	102
第 III - 10表	注水試験使用機器	107
第 III - 11表	N61-OT-5 注水試験実績工程	108
第 III - 12表 (1) ~ (2)	N61-OT-5 注水試験結果	110~111

第III - 13表 N61-OT-5 浸透率・層厚積算出結果表	116
第III - 14表 N61-OT-5 注水試験時温度検層作業経過	117
第III - 15表 (1) ~ (2) N61-OT-5 注水試験時温度測定結果表	118~119
第III - 16表 热水(流体)分析項目・試料採取量・前処理方法一覧表	123
第III - 17表 热水(流体)分析方法・測定限界一覧表	123
第III - 18表 热水(流体)分析値一覧表	125
第IV - 1表 N61-OT-5 顕微鏡観察結果一覧表	130~131
第IV - 2表 N61-OT-5 X線回折分析結果一覧表	139~140
第IV - 3表 N60-OT-1, N60-OT-2, N61-OT-3, N61-OT-4, N61-OT-5 変質鉱物出現深度表	143
第IV - 4表 N61-OT-5 物性試験総括表	150
第IV - 5表 N61-OT-5 地層別・岩石別物性値一覧表	151~152
第IV - 6表 N61-OT-5 コア物性間相関係数	165
第V - 1表 地層別確認深度及び見掛層厚	166
第V - 2表 最高温度, 推定平衡温度及び温度勾配	167
第V - 3表 地層別温度勾配及び熱流量	167
第V - 4表 自然電位検層結果総括表	168
第V - 5表 地層別比抵抗平均値	169
第V - 6表 注水試験結果総括表	169
第V - 7表 地層別・岩石別物性平均値	170
第V - 8表 昭和61年度王滝地域精密構造試錐及び調査工事(その2)総括表	178

別冊・添付図（箱入）目次

第II - 2図 N61-OT-5 掘削工事実績図

第V - 2図 N61-OT-5 総合柱状図（縮尺1:2,000）

付帯資料目次

1. 現場カラー写真, ネガ及び白黒のベタ焼	1部
2. コアカラー写真（カラー・インデックス添付）, ネガ及び白黒のベタ焼	1部
3. 顕微鏡写真, ネガ及び白黒のベタ焼	1部
4. 顕微鏡観察に使用した岩石薄片	1式
5. 顕微鏡観察記載カード	1式
6. 電気検層原記録	1式
7. 温度検層原記録	1式
8. 粉末X線回折分析原記録	1式
9. 弹性波速度測定の記録写真, ネガ及び白黒のベタ焼	1式
10. 物性試験測定計算表	1式
11. 添付図表及び本文に挿入したA-4またはA-3判ほかの図表のマイラー原図	1式
12. 報告書（図表を含む）のマイクロフィッシュ	1式
13. 引用文献コピー	1部

I. 総 説

I. 総 説

I - 1 全工事の概要

1. 工事の目的

王滝地域の地熱開発促進を目的として、地下の地質、岩石変質、地温、逸水、割れ目の状況等を解明するために、昭和61年度の精密構造試錐工事に引き続いで精密構造試錐及び調査工事（その2）を実施した。

2. 工事場所

調査地域は、御岳火山（標高3,063m）の南麓、長野県木曾郡王滝村内に位置する。調査範囲は地域内を東流する王滝川を南縁とした南北6km、東西約12kmの70km²にわたり、海拔1,000～2,000mの南傾斜地にある。

調査地域南東部にある村役場所在地の上島へは、JR中央本線木曾福島駅から自動車にて約40分で達する。調査地域内の主要連絡道は王滝林道で、地域中央部を標高1,200～1,300mで横断し、南西部の滝越部落に通じる。精密構造試錐N61-OT-5坑地点までは御嶽神社里宮から分岐した林道が通じている（第I-1図参照）。

なお、これら林道とは別に王滝川沿いに上島と滝越とを結んでいた県道は、昭和59年9月に当地を震源として生じた長野県西部地震による岩屑流の直撃を受けたが、現在は復旧工事が完了している。

3. 工事期間

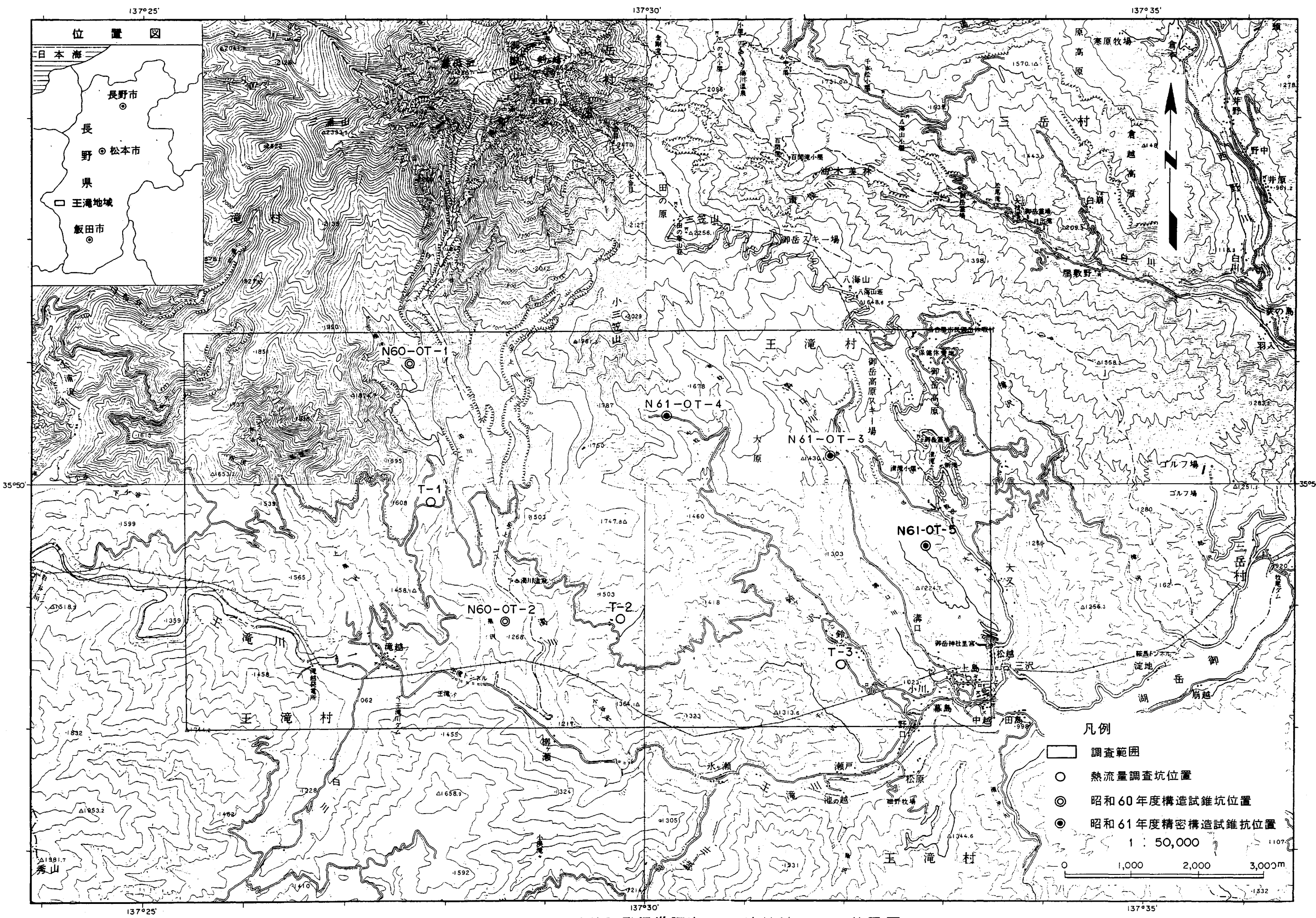
昭和62年3月2日から準備工事を開始し、昭和62年9月30日まで約7ヵ月を要した。全工程の進捗状況を第I-2表に示す。

4. 工事内容

(i) 精密構造調査井掘削工事

第I-1表 試錐坑掘削位置及び概要

試錐坑名	掘削深度 (m)	掘削方 向	最 終 坑 径 (mm)	位 置		坑 口 標 高 (m)	所 在 地
				北 緯	東 経		
N61-OT-5	502.0	垂 直	76.0mm	35° 49' 28"	137° 32' 49"	1,250	長野県木曾郡 王滝村 3310



第1-2表 全工事工程表

調査坑名	工事内容	昭和62年									
		3月	4月	5月	6月	7月	8月	9月	10月		
掘削及び調査工事 N61-OT-5	準備工事	■ 2		■ 7 17	■ 3 6						
	掘削工事			■ 8		■ 2 11					
	調査及び測定						■ 3 15				
	撤収工事							■ 7 21			
	休業								■ 31		
	コア試験									■ 30	
	調査成果検討及び報告書作成										

(ii) 調査及び測定

コア観察及び地質柱状図作成, 温度・電気検層, 温度回復試験, 注水試験

(iii) コア試験

地質関係 岩石薄片顕微鏡観察, 粉末X線回折

物性試験 密度測定, 帯磁率測定, 弾性波速度測定, 熱伝導率測定

5. 工事結果

各調査数量を第 I - 3 表に示す。

(i) 地 質

調査井コアで確認された地下の地質を下表に示す。

時 代	地 層 名	N - 61 - O T - 5	
		深 度 (m)	層 厚 (m)
第 四 紀 更新 世 中 期	御岳第1期火山岩類	30.00～292.20	262.20
ジ ュ ラ (二 紀 疊 紀)	美濃帯中・古生層	292.20～502.00	209.80

本調査井はいずれも地表調査結果から推定された、基盤である美濃帯中・古生層中の低比抵抗帯をねらって実施された。

以下の結果を明らかにした。

- (1) 地表調査から推定した地質層序及び美濃帯中・古生層の存在を確認した。
- (2) 御岳第1期火山岩類は約250m以上の層厚と予想され、ほぼ予想どおり262mの層厚を示した。
- (3) 基盤である美濃帯中・古生層のわれ目密度は小さく、かつ変質もほとんど認められなかった。

(ii) 変質鉱物

試錐コアの粉末X線回折では、石英、緑泥石、絹雲母、方解石等の二次鉱物又はその可能性を有する鉱物が検出された。これらの鉱物の組合せとしては主に次のグループが考えられる。

- (1) クリストバライト
- (2) 絹雲母 + 緑泥石

第一-3表 調査数量表

試 錐 坑 名	位置・標高	所 在 地	掘削深度		最 終 坑 徑 方 向	掘 削	物 理 檢 層			コ ア 採 取 区 間	肉 眼 観 察	コ ア 試 験					
			當 初 予 定	實 績			溫度測定	電 氣 檢 層	注 水 試 驗			X線回折分析	密 度	帶 磁 率	彈 性 波 速 度	熱 伝 導 率	
			(m)	(m)	(mm)		(回)	(回)	回			バ ル ク	水 ひ 度	(個)	(個)	(個)	
N61- OT-5	北緯 35° 49' 28" 東経 137° 32' 49" 標高 1,250m	長野県木曾郡王滝村 3310	500.00	502.00	76.0	垂 直	留点温度計 1 検層 3 温度回復試験 3	3	1	30.00 502.00	全 区 間	13	13	5	12	12	12

クリストバライトは御岳火山岩類中にのみ存在し、絹雲母、緑泥石及び方解石は美濃帯中・古生層中に存在する。クリストバライトは低温生成 (<100°C), また、絹雲母及び緑泥石は低温～中温 (<200°C), 弱酸性～中性, 弱変質等の環境下で生成されたと考えられる。クリストバライトは検鏡結果から初生鉱物と考えられ、御岳火山岩類中には熱水による白色変質鉱物は認められない。なお、石英は鏡下の観察結果からほとんどが初生鉱物と判定されている。

(iii) 温度検層・温度回復試験

熱源の存在を明示する温度徵候は認められなかった。地層別の温度勾配、熱流量、最高温度、推定平衡温度を以下に示す。

項 目	N-61-0T-5	
	温度勾配	熱 流 量
御岳第1期火山岩類	5.9°C / 100m	1.8 HFU
美濃帯中・古生層	1.2°C / 100m	1.1 HFU
平 均 *	3.2°C / 100m	1.4 HFU
最 高 温 度 (深 度)	21.2°C (501.1 m)	
推定平衡温度 (深度)	21.6°C (500.0 m)	

* 水位から深部につき平均した。

(iv) 電気検層

自然電位検層結果をまとめて以下に示す。

N61-0T-5
深度 292m以浅の御岳第1期火山岩類は数mVで短周期の振れが認められ、深度65m, 126 m, 160 m, 175 m, 198 m及び 220m付近に -50~-100mVのスパイク状の振れがみられる。
深度 298m付近でベースラインが -50mV程度ずれ、短周期の振れが減少している。
深度 447~ 461m付近で正負に50~100 mV振れながらベースラインが+100mVずれて乱れが生じている。

地層別の比抵抗平均値を以下に示す。

地層	N-61-OT-5		
	層厚 (m)	ショート ノルマル (Ω・m)	ロング ノルマル (Ω・m)
御岳第1期火山岩類	262	417	624
美濃帯中・古生層	210	325	460

比抵抗平均値において、御岳第1期火山岩類と美濃帯中・古生層で差がみられる。

(v) 注水試験

以下に試験結果を示す。

坑名	N61-OT-5			
	試験種別	注水 20ℓ/分	注水 40ℓ/分	注水 55ℓ/分
浸透率層厚積(darcy・m)	1.345×10^{-1}	2.592×10^0	2.291×10^0	3.080×10^0
層厚(m)※	202.2m	202.2m	202.2m	202.2m
浸透率(darcy)	6.652×10^{-4}	1.282×10^{-2}	1.133×10^{-2}	1.523×10^{-2}
透水係数(m/sec)	6.427×10^{-9}	1.239×10^{-7}	1.095×10^{-7}	1.472×10^{-7}

注水量がやや多く、孔明管挿入カ所の美濃帯中・古生層はいくらか透水性を示すと判断できる。

(vi) 物性試験

地層別物性平均値を以下に示す。

地層名	試料数	密度(g/cm³)			有効空隙率(%)	帶磁率($\times 10^{-6}$ emu/cm³)	弾性波速度(km/s)			熱伝導率($\times 10^{-3}$ cal/ cm·s·°C)
		自然	乾燥	湿潤			自然	乾燥	湿潤	
御岳第1期火山岩類	7	2.48	2.47	2.52	4.79	1,691	4.40	4.17	4.60	3.116
美濃帯中・古生層	5	2.70	2.69	2.71	1.74	140	4.48	4.52	4.34	3.715
計	12	2.57	2.56	2.60	3.52	1,045	4.43	4.32	4.49	5.449

6. 工事担当者

掘削工事は、三井金属資源開発株式会社の以下の者を責任者として施工された。

掘削主任者 谷川育夫 三井金属資源開発株式会社

技術責任者 矢野亮一 三井金属資源開発株式会社

現場代理人 谷川育夫 三井金属資源開発株式会社

調査、測定及び報告書作成の担当者は次のとおりである。

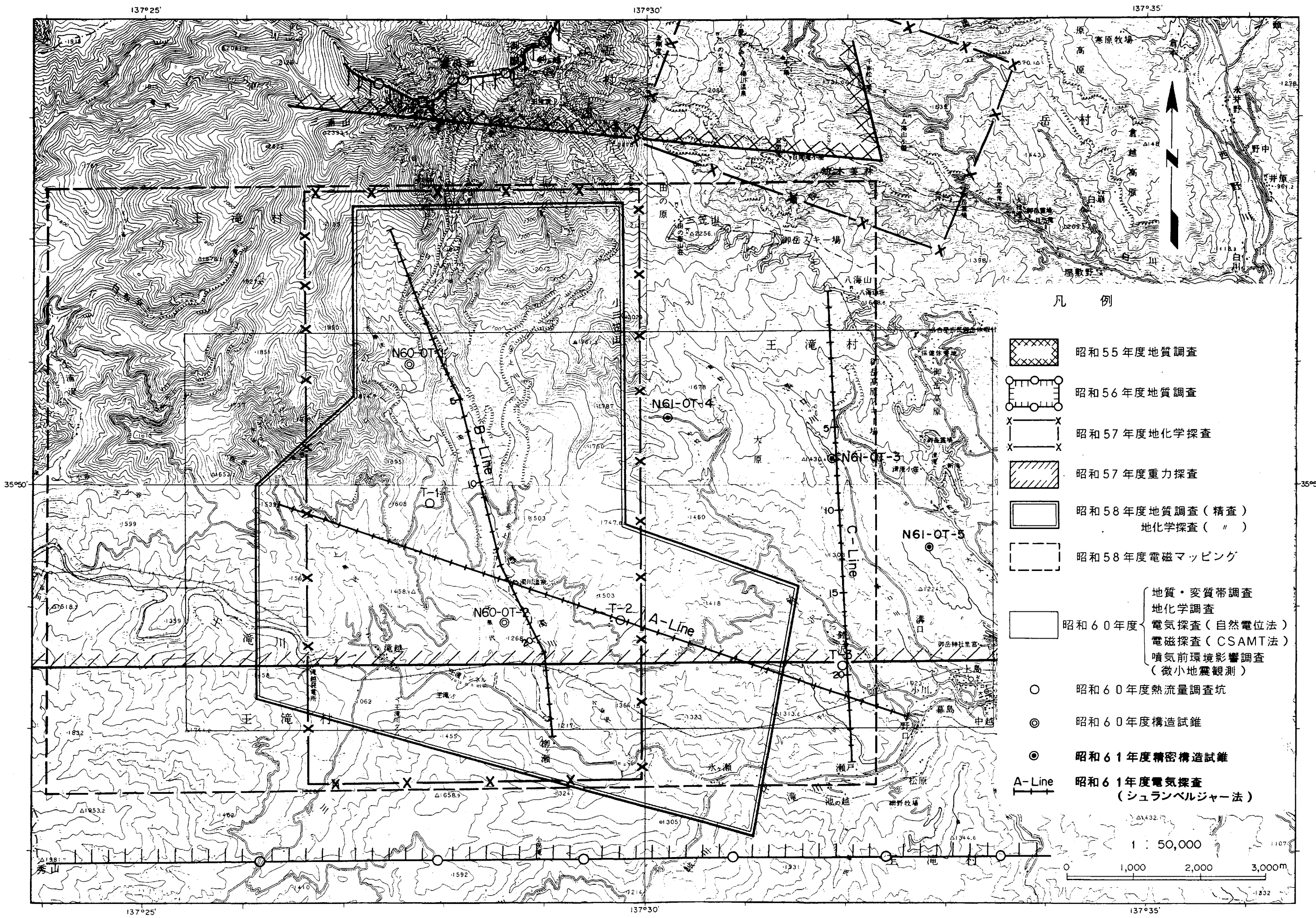
項 目	氏 名	所 属
コア観察	土居信一	三井金属資源開発株式会社
"	大坪良平	"
顕微鏡観察	土居信一	"
X線回折分析	土居信一	"
電気検層	田中栄治	"
温度検層	"	"
温度回復試験	"	"
注水試験	"	"
密度測定	斎藤光義	"
帶磁率測定	"	"
熱伝導率測定	"	"
弾性波速度測定	"	"
報告書作成	矢野亮一	"
"	土居信一	"
"	田中栄治	"

I - 2 既存調査の概要

本地域の地熱に関する既往調査の推移を第 I - 4 表に、それらの調査範囲を第 I - 2 図にそれぞれ示す。

第 I - 4 表 王滝地域調査推移一覧表

調査名	実施機関	調査項目	昭和 55年	昭和 56年	昭和 57年	昭和 58年	昭和 59年	昭和 60年	昭和 61年	昭和 62年
企業調査	中部電力(株) 及び三井金属鉱業(株)	地質調査 変質帶調査 1m深地温調査 地化学探査 CO ₂ (ガス) Hg(土壤) 重力探査 電磁マッピング								
昭和60年度 昭和61年度 地熱開発 促進調査	新エネルギー 総合開発機構	地質・変質帶調査 地化学会調査 電気探査(自然電位法) 電磁探査(CSAMT法) 電気探査(ショットペルト法) 熱流量調査 構造試錐 噴氣前環境影響調査 (微小地震観測) 精密構造試錐 精密構造試錐(その2)								



第 I - 2 図 地熱探査状況図

1. 地質・変質帯調査

御岳火山は、第I-3図に示すように、美濃帶中・古生層、濃飛流紋岩類及びこれらを貫く花崗斑岩～斑状花崗閃綠岩等を基盤として、第四紀更新世の中期から後期にかけて形成された安山岩主体の複式成層火山である。調査地域の地質層序を第I-5表にまとめた。

基盤岩類は、調査地域の南部に露出し、その東部に美濃帶中・古生層、中央部以西には濃飛流紋岩類がそれぞれ分布する。両者の境界部付近の美濃帶中・古生層側にはNW-SE方向の濃飛岩体東縁破碎帯又は断層が発達し、断層沿いに花崗斑岩の岩脈が貫入している。同帯の西北西側に隣接する濁川流域には、濃飛流紋岩類の噴出に関連した南北方向の陥没構造の形成があり、この陥没構造は御岳火山活動時にも再活動した可能性がある。

御岳火山岩類の噴出中心は濃飛岩体東縁破碎帯の延長上又は濃飛流紋岩類と美濃帶中・古生層の境にあると推定され、その噴出物は活動年代順に第1期～第4期に区分される。これら本質物質の噴出は約60万年前に始まり、約4万年（又は2万年）前に終っているが、昭和54年に山頂付近で突如水蒸気爆発が起り、マグマの活動が示唆された。

変質帯は、第I-4図に示すように、濃飛岩体東縁破碎帯及びその西側の濁川を中心とした区域に認められ、ハロイサイト帯、明ばん石帯及びセリサイト（絹雲母）一緑泥石帯に大別される。

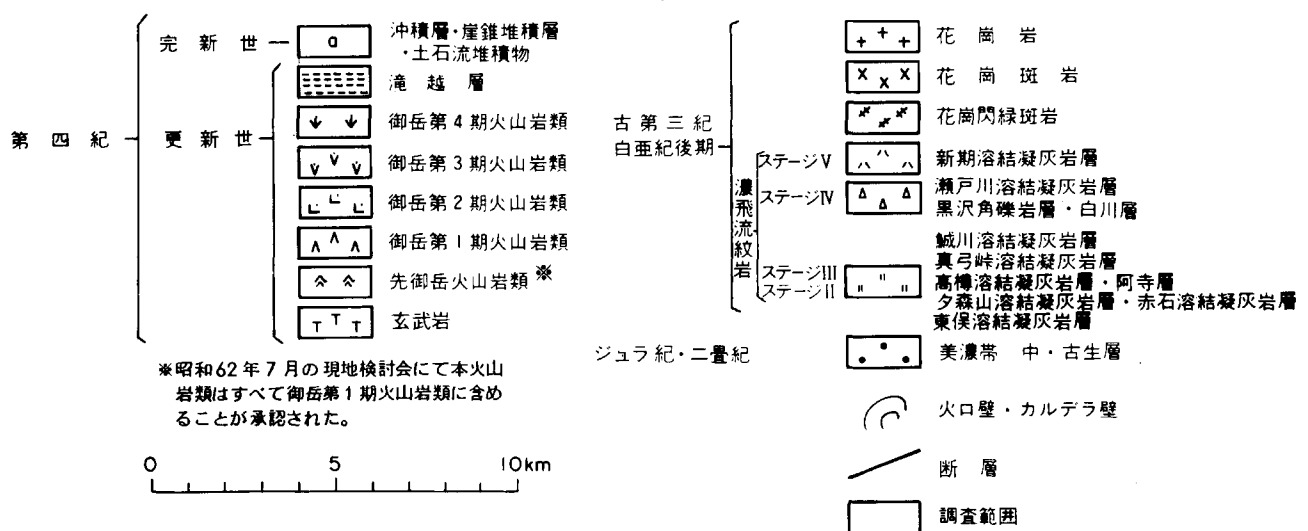
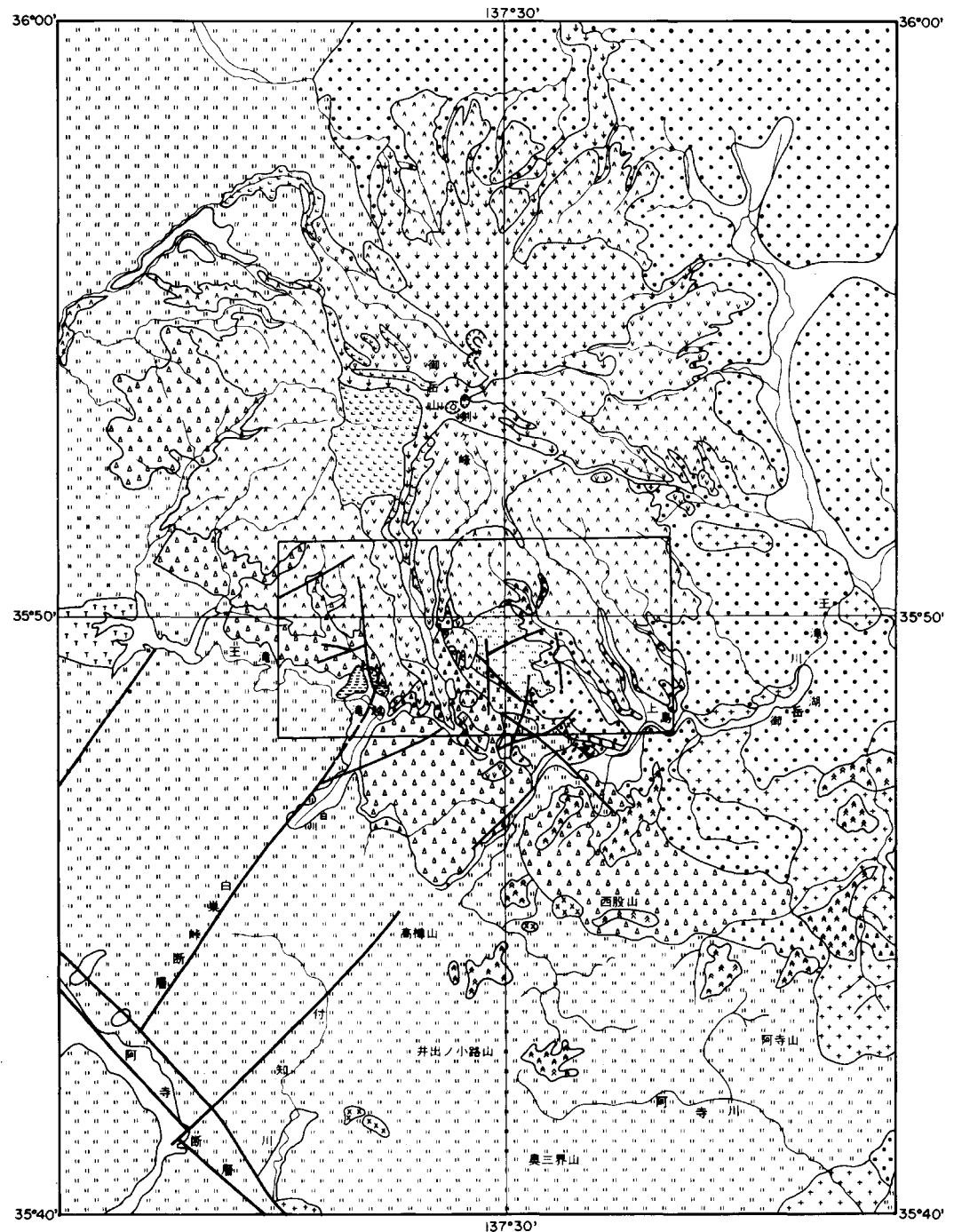
ハロイサイト帯及び明ばん石帯は、濁川陥没構造の西縁に当たる下黒沢以西の御岳第1期火山岩類中に発達するが、セリサイト（絹雲母）一緑泥石帯は濃飛流紋岩類、花崗斑岩等の基盤岩類中に生成し、両者の間に累帯配列はみられない。これらの変質作用はENE-WSWとN-S系を主とする断層裂か沿いに発達する。

2. 地化学調査

土壤中の水銀、二酸化炭素ガス及び1m深地温を測定し、次の3地区に水銀ガス主体の異常を認めた。

地区名	異常及び解釈
溝口川周辺	水銀異常のみが東西方向に比較的広範囲に分布。長野県西部地震の本震震央付近であり、地下の東西方向の地震断層を暗示。
下黒沢上流	南北方向に水銀異常のみが分布。旧カルデラ外縁あるいは濃飛岩体東縁破碎帯の一部を示唆。
水ヶ瀬北方	水銀、二酸化炭素、1m深地温の各異常が重複。濃飛岩体東縁破碎帯の一部あるいは潜在地震断層を示唆。

上記異常のほか、旧濁川温泉の南部に二酸化炭素と地温の異常が認められた。



第I-3図 御岳火山周辺地質図

第 I - 5 表 地 質 層 序 対 比 表

This figure is a geological cross-section diagram of the Mount Ontake area, illustrating the stratigraphy and geological evolution from the Paleozoic to the Quaternary. The diagram is organized into several vertical columns representing different geological units and periods.

- Top Row:** Periods and Units
 - 時代 (Period): 時代 (Period)
 - 神津坂祐 (1907): 較島輝彦 (1958)
 - 山田直利ほか (1971): 濱飛流紋岩研究グループ (1973)
 - 小林武彦ほか (1975): 曾屋龍典・小林武彦 (1982)
 - 松本盆地団研木曾谷サブグループ (1985)
 - 本調査 (Current Survey)
- Second Row:** 宏新世 (Hogen World) - 冲積層 (Quaternary Layer)
- Third Row:** 第4期 (Period 4) - 冲積層 (Quaternary Layer)
- Fourth Row:** 第4期 (Period 4) - 五ノ池スコリア (Scoria of Lake Go), 三ノ池溶岩 (Lava of Lake San), 二ノ池溶岩 (Lava of Lake Ni), 一ノ池溶岩 (Lava of Lake Ichi), 四ノ池溶岩 (Lava of Lake Yon).
- Fifth Row:** 第3期 (Period 3) - 田ノ原溶岩 (Lava of Tanohara), 奥ノ院溶岩 (Lava of Okuno-in), 伝上川溶岩 (Lava of Denjōkawa), 鹿ノ轍溶岩 (Lava of Kurogōtoku), 百間島溶結凝灰岩 (Bouldercemented Ash Rock of Hyakumonoshima).
- Sixth Row:** 第3期 (Period 3) - シン谷溶岩 (Lava of Shin-dani), 雄母岳溶岩 (Lava of Kurofune-dake), Pm-III, Pm-III, 湯ノ谷溶岩 (Lava of Yudan-dani), Pm-II, Pm-II, Pm-I, Pm-I.
- Seventh Row:** 第2期 (Period 2) - 三笠山溶岩 (Lava of Mt. Sankit), 清口沢溶岩 (Lava of Kiyomizukawa), 錦ヶ沢溶岩 (Lava of Kinugawa), 蒲原原溶岩 (Lava of Kurohara), ナカウ原溶岩 (Lava of Nakau), ホッタル沢溶岩 (Lava of Hottarawa), 土浦沢溶岩 (Lava of Tsuchiura).
- Eighth Row:** 第1期 (Period 1) - 先御岳火山岩類 (Volcanic rocks of the old Ontake), 千沢溶結凝灰岩層 (Bouldercemented Ash Rock layer of Chizawa), 鈴ヶ沢溶結凝灰岩層 (Bouldercemented Ash Rock layer of Kinugawa), 小谷層 (Kotani layer), 蒲原原溶岩層 (Lava layer of Kurohara), 小切谷溶岩層 (Lava layer of Kogane-dani), 三浦層 (Miura layer), 横沢層 (Yoko-gawa layer).
- Ninth Row:** 先御岳火山岩類 (Volcanic rocks of the old Ontake) - 鈴ヶ沢層 (Kinugawa layer), 地藏峰安山岩 (Andesite of Jizō-dake), 上野玄武岩 (Basalt of Ueno).
- Tenth Row:** 濱飛流紋岩類 (Bainifuri Igneous Rock Type) - 1748mピーク溶結凝灰岩層 (Bouldercemented Ash Rock layer of 1748m peak), 鈴ヶ沢溶結凝灰岩層 (Bouldercemented Ash Rock layer of Kinugawa), 千沢溶結凝灰岩層 (Bouldercemented Ash Rock layer of Chizawa), 竜塔塚山溶結凝灰岩層 (Bouldercemented Ash Rock layer of Ryoutatsuma), 焼戸川溶結凝灰岩層 (Bouldercemented Ash Rock layer of Yabu-gawa), 黒沢角礫岩層 (Conglomerate layer of Kurogawa), 白川層 (White River layer), 鳥川溶結凝灰岩層 (Bouldercemented Ash Rock layer of Tori-gawa), 真弓峠溶結凝灰岩層 (Bouldercemented Ash Rock layer of Mabuchi-ga-hashi).
- Eleventh Row:** 濱飛流紋岩類 (Bainifuri Igneous Rock Type) - 新期溶結凝灰岩層 (Bouldercemented Ash Rock layer of new period), 鈴戸川溶結凝灰岩層 (Bouldercemented Ash Rock layer of Yabu-gawa), 黑沢角礫岩層 (Conglomerate layer of Kurogawa), 白川層 (White River layer), 鳥川溶結凝灰岩層 (Bouldercemented Ash Rock layer of Tori-gawa), 真弓峠溶結凝灰岩層 (Bouldercemented Ash Rock layer of Mabuchi-ga-hashi).
- Twelfth Row:** 古生層 (Palaeozoic Layer) - 大古紀層 (Great Ancient Layer), 古生層及中生層 (Palaeozoic and Mesozoic layers), 美濃帶古生層 (Mino-dai Palaeozoic layer), 美濃帶中古生層 (Middle Mino-dai Palaeozoic layer), 美濃帶中古生層 (Middle Mino-dai Palaeozoic layer).
- Thirteenth Row:** 二疊紀・ジュラ紀 (Triassic and Jurassic) - 大古紀層 (Great Ancient Layer), 古生層及中生層 (Palaeozoic and Mesozoic layers), 美濃帶古生層 (Mino-dai Palaeozoic layer), 美濃帶中古生層 (Middle Mino-dai Palaeozoic layer).

*昭和62年7月16日の現地検討会でこの層序は否定され、すべて御岳第1期火山岩類に含めることになった。

温泉水を対象とした調査では、調査地域内に優勢な熱水貯留層の存在を認めなかったが、旧濁川温泉は $C\ell$ 型で、Na-K-Ca 温度計では 170°C 前後の比較的高温を示している。

3. 電気探査（自然電位法）

探査結果を第 I - 5 図に示す。

旧濁川温泉は直径 1km 程度の SP 高異常域にある。その南東延長にも 3km 以上の広がりをもつ長周期の高異常があり、全体として濃飛岩体東縁破碎帯や花崗斑岩岩脈の走向と調和的な NW-SE 方向に伸長する。

濁川の西側にみられる低異常と滝越高異常は、NNW-SSE の走向をもち、かつ濁川と下黒沢を境に低・高異常が対をなしたダイポール的な分布を示しており、濁川・下黒沢を境に著しい構造的な変化が推定される。

調査地域南東端の上島付近には長周期の低異常が発達するが、王滝村の中心として人工構造物が集中する区域であり、それらに由来する異常と考えられる。王滝トンネル・鈴ヶ沢低異常域もそれぞれトンネル及び橋脚の支持鉄筋等の腐食が原因であろう。

4. 電磁探査（CSAMT 法）

探査結果を第 I - 6 図に示す。

地熱探査上重要な低比抵抗帯のうち、特に $10 \Omega \cdot m$ 以下の異常は大部分濁川と伝上川に沿う区域に集中しており、濃飛流紋岩類中に NNW-SSE 系を中心に N-S, NE-SW 及び ENE-WSW 系の破碎帯が推定される。

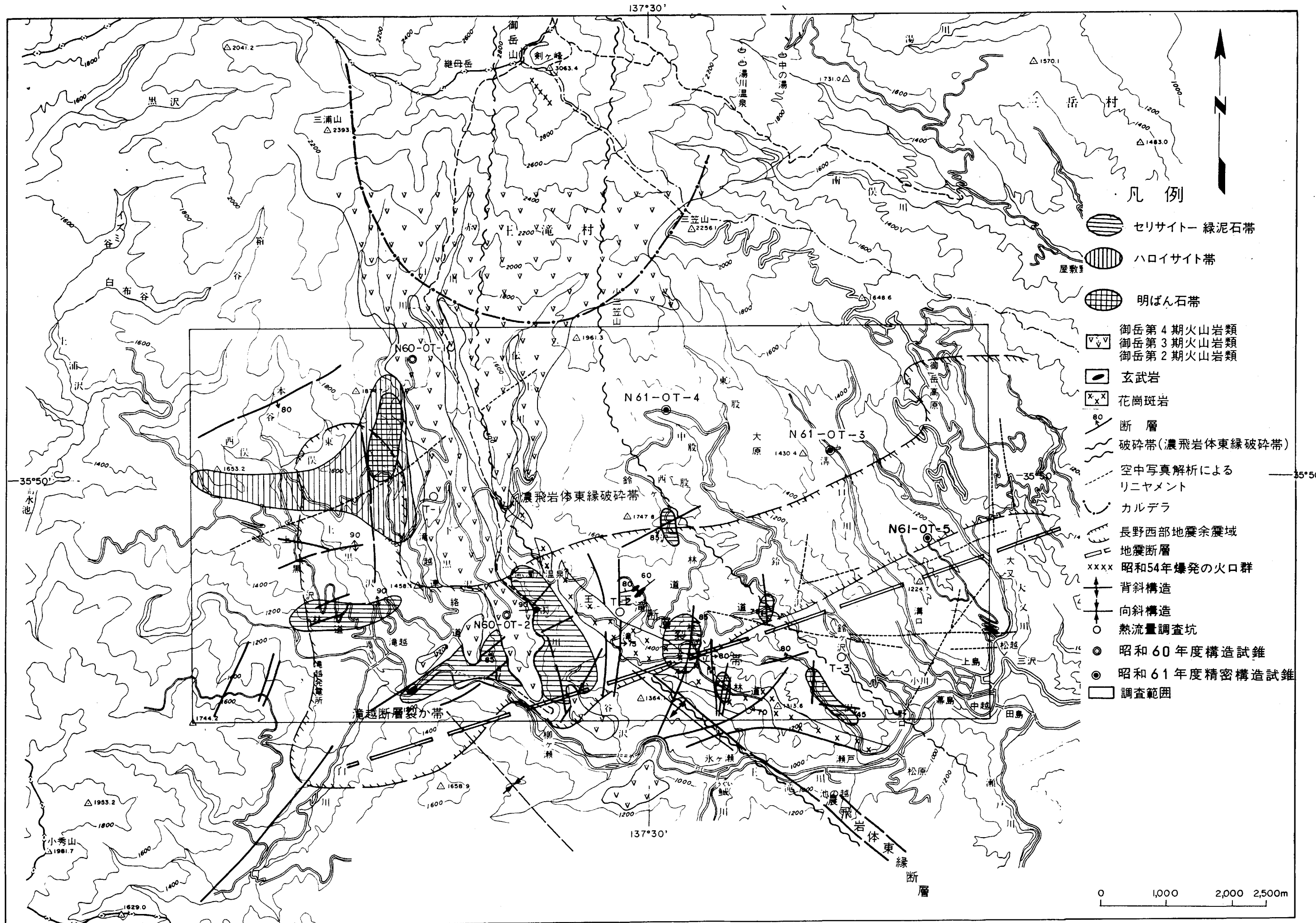
滝越北部にも NNW-SSE 方向に低比抵抗帯が点在し、濁川沿いの低比抵抗帯に平行した破碎帯が推定される。

濁川下流域から ENE 方向に伸びる低比抵抗帯があり、その延長上の溝口川上流域及び御岳高原にも低比抵抗帯がみられる。この方向は長野県西部地震の余震域の方向であり、余震域の北境界部を通過し、「たかの湯鉱泉」を通る。

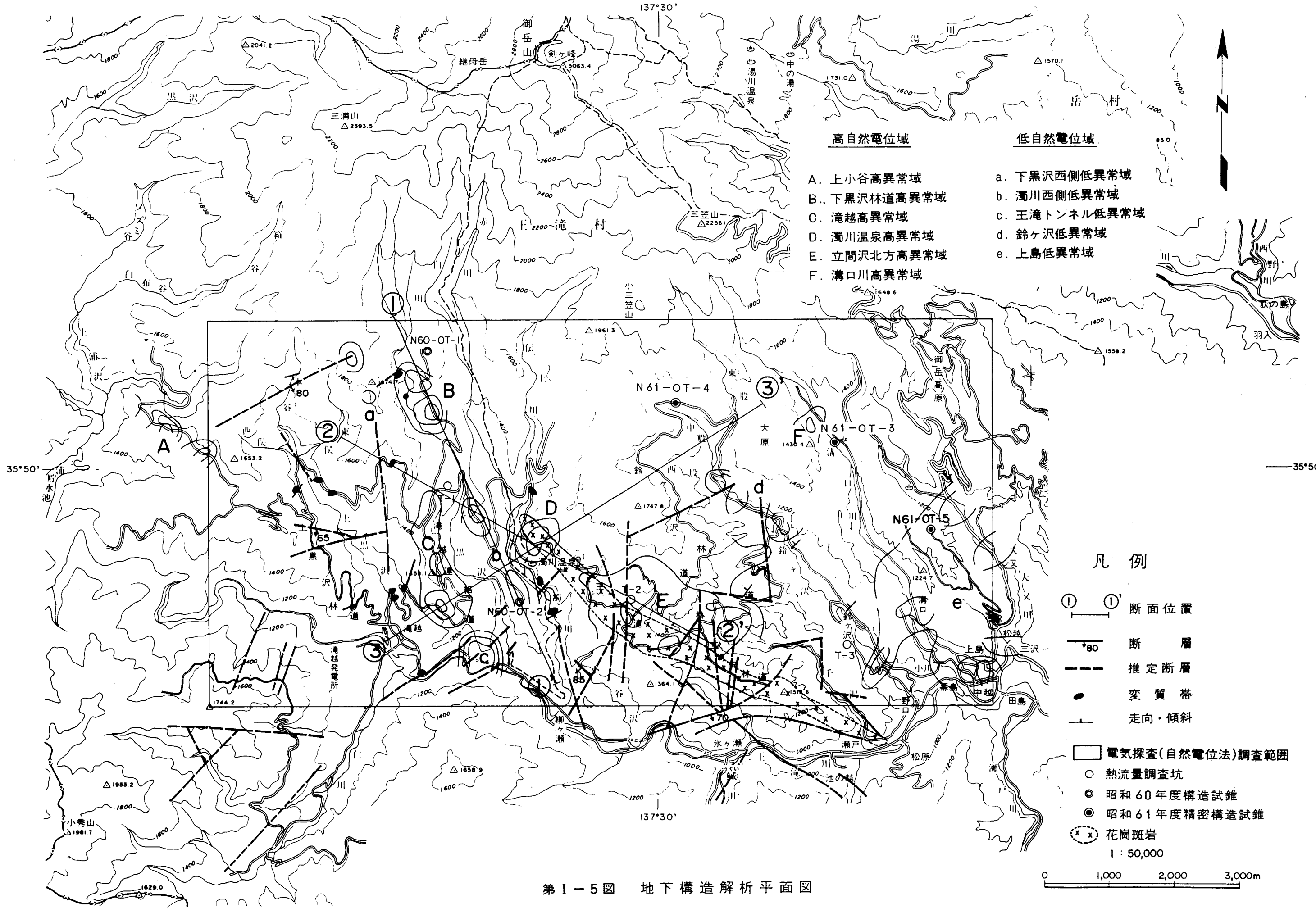
5. 熱流量調査

熱流量調査坑の位置を第 I - 2 図に、その調査結果を第 I - 6 表に示す。

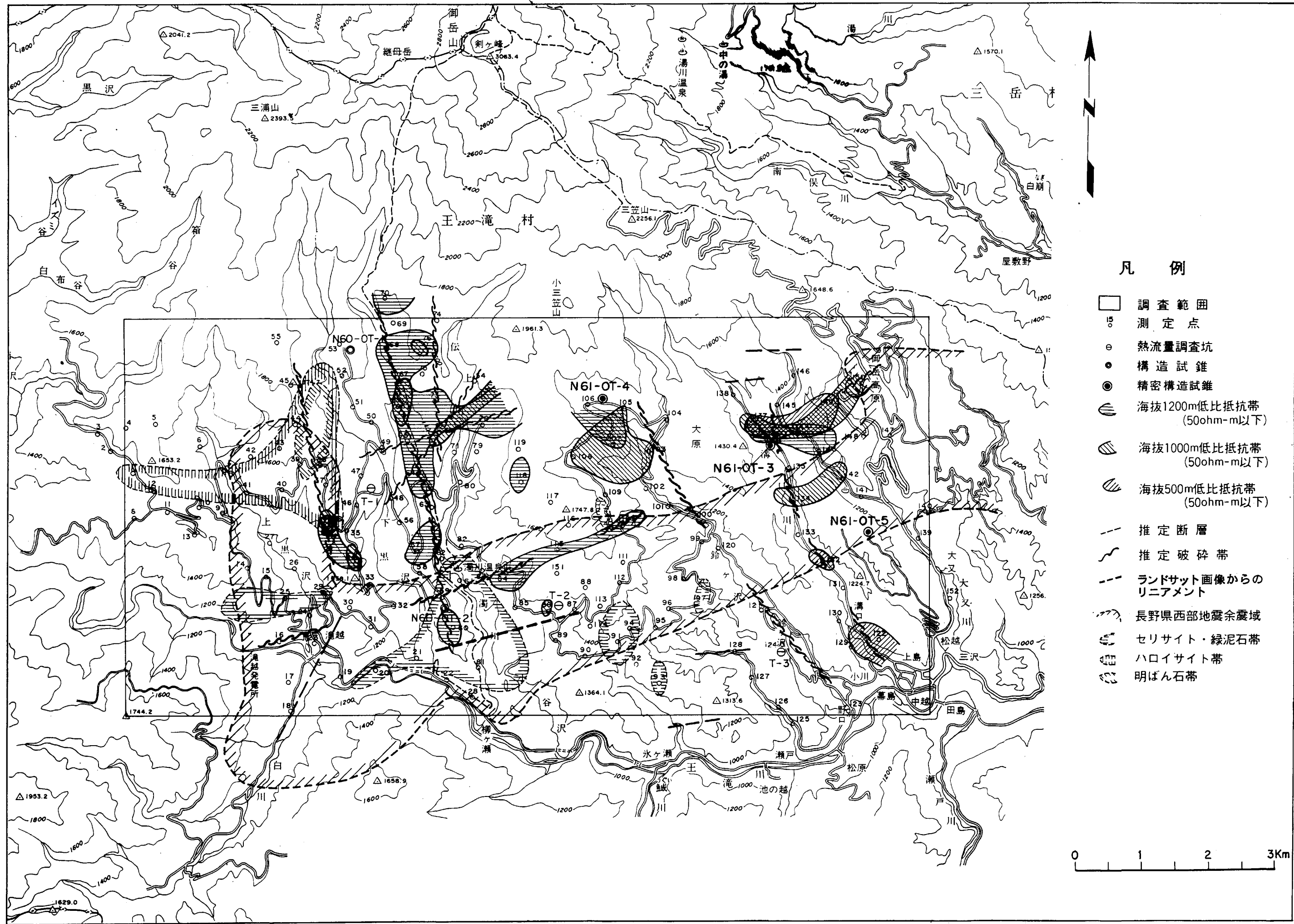
各 400m 深の 3 調査坑で示された最高温度は、T-1 坑底における 23.5°C であった。温度勾配は、T-2 と T-3 の両坑では坑底まで $0.2 \sim 0.3^\circ C / 10m$ のほぼ一定した値を示したのに対し、T-1 では 220m を境に $0.2^\circ C / 10m$ から $0.7^\circ C / 10m$ に急上昇している。T-1 の 220m 付近は御岳火山岩類と濃飛流紋岩類との境界に相当し、坑内水位も 224m であることから、多孔質な御岳火山岩類は基底面まで地表水の浸透域をなすものと解される。温度勾配が高くなる濃飛流紋岩類中にはスメクタイト、セリサイト、緑泥石等の変質鉱物が他坑に比



第 I-4 図 変質帯と地質構造の関係図



第I-5図 地下構造解析平面図



第I-6図 電磁探査(CSAMT法)総合解析図

第 I - 6 表 王滙地域熱流量調査結果一覽表

較して多く生成している。熱流量も T-1 が最も高く、290m 以深の安定した熱流量の平均値が 4.45HFU、また 220~250m では最大熱流量 9.2HFU となっており、T-1 付近により高い熱の流れが存在しているものと考えられる。

6. 微小地震観測

調査地域には微小地震が頻発しているが、震央分布及び深度とも長野県西部地震の余震域とほぼ合致しており、同地震の余震が依然継続中であることを示している。

第 I - 7 図に昭和 60 年に観測された微小地震の震源分布図を示す。

7. 電気探査（シュランベルジャー法）

当地域において電気探査（シュランベルジャー法）を実施した。解析図を第 I - 8 図に示す。

探査深度は、 $AB/2 = 1,000\text{m} \sim 2,000\text{m}$ で、A-Line32 点、B-Line22 点、C-Line22 点の合計 76 点である。

解析された比抵抗構造は、上部層（第 1 層）・中部層（第 2 層）・下部層（第 3 層及び第 4 層）に分けられ、上部層は、御岳第 1 期火山岩類と濃飛流紋岩類などに対比され、一般に高比抵抗である。

中部層は、濃飛流紋岩類と美濃帶の中・古生層（一部御岳第 1 期火山岩類）及びこれらに付随する断層・破碎帯・変質帯などから成り、低比抵抗を示す。

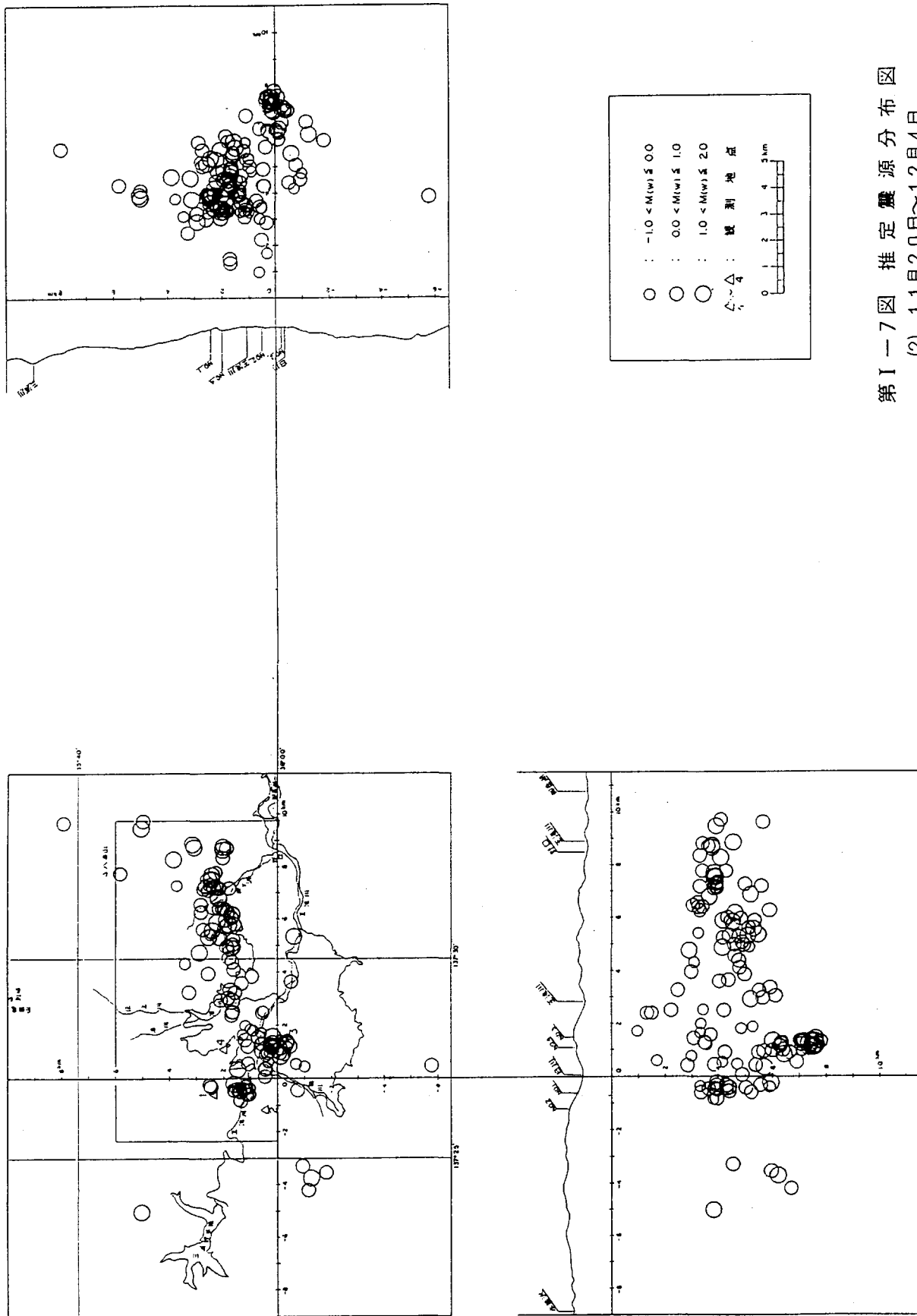
下部層は、貫入岩体・濃飛流紋岩類の新鮮部を主とする比抵抗基盤層で、一部断層・破碎帯・変質帯などによる劣化部が含まれるものと思われる。

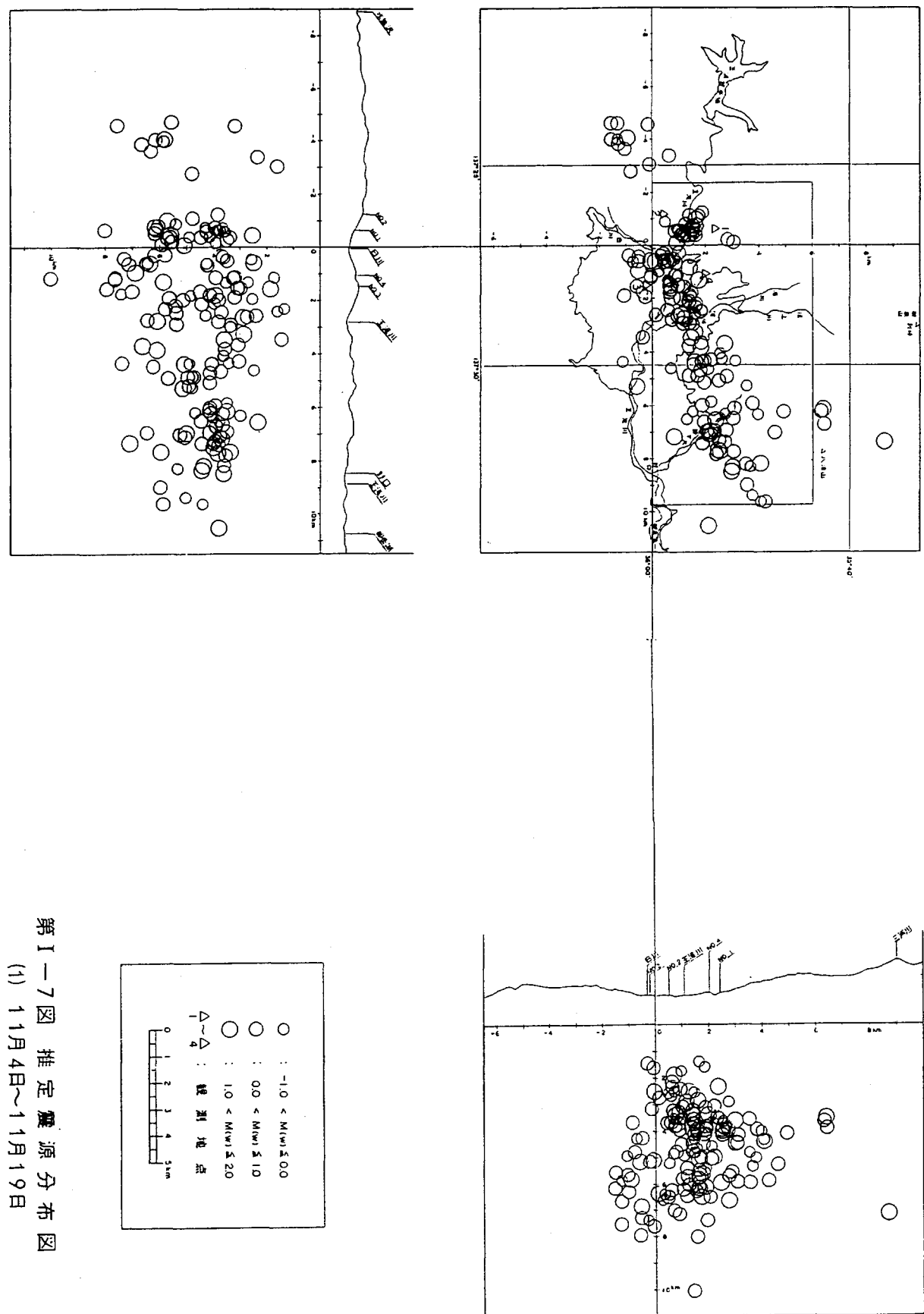
各比抵抗層は、地熱地域の一般的比抵抗値に比べるとかなり高い値である。

今回の探査で解析された唯一の低比抵抗層（ $30 \Omega \cdot \text{m}$ 以下）は、上部層の 1 部と中部層に存在し、この分布は、A-4~5・B-11~12・15・17・C-4 に断片的に見られる。分布深度は地表から 300m 以内であり、層厚も A-4 を除けば 100m 以下の薄層で小規模である。

高比抵抗基盤の分布と比抵抗不連続カ所の大部分は、濃飛岩体東縁断層、滝越断層裂か帶、王滝断層裂か帶、長野県西部地震余震域及び地震断層などと関係するものが多く、特に A-Line 潟川温泉跡地周辺域に密集する。また B-Line の上流域では、カルデラ壁と関係すると思われる比抵抗基盤の深まりも見られる。

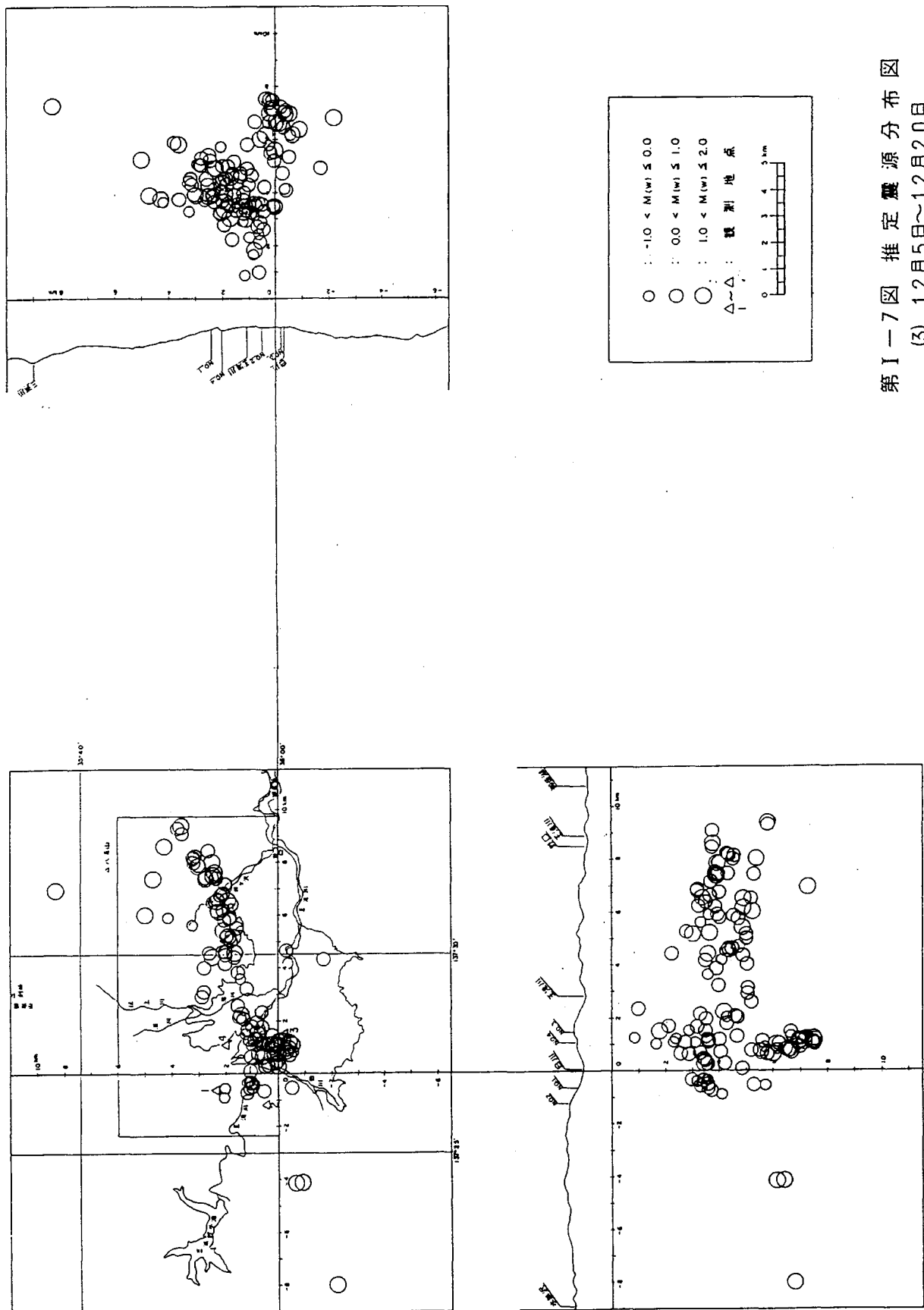
第I-7図 推定震源分布図
(2) 11月20日～12月4日

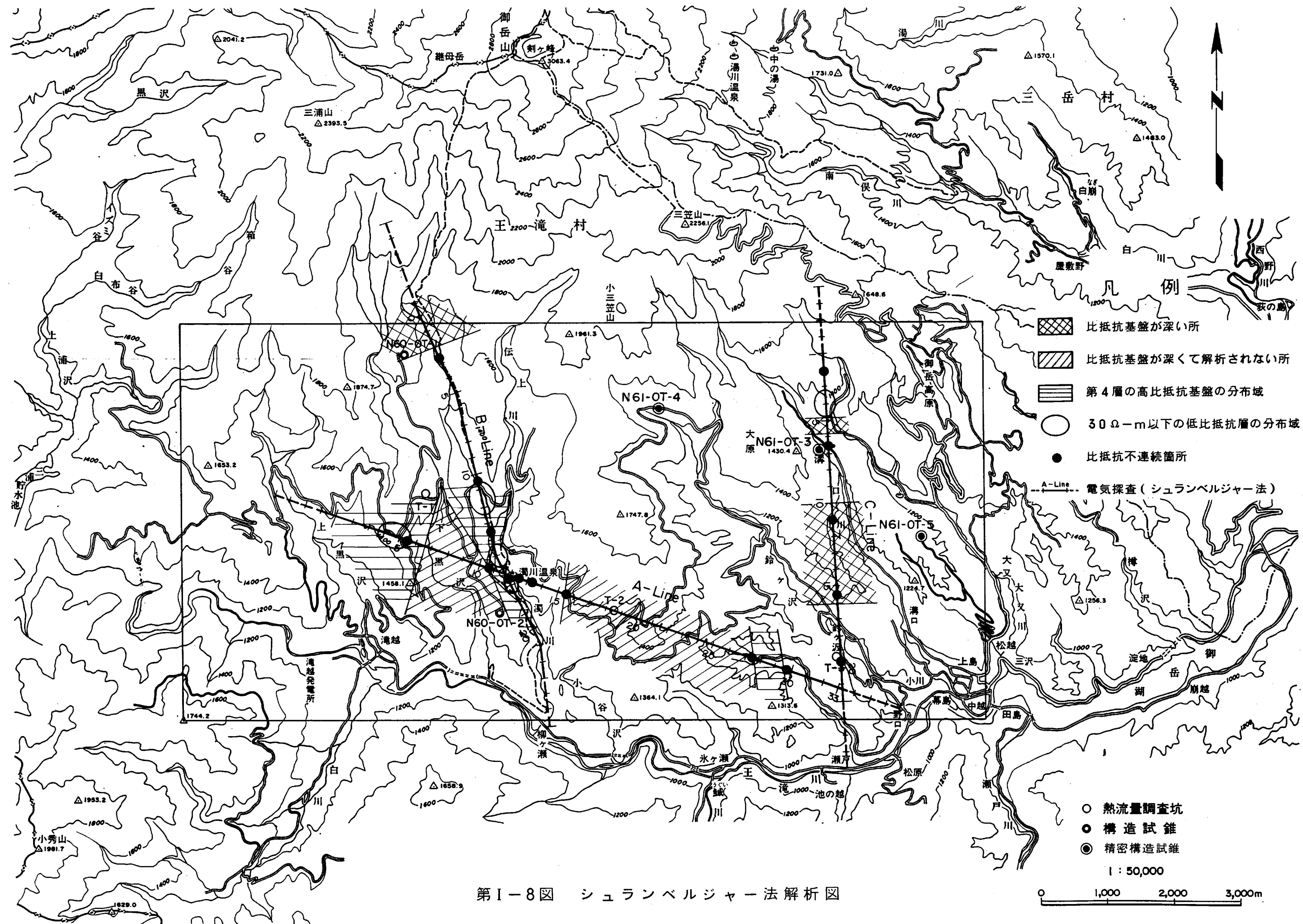




第I-7図 推定震源分布図
(1) 11月4日～11月19日

第 I-7 図 推定震源分布図
(3) 12月5日～12月20日





第I-8図 シュランベルジャー法解析図

II. 試 錐 掘 削 工 事

II. 試錐掘削工事 (61-OT-5)

1. 作業経過

掘削作業は掘削工事総括表(第II-1表),掘削工事実績図(第II-2図)及び掘削工事一覧表(第II-2表)に示すように、昭和62年6月8日に掘削を開始し、昭和62年8月1日に予定深度に達したので、深度502.00mで掘り止めた。

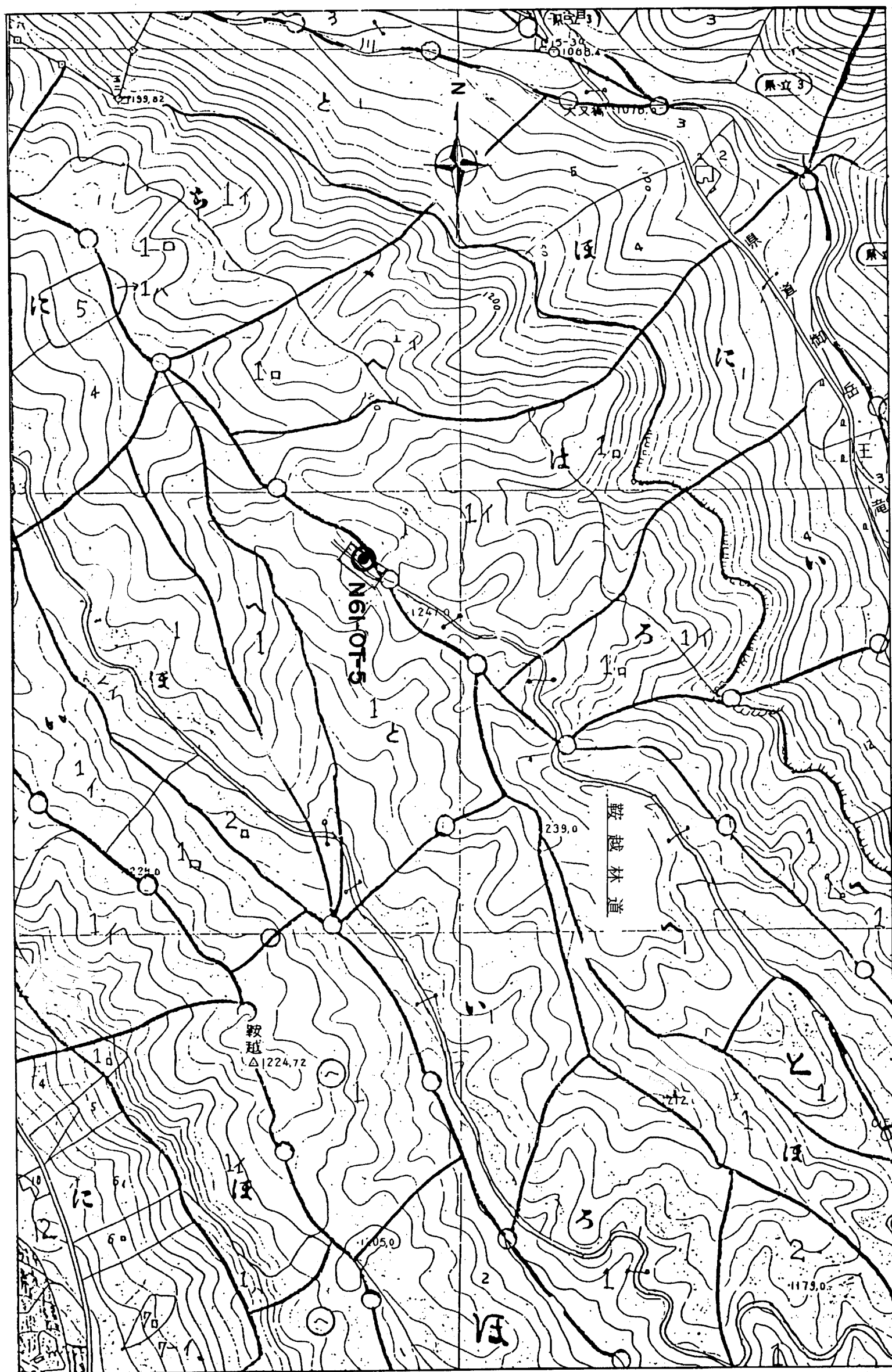
第II-1表 N61-OT-5 掘削工事総括表

掘削深度(m)				ケーシングパイプ挿入長(m)		
予定深度	500.00	ノンコアリング	0~30.00	6"	7.00	2"
増掘長	2.00	コアリング	30.00~502.00	4"	30.00	盲管 207.30
検尺深度	502.00	コア実収率	98.7%	3"	114.40	孔明管 202.20
作業区分	工事期間・日数				延工数 (工)	
	期間(年月日)	延日数(日)	実働日数(日)	休日待機(日)		
般入設営	S62. 3. 2~62. 6. 7	98	16	82	134	
掘削	S62. 6. 8~62. 8. 1	50	49	1	508	
付帯作業	S62. 6. 10~62. 8. 11	12	12	0	74	
徹収	S62. 8. 3~62. 8. 15	7	7	0	87	
計	S62. 3. 2~62. 8. 15	167	84	83	803	
作業区分	所要時間		ピット種類及び径	掘削及び掘削能率 (m) (m/h)		
	時間(h)	%		(m)	(m/h)	
掘削	776	56.9	トリコンピット	5 5/8"	30	0.833
付帯作業	132	9.7		HQ-WL	70	0.486
事故回復	456	33.4	ダイヤモンド ピット	HQ-WL	402	0.804
小計	1364	100		HQ-WL	105.7	1.100
経営	126	57.8		平均	607.70	0.783
徹収	92	42.2	HQ-WL 拡坑			
合計	218	100				

注意 付帯作業の内容：ケーシングパイプ挿入、温度回復試験、注水試験

第 II-1 図 N6I-OT-5 位置図

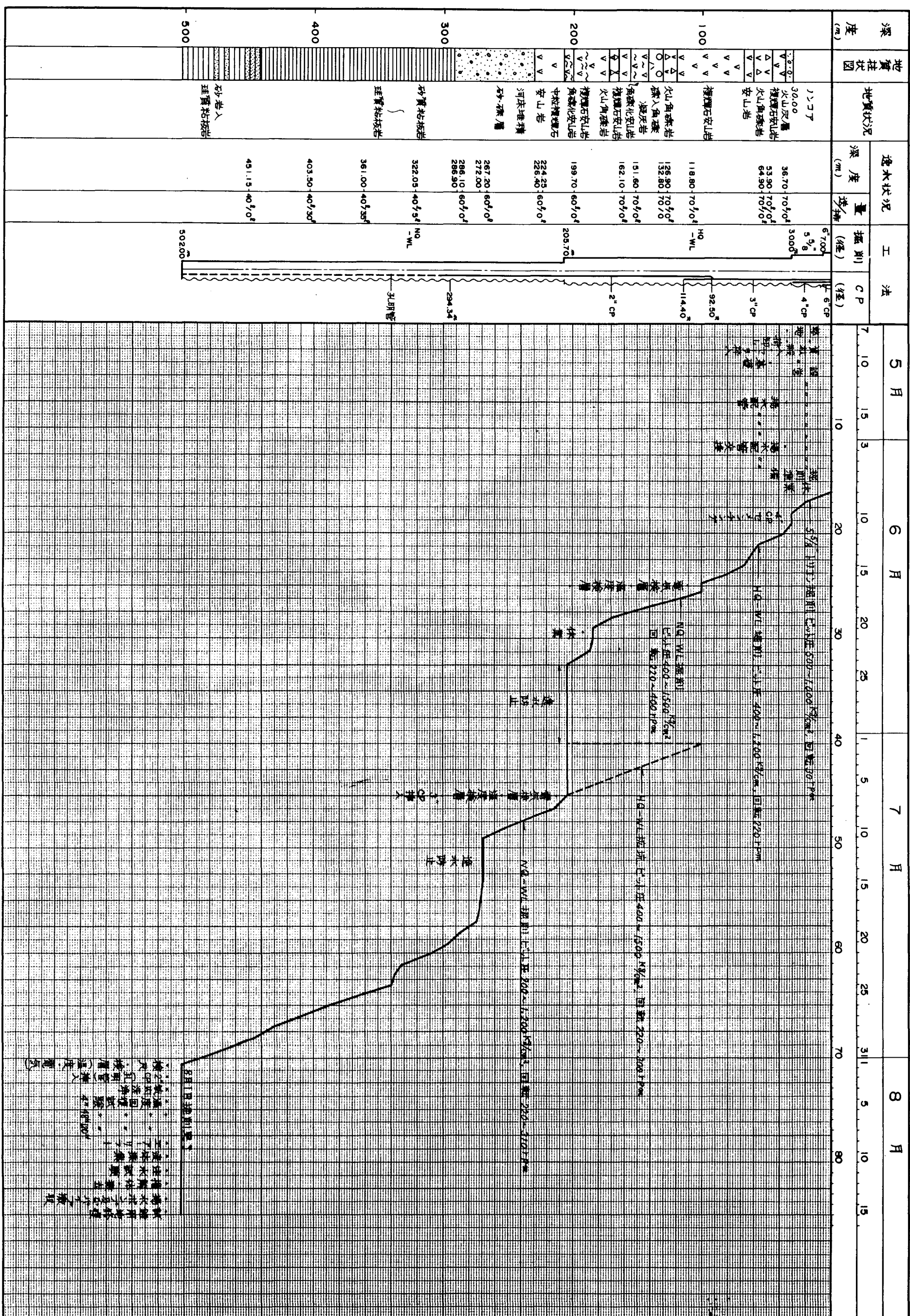
0 100 200 300m



第II-2表 N61-OT-5 掘削工事一覧表

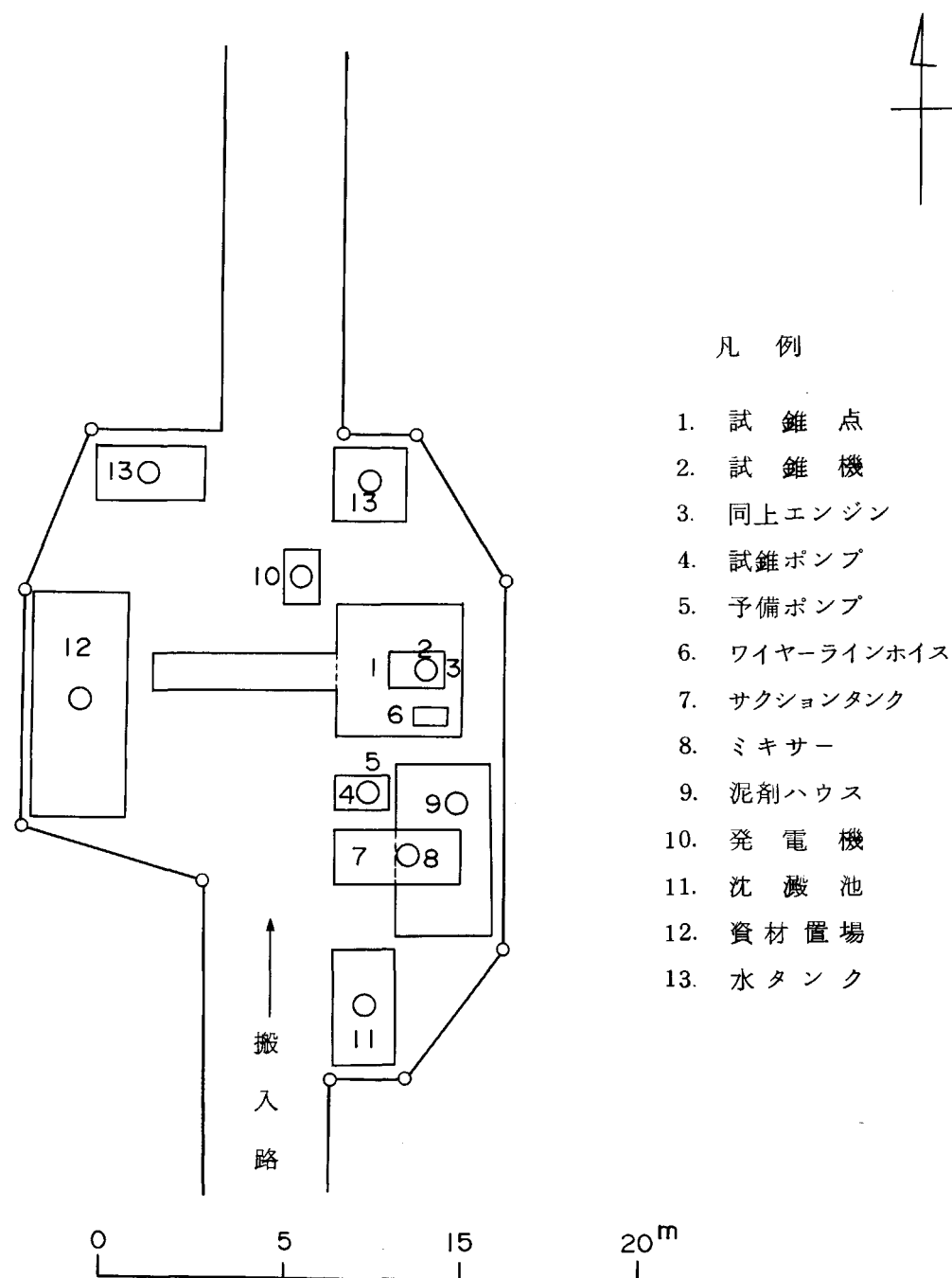
掘削工事機関							S 62.5.7~S 62.8.15			
工事機関内訳			実働日数		83日		休業日数		2日	
作業項目	延日数	延工数	62.3 10 20	4 10 20	5 10 20	6 10 20	7 10 20	8 10 20	9 10 20	
搬入・設営	16	134	■ 2		■ 7 17	■ 3 6				
6 コンポジットビット (0m~7.00m)	0.5	5				■ 8				
6" ケーシングパイプ挿入	0.5	5				■ 8				
5 ^{5/8} トリコンビット (7.00m~30.00m)	1	10				■ 9				
4" ケーシングパイプ挿入 及びセメンチング	1	7				■ 10				
HQ-WL工法コアリング (30.00m~100.00m)	6	60				■ 11 16				
3" ケーシングパイプ挿入 (0m~100.00m)	0.3	3				■ 17				
NQ-WL掘削 (100.00m~203.50m)	5.5	55				■ 17 23				
HQ-WL工法 拡坑 (100.00m~203.50m)	3.5	37					■ 2~5			
HQ-WL工法 (203.50m~205.70m)	0.5	3					■ 5			
3" ケーシングパイプ挿入 (0m~205.70m)	0.4	4					■ 6			
NQ-WL掘削 (205.70m~502.00m)	15.4	153					■ 6 9 19			
2" ケーシングパイプ挿入 (92.50m~502.00m)	1	10						■ 2		
調査及び測定	4.5	45						■ 2 10		
事故回復作業	18.4	185					■ 24 11 10 18			
解体・撤収	9.5	87						■ 5 7 8 12 15 15		
計	84	803			■ 7 17	■ 3				

第Ⅱ-2図 N61-0T-5 掘削工事実績図



2. 現場施設

現場施設配置図を第 II - 3 図に、主要機器設備一覧表は第 II - 3 表に示した。



第 II - 3 図 N61-OT-5 現場設備配置図

第II-3表 N61-OT-5 主要機器設備一覧表

品 名	型 式	仕 様	数 量
試 錐 機	T B M - 7 0 利根ボーリング	調査井 N Q - W L 800m 最大巻上能力 4000kg	1 台
同上原動機	F 4 L - 912 三井 ドイツ	638PS	1 台
主試錐ポンプ	M G - 15 鉱研 試錐	67 ~ 210 ℥, 複動式	1 台
同上エンジン	N S - 180 C ヤンマー	18PS	1 台
副試錐ポンプ	M G - 10 鉱研 試錐	50 ~ 120 ℥	1 台
同上エンジン	N S A 110 C ヤンマー	10PS	1 台
揚水ポンプ	M G - 15 鉱研 試錐	67 ~ 210 ℥	1 台
同上エンジン	N S - 180 C ヤンマー	18PS	1 台
マッドミキサー	M C E - 200 利根 製	200 ℥	1 台
同上エンジン	N S A - 40 C ヤンマー	4.5PS	1 台
W L ホイスト	W H E 1200 利根 製		1 台
同上エンジン	N S - 75 C ヤンマー	7.5PS	1 台
試錐櫓	12-D R 自社 製	125 t	1 基
油圧ホルダー	N L C 製	H Q, N Q, B Q.	1 台
スタッフィング ボックス	自社 製	耐圧 40kg/cm ²	1 台
貯泥タンク	自社 製	5K ℥	2 槽
貯水タンク	自社 製	5K ℥	1 槽
シェーカー タンク	自社 製	3K ℥	1 槽
発電機	北越 製	65.5kVA	1 台
ドリルロッド	L H S N L C 製	27/8" × 35m	15 本
W L ロッド	利根ボーリング	H Q - W L × 3 m	80 本
"	"	N Q - W L × 3 m	80 本
"	N L C	B Q - W L × 3 m	80 本
洗浄用パイプ		3/4" × 5.5m	100 本

3. 堀削作業状況

(i) 堀削工事

堀削作業状況を一覧表として第II-5表に示す。

(1) 0~30m

この区間は、軟弱な火山碎屑岩である為コンポジットビットにて、6インチケーシングパイプを7mまで挿入し、5・5／8インチトリコンビットでベントナイトの濃泥水を使用して30m掘削し、4インチケーシングパイプを挿入後一栓式方式でフルホールセメントチングを施し、坑口よりセメントミルクが溢流するのを確認した。坑内セメント硬化後セメント浚渫を行い、その後管内圧力10kg/cm²、30分間保持する事を確認した。

(2) 30~100m

この区間はHQ-WL工法でコアリング掘削を行い、電気検層、温度検層を実施したその後3インチケーシングパイプ(STPG SCH-40)を0~100m間挿入した。

岩質は複輝石安山岩、火山安山岩、凝灰角礫岩、安山岩、等である。掘削泥水はBX泥水を使用し、軟弱な地層にはポリーマー泥水を主として使用した。

36.70mより数回の逸水が続きその都度LCMマット及びセメントにて、逸水防止をおこない100mまで掘削した。

(3) 100~502.00m

この区間はNQ-WL工法でコアリング掘削を行い、電気検層、温度検層を実施した。その後2インチケーシングパイプ(STPG SCH-40)メクラパイプを92.50m~294.34m、孔明管を249.34m~496.54m、メクラパイプを496.54m~502.00m間に布設した。

この区間の岩質は、角礫化複輝石安山岩、角礫化安山岩、礫混じり軽石凝灰岩、粒状火山礫岩、細粒複輝石安山岩、河床堆積(砂、礫)等で地層が軟弱且つ逸水層が多く、その都度LCMマッド、テムブロック、フローチェック逸水対策工法により逸水防止を実施しながら掘削した。202.30mまで掘削が進んだ時全量逸水の為に、バイブレーションが起き上層部の逸水ヶ所を再度破壊し、逸水防止に可成りの時間を費やした。新エネルギー総合開発機構の承諾を得て、100.00mより、HQ-WL工法に切替え205.70mまで仮ケーシングを布設した。河床堆積(砂、礫)の地層でも可成りの逸水防止作業を施したが、粘板岩の地層に変り、逸水量も少くなり若干の排水が有った為、良質の泥水を使用して掘削を行い、昭和62年8月1日に予定深度502.00mに達したので掘止め、新エネルギー総合開発機構王滝所長立会いで検尺を行った。

(ii) 坑内泥水

(1) 調泥

第II-4表 N61-OT-5 泥剤配合比表

泥水 深度m	種類	泥剤配合比				記録		
		ペントナイト %	B X %	CMC %	T K 60.8%	比重	粘速	p H
0~30	ペントナイト	10		0.05		1.08	41	10
30~100	"	6		0.02		1.02	38	9~10
"	ポリマー	3			0.15	1.01	38	10
100~203.50	"	"			"	"	"	"
"	B X	5	3	0.02				
同上拡坑	"	7	3	0.02		1.03	40	10
203.50~502.00	"	5	3	0.02		1.02	35~25	"

(2) 泥水温度

送排泥水温度は、掘削10mごとに測定した。

深度190m~260m間は、全量逸水の為、測定不能となった。これらの記録を第II-6表及び第II-4図に示す。

(iii) 坑底温度

掘削作業中は留点温度計（正2本、逆1本）を使用し、深度30mごとに循環ポンプ停止30分後の坑底温度を測定した。結果を第II-7表、第II-4図に示す。

(iv) 逸水状況とその対策

第II-8表の通りである。

(v) ケーシングパイプ挿入実績図

ケーシングパイプ挿入実績図を第II-5図に、使用ケーシングパイプ一覧表を第II-9表に、孔明管加工図を第II-6図に示す。

(vi) セメンチング状況

第II-10表のとおりである。

(vii) 掘進能率及びコア実収率

第II-11表と第II-7図に示す。

4. 主要消耗品

(1) 使用ビット実績

第II-12表に示す。

(2) 主要消耗品使用実績

第II-13表に示す。

(3) 泥剤及び逸水防止剤使用実績

第II-14表に示す。

5. 復旧作業

昭和62年8月3日から8月15日までの間、揚水パイプ、櫓及び機械類の解体、搬出を行い、現場の廃泥を凝固し、村役場指定の場所へ運搬埋没を行った。

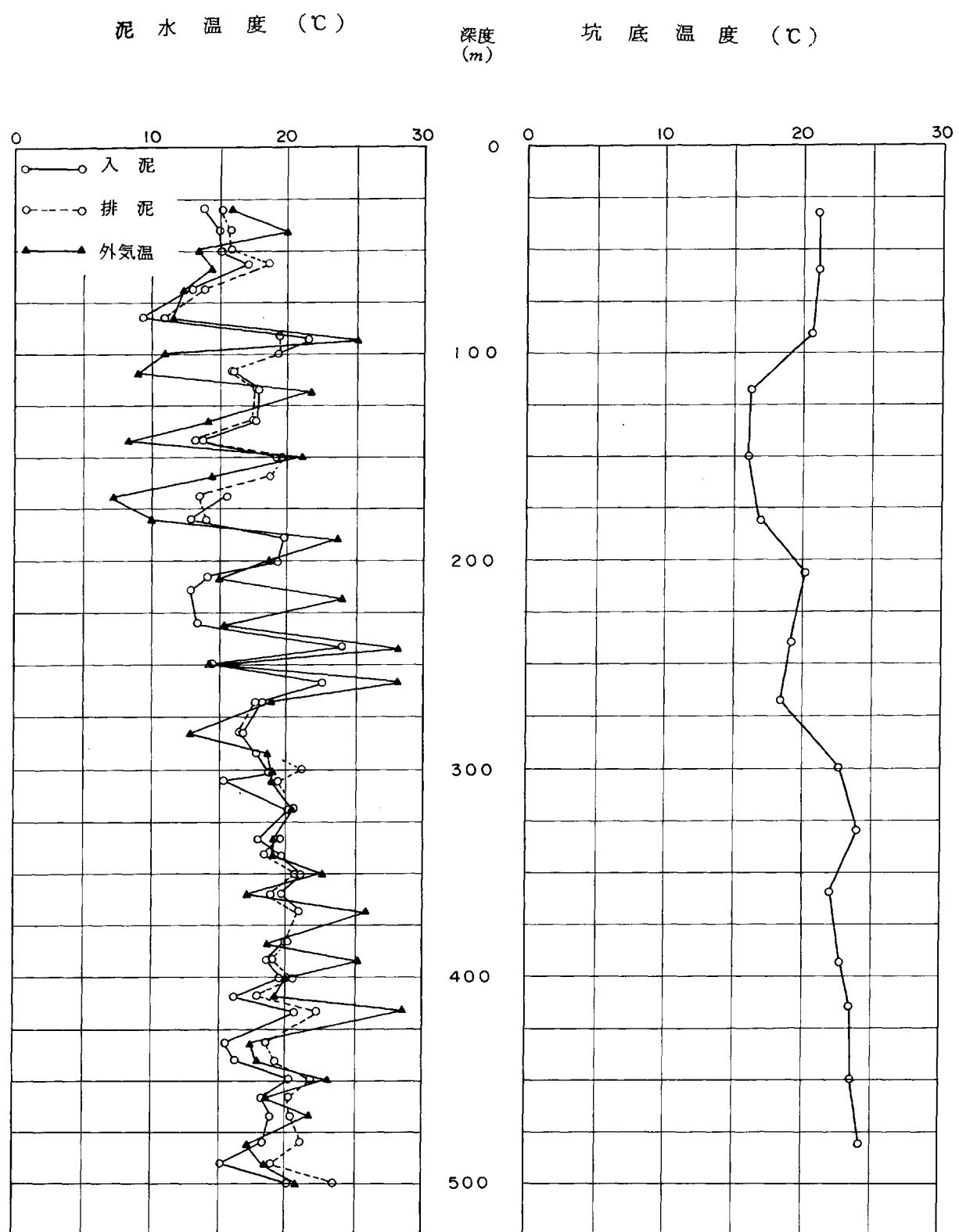
村役場企画室長指示のもとで用地の修復を行い、新エネルギー総合開発機構王滝調査事務所長の承認を得て、昭和62年8月15日全作業を終了した。

第II-5表 N61-OT-5 挖削作業状況一覧表

深 度 (m)	坑 径 (m/m)	ビ ッ ト				泥 水 送/排		循 環 泥 水	逸 水 状 況	ケ ー シ ン グ		岩 質	掘 削 作 業 状 況
		種 類	サ イ ズ	給 圧 (kg/cm ²)	回 転 数 (rpm)	温 度 (°C)	量 (ℓ/min)			サ イ ズ	挿 入 深 度 (m)		
0 ~ 30.00	142.9	トリコン ビット	5・8"	300 ~ 2,000	50	15/15	120/120	ベントナイト		4"	30.00	スコリア, ラビ リ入火山灰層, - 複輝石安山岩	ノンコアリング 掘削能率 0.90m/h ケーシングセメンチング実施
30.00 ~ 100.00	101.00	ダイヤモンド ビット	H Q	400 ~ 1,000	220	13/14.5 ↓ 21.8/19.3	70/70 ↓ 70/0	ベントナイト 及び ポリマー	36.70 70/0 38.20 70/0 53.90 70ℓ/0 64.90 70/0	3"	100.00	火山角礫岩 凝灰角礫岩 安山岩 複輝石安山岩	コアリング コア採取率 98.1% 掘削能率 0.94m/h LCM 及びセメンチング 逸水防止
100 ~ 203.50	76.00	ダイヤモンド	N Q	400 ~ 1,500	220 ~ 400	12.8/13.9 ↓ 19.7/19.1	70/70 ↓ 70/0	ベントナイト 及び ポリマー	118.90m 70/0 126.90 70/0 132.80 70/0 151.60 70/0 162.10 70/0 199.70 60/0	2"	502.00	複輝石安山岩 凝灰角礫岩 角礫化安山岩 火山角礫岩 河床堆積砂礫層	コアリング コア採取率 99.2% 掘削能率 1.14m/h LCM, Temblock 及び セメンチング逸水防止
100 ~ 203.5 (拡掘)	110	ダイヤモンド	H Q	800 ~ 1,500	220 ~ 300		70/70	ベントナイト	224.25 60/0 226.40 60/0 267.20 60/0 272.00 60/0 286.10 60/0			砂質粘板岩 珪質粘板岩 シルト岩 チャート 粘板岩	拡掘 掘削能率 1.4m/h
203.5 ~ 205.70	110	ダイヤモンド	H Q	800	220	19/-	70/0	"	286.90 60/0 322.05 40/0 361.00 40/35 403.50 40/30 451.15 40/0			コアリング コア採取率 100.0 % 掘削能率 0.55m/h	
205.70 ~ 502.00	76	ダイヤモンド	N Q	300 ~ 1,200	220 ~ 310	12.3/- ↓ 20.6/22	60/60 ↓ 60/0 40/40 ↓ 40/0	B X				コアリング コア採取率 98.2% 掘削能率 0.91m/h Temblock, Flo-check セメンチング及び 水ガラス逸水防止	

第II-6表 N61-OT-5 掘削中の入排泥量、泥水温度及び外気温一覧表

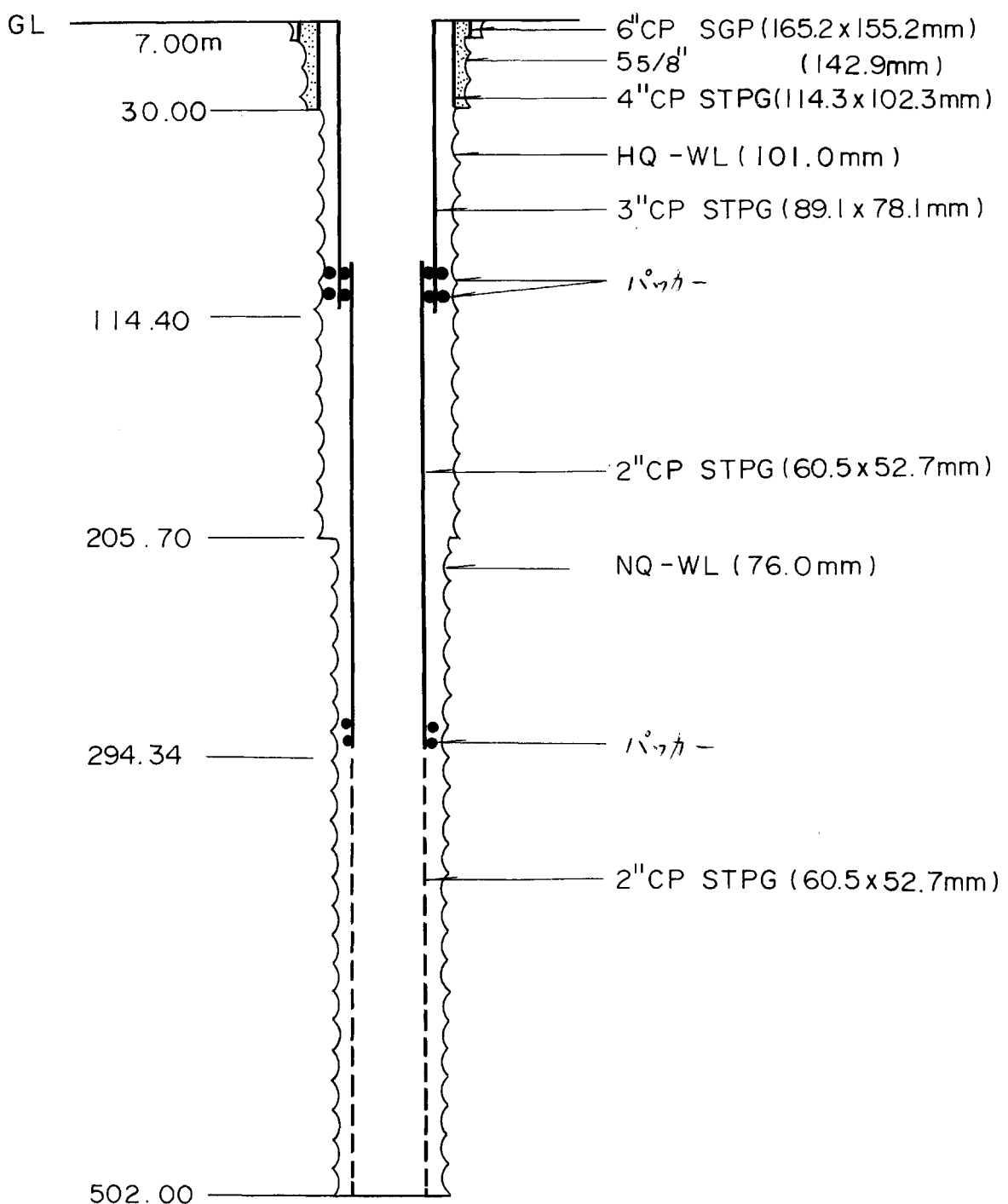
深 度 (m)	入 排 泥 量		外 気 温 度 (°C)	泥 水 温 度	
	入 泥 (ℓ/min)	排 泥 (ℓ/min)		入 泥 (°C)	排 泥 (°C)
30	70	70	16	14	15
40	70	30	20	15	16
50	70	50	13	15	16
60	70	10	14	17	18
70	70	70	12.5	13	14.5
80	70	20	12	9.5	11.5
90	70	20	25	21.8	19.3
100	70	20	11.5	18.5	18.4
110	70	70	9	15.8	15.9
120	70	30	22	17.7	17.6
130	70	40	14	17.5	17.4
140	70	30	8	13.3	14.7
150	70	60	21	19.7	19.1
160	70	30	14.5	18.3	18.3
170	70	30	7.5	15.5	13.3
180	70	30	10	12.8	13.9
190	60	0	24	19.8	—
200	70	0	18.5	19.0	—
210	60	0	15	14.2	—
220	60	0	24	12.8	—
230	60	0	15.5	12.3	—
240	60	0	27	23.9	—
250	60	0	14.4	14.6	—
260	60	0	27	22.3	—
270	60	5	19	18	17.3
280	60	60	13.5	16.4	16.3
290	60	0	17.9	16.3	—
300	40	5	18.5	18.2	21
310	40	5	18.5	15.5	19.5
320	40	5	20.5	20.2	20.2
330	40	5	19	17.3	19.3
340	40	40	19	19.8	18
350	40	40	23	21.7	20.9
360	40	35	17.5	19.9	19.2
370	40	35	26	21	21.1
380	40	35	18	20	20.1
390	40	35	25.3	18.3	18.7
400	40	30	20	19.7	20.7
410	40	30	19	16.4	17.7
420	40	30	28.5	20.7	22
430	40	30	17.5	15.6	18.2
440	40	15	18.0	16.5	19.1
450	40	15	23.0	20.6	22
460	40	5	18.5	18.1	20.5
470	40	10	21.6	19.1	20.5
480	40	10	17.5	18.1	21.1
490	40	10	18.5	15.1	19.0
500	40	20	20.5	20.2	23.1



第II-4図 N61-OT-5 挖削中の泥水温度及び坑底温度図

第II-7表 N61-OT-5 坑底温度一覧表

測定年月日	深 度 (m)	坑 底 温 度 (°C)				水 位 (m)
		正	正	逆	平 均	
62. 6.11	30	21	21	22	21.3	0
62. 6.13	60	21	21.5	22	21.5	49
62. 6.16	90	20	21	21	20.6	47
62. 6.18	120	16	17	17	16.7	5
62. 6.19	150	16	17	16	16.3	30
62. 6.23	180	16.5	17	17.5	17	99.5
62. 7. 7	210	20	20.5	20	20.2	160
62. 7. 8	240	19	19	20	19.3	130
62. 7.19	270	18	18	19	18.3	100
62. 7.21	300	22	23	23	22.7	30
62. 7.23	330	24	24.5	25	24.5	30
62. 7.25	360	22	21	23	22	0
62. 7.27	390	22	23	23	22.7	6
62. 7.28	420	23	23	24	23.3	25
62. 7.30	450	23	23	24	23.3	100
62. 7.31	480	24	24	25	24.3	100



第II-5図 N61-OT-5 ケーシングパイプ挿入実績図

第II-8表(1) N61-OT-5 逸水状況及び対策

逸水角度 (m)	水位 (m)	地質	逸水状況 送/排 (ℓ/min)	逸水防止対策
36.70	36.00	複輝石安山岩	70/0	L CM排水
38.20	36.00	複輝石安山岩	70/0	ペントナイト
44.60	44.00	角礫安山岩	70/0	シークレ
				テルストップ (P)
				テルストップ (G)
				CMC
53.90	49.00	複輝石安山岩	70/0	L CMマッド圧入及び
61.10	49.00	"	"	セメンチング
64.90	57.50	"		(水+水ガラス+水+セメント)
				セメンチング
				(塩カル+セメント)
				逸水掘り
118.90	10.00	"	70/0	"
126.90	5.00	火山角礫岩	"	"
132.80	5.00	"	"	"
151.60	5.00	角礫化安山岩	"	"
162.10	5.00	複輝石安山岩	"	"
184.00	99.50	複輝石安山岩	70/0	L CM [ペントナイト テルストップ CMC]
199.70	170.00	複輝石安山岩	70/0	L CM [ペントナイト テルストップ シークレ テルマイカ 軽油] L CM (配合比を変更し 数回試みる) Temblock 1,000 ℥ 圧入 (坑内洗浄中逸水) セメンチング 効果あり、他の部分にて破れる。 坑内をTemblockにて充填しHQ-WLにて拡坑 3" ケーシング挿入する(205.70m)
224.25	160 ↓ 170	河床堆積砂・礫層	60/0	逸水掘り "
270.20	130	"	"	Temblock 1,500 ℥ 圧入 Flo-chek 250 ℥ 圧入 " 300 ℥ 圧入 " 200 ℥ 圧入 Temblock 500 ℥ 圧入 油ペントナイト圧入

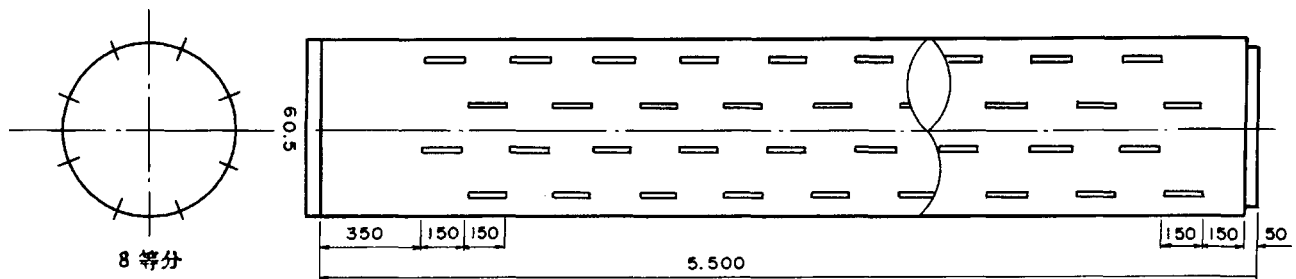
第II-8表(2) N61-OT-5 逸水状況及び対策

逸水角度 (m)	水位 (m)	地質	逸水状況 送/排 (ℓ/min)	逸水防止対策
272.00	170	河床堆積砂・礫層	60/0	Temblock充填 セメンチング効果あり
286.10	80	"	60/0	Flo-chek圧入 セメンチング効果あり
286.90	100	"	60/0	逸水掘り セメンチング (水+水ガラス+水+ セメントミルク) 効果あり
322.05	10	砂質粘板岩	40/5	
"	30	珪質粘板岩		坑底付近をTemblockにて 充填252.50m附近をセメ ンチング (水+水ガラス+水+ セメントミルク)
361.00	6	"	40/35	逸水掘り
403.50	25	珪質粘板岩	40/30	"
451.15	100	中粒珪質砂岩	40/0	"

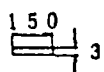
第II-9表 N61-OT-5 使用ケーシングパイプ一覧表

名 称	外径×内径 (mm)	挿入深度 (m)	単位長 (m)	数 量 (本)	接 続 法
6" SGP	165.2×155.2	0~7.00	5.4 1.6	1 1	溶接点着
4" STPG 38Sch40	114.3×102.3	0~30.00	5.45 5.45 5.45 5.45 5.45 2.75	1 1 1 1 1	ケーシングネジ 溶接点着
3" STPG 38Sch40	89.1×78.1	0~100.00	5.45 1.90	18 1	ケーシングネジ
2" STPG 38Sch40	60.5×52.9	92.50~502.00	5.46 .65 5.46 5.46	18 1 37 1	ケーシングネジ

2" STPG 38 Sch 40



スリット大きさ



開孔率計算式

パイプ仕様 2" STPG (O.D 60.5×I.D 52.7)

$$P = \frac{a \cdot N}{\pi \cdot D \cdot L} \times 100$$

スリット個数 33段 4列 132個

スリット面積 $150 \times 3 = 450 \text{ mm}^2$

$$= \frac{450 \times 132}{\pi \times 60.5 \times 5450} \times 100$$

管表面積 $\pi \times 60.5 \times 5450 = 1,035,861.6 \text{ mm}^2$

$$= 5.73\%$$

開孔率 5.73%

P : 開孔率
N : スリット個数
D : パイプ直径
L : パイプ長
a : スリット面積

第II-6図 N61-OT-5 2" (60.5m/m) 孔明管加工図

第II-10表(1) N61-OT-5 セメンチング状況一覧表
パイプセメンチング

ケーシング段数	第1段
公称径 × 深度	4" STPG×30.00m
坑壁間容量	193ℓ
圧入ミルク量	260ℓ
使用セメント量	400kg (普通)
比重	1.82
硬化待時間	24h
圧入ポンプ	MG-10
圧入方式	1栓式

逸水防止セメンチング

坑底深度	注入量	方法	硬化頭部	備考
53.90m	ミルク量 1,043ℓ (比重 1.7)			
61.10	セメント 1,080kg (27 ^{ss})	圧入注入		
64.90	水ガラス 230ℓ			
162.10	ミルク量 200ℓ (比重 1.7) セメント 200kg (5 ^{ss})	BQロッド 注入後圧入	153.00	
226.00	ミルク量 200ℓ (比重 1.7) セメント 200kg (5 ^{ss}) 水ガラス 20ℓ	圧入注入		

第II-10表(2) N61-OT-5 セメンチング状況一覧表

逸水防止セメンチング

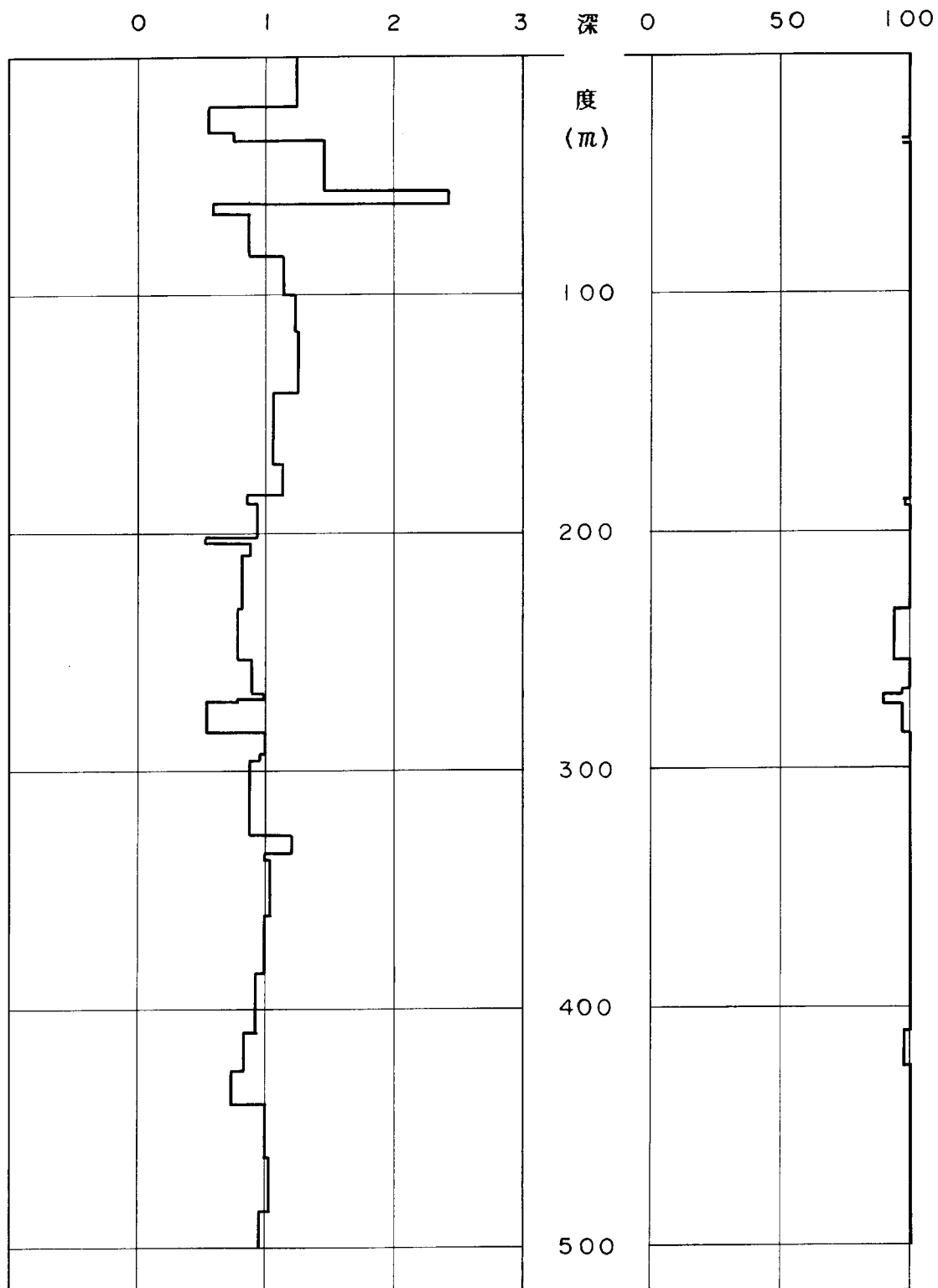
坑底深度	注入量	方法	硬化頭部	備考
270.90	セメントミルク 240ℓ (比重1.69) セメント 240kg (6°*) 水ガラス 100ℓ セメントミルク 480ℓ (比重1.67) セメント 480kg 水ガラス 200ℓ	圧入注入 注入後圧入	260.20	効果あり
274.35	セメントミルク 240ℓ (比重1.69) セメント 240kg (6°*) 水ガラス 100ℓ	注入後圧入	270.50	効果あり
286.90	セメントミルク 560ℓ (比重1.69) セメント 560kg (14°*) 水ガラス 100ℓ	注入後 後押圧入	279.30	効果あり
340.5 (1回)	セメントミルク 280ℓ (比重 1.7) セメント 280kg (7°*) 水ガラス 50ℓ	注入後 後押圧入		
340.5 (2回)	セメントミルク 480ℓ (比重 1.8) セメント 480kg (12°*) 水ガラス 200ℓ		325.40	効果あり

第II-11表 N61-OT-5 挖削能率及びコア実収率一覧表

深度区分 (m)	区間長 (m)	実掘進時間 (h)	掘削能率 (m/h)	コア長 (m)	コア実収率 (%)
0.00~20.00	20.00	16.00	1.25	—	—
20.00~30.00	10.00	17.00	0.59	—	—
30.00~36.70	6.70	9.00	0.75	6.70	100
36.70~55.00	18.30	12.40	1.48	17.00	93
55.00~62.40	7.40	3.00	2.48	7.40	100
62.40~65.50	3.10	5.00	0.62	3.10	100
65.50~83.60	18.10	21.00	0.86	18.10	100
83.60~100.00	16.40	14.00	1.17	16.40	100
100.00~114.80	14.80	12.00	1.23	14.80	100
114.80~143.70	28.90	23.00	1.26	28.90	100
143.70~170.40	26.70	24.00	1.11	26.70	100
170.40~184.20	13.80	12.00	1.15	13.80	100
184.20~186.20	2.00	2.25	0.89	2.00	100
186.20~203.50	17.30	17.50	0.99	16.50	95
203.50~205.70	2.20	4.00	0.55	2.20	100
205.70~213.00	7.30	8.00	0.91	7.30	100
213.00~234.30	21.30	24.00	0.89	21.30	100
234.00~254.80	20.50	24.00	0.85	17.70	86
254.80~269.95	15.15	19.00	0.80	15.15	100
269.95~270.40	0.45	.50	0.90	0.45	100
270.40~270.90	0.50	.50	1.00	0.45	90
270.90~272.50	1.60	2.00	0.80	0.90	56
272.50~274.35	1.85	3.00	0.61	1.05	57
274.35~286.90	12.55	21.00	0.60	12.10	96
286.90~295.25	8.35	8.00	1.04	8.00	95.8
295.25~310.90	15.65	16.00	0.98	15.65	100
310.90~331.95	21.05	24.00	0.88	21.05	100
331.95~337.50	5.55	4.5	1.23	5.55	100
337.50~340.50	3.00	3.0	1.00	3.00	100
340.50~365.80	25.30	24.00	1.05	25.30	100
365.80~389.90	24.10	24.00	1.00	24.10	100
389.90~412.50	22.60	24.00	0.94	22.60	100
412.50~431.10	18.60	22.00	0.85	18.50	99.5
431.10~445.50	14.40	19.00	0.76	14.40	100
445.50~467.40	21.90	22.00	1.00	21.90	100
467.40~489.80	22.40	22.00	1.02	22.40	100
489.80~502.00	12.20	12.50	0.98	12.20	100

掘削能率 (m/h)

コア実収率 (%)



第II-7図 N61-OT-5 掘削能率及びコア実収率図

第II-12表 N61-OT-5 使用乙二_n美纖表

No.	種類	規定期間	成績			使用状態			能率
			初期量	中期量	後期量	回取数	送水量	1m相当 搬運量/分	
1	C-25	3MH	6.8 ~ 6.9	0 ~ 7.00	7.00 ~ 30.00	—	—	—	5.8
2	C-25	3MH	6.8 ~ 6.9	0 ~ 30.00	30.00 ~ 23.00	0.3 ~ 0.5	50	120	0.74
3	C-25	3MH	6.11 ~ 6.15	30.00 ~ 78.60	48.60 ~ 47.30	45.4	0.4 ~ 1.2	1.07	1.78
4	E	6.17 ~ 6.18	100.00 ~ 123.10	21.40	21.40 ~ 19.0	0.4 ~ 1.0	220	70	1.13
5	E	6.15 ~ 6.16	78.60 ~ 100.00	100	19.0 ~ 21.40	0.4 ~ 1.2	70	1.07	1.78
6	E	6.18 ~ 6.20	123.10 ~ 180.90	100	14.0 ~ 23.10	0.5 ~ 1.5	400	70	1.65
7	"	6.20 ~ 6.23	180.90 ~ 203.50	22.60	22.60 ~ 21.40	0.4 ~ 1.5	320	70	1.75
8	C-25	6.20 ~ 6.23	179.75 ~ 203.50	37.70	—	—	24.00	1.0	1.75
9	"	7.3 ~ 7.4	142.05 ~ 179.75	37.70	—	—	100.00 ~ 142.15	300	70
10	"	7.4 ~ 7.5	179.75 ~ 205.70	2.20	2.20 ~ 1.00	0.8 ~ 1.0	220	70	1.13
11	"	7.5	203.50 ~ 205.70	2.20	—	—	21.00	0.8	0.88
12	E	7.24 ~ 7.26	337.50 ~ 380.90	43.30	43.30 ~ 100	0.3 ~ 1.1	310	40	1.67
13	J-7	7.26 ~ 7.28	380.90 ~ 431.10	50.20	50.20 ~ 50.10	0.7 ~ 1.2	310	40	1.00
14	E	7.29	431.10 ~ 435.45	4.35	4.35 ~ 100	0.8 ~ 1.0	310	40	0.73
15	J-7	7.29 ~ 8.1	435.45 ~ 502.00	66.55	66.55 ~ 100	0.6 ~ 1.2	300	40	1.22
16	"	"	"	"	"	"	"	"	1.60
17	"	7.6 ~ 7.19	205.70 ~ 286.90	76.40	76.40 ~ 94	0.4 ~ 1.2	220	70	0.55
18	"	7.6 ~ 7.19	286.90 ~ 337.50	50.60	50.25 ~ 99	0.4 ~ 1.2	220	60	0.80
19	"	7.6 ~ 7.19	337.50 ~ 380.90	50.60	50.20 ~ 102.00	0.4 ~ 1.2	220	70	0.92
20	"	7.6 ~ 7.19	380.90 ~ 431.10	50.60	50.25 ~ 102.00	0.4 ~ 1.2	220	60	0.80
21	"	7.6 ~ 7.19	431.10 ~ 481.10	50.10	50.10 ~ 100	0.7 ~ 1.2	310	40	0.93
22	"	7.6 ~ 7.19	481.10 ~ 520.00	4.35	4.35 ~ 6	0.8 ~ 1.0	310	40	0.73
23	"	7.6 ~ 7.19	520.00 ~ 562.50	94	94 ~ 100	0.3 ~ 1.1	310	40	0.96
24	"	7.6 ~ 7.19	562.50 ~ 602.00	66.55	66.55 ~ 100	0.6 ~ 1.2	300	40	0.96
25	"	7.6 ~ 7.19	602.00 ~ 645.45	435.45	435.45 ~ 7.29	0.3 ~ 1.2	310	40	1.42
26	"	7.6 ~ 7.19	645.45 ~ 690.55	69.5	69.5 ~ 100	0.3 ~ 1.2	310	40	1.58
27	"	7.6 ~ 7.19	690.55 ~ 729.50	172.5	172.5 ~ 100	0.3 ~ 1.2	310	40	0.95
28	"	7.6 ~ 7.19	729.50 ~ 764.00	164.50	164.50 ~ 100	0.4 ~ 1.2	220	60	0.85
29	"	7.6 ~ 7.19	764.00 ~ 802.00	337.50	337.50 ~ 100	0.3 ~ 1.2	310	40	1.90
30	"	7.6 ~ 7.19	802.00 ~ 843.50	131.80	131.80 ~ 100	0.4 ~ 1.2	220	70	1.14
31	"	7.6 ~ 7.19	843.50 ~ 880.90	90.75	90.75 ~ 100	0 ~ 1.5	70	1.09	1.82
32	"	7.6 ~ 7.19	880.90 ~ 920.50	103.50	103.50 ~ 105.70	7.2 ~ 7.5	70	1.09	1.82
33	"	7.6 ~ 7.19	920.50 ~ 960.00	100	100 ~ 100	100	—	—	1.42
34	"	7.6 ~ 7.19	960.00 ~ 100.00	30.00	30.00 ~ 70	6.11 ~ 6.16	64.4	0.4 ~ 1.0	1.60
35	"	7.6 ~ 7.19	100.00 ~ 100.00	—	—	—	—	—	1.58
36	"	7.6 ~ 7.19	100.00 ~ 100.00	—	—	—	—	—	1.58
37	"	7.6 ~ 7.19	100.00 ~ 100.00	—	—	—	—	—	1.58
38	"	7.6 ~ 7.19	100.00 ~ 100.00	—	—	—	—	—	1.58
39	"	7.6 ~ 7.19	100.00 ~ 100.00	—	—	—	—	—	1.58
40	"	7.6 ~ 7.19	100.00 ~ 100.00	—	—	—	—	—	1.58
41	"	7.6 ~ 7.19	100.00 ~ 100.00	—	—	—	—	—	1.58
42	"	7.6 ~ 7.19	100.00 ~ 100.00	—	—	—	—	—	1.58
43	"	7.6 ~ 7.19	100.00 ~ 100.00	—	—	—	—	—	1.58
44	"	7.6 ~ 7.19	100.00 ~ 100.00	—	—	—	—	—	1.58
45	"	7.6 ~ 7.19	100.00 ~ 100.00	—	—	—	—	—	1.58
46	"	7.6 ~ 7.19	100.00 ~ 100.00	—	—	—	—	—	1.58
47	"	7.6 ~ 7.19	100.00 ~ 100.00	—	—	—	—	—	1.58
48	"	7.6 ~ 7.19	100.00 ~ 100.00	—	—	—	—	—	1.58
49	"	7.6 ~ 7.19	100.00 ~ 100.00	—	—	—	—	—	1.58
50	"	7.6 ~ 7.19	100.00 ~ 100.00	—	—	—	—	—	1.58
51	"	7.6 ~ 7.19	100.00 ~ 100.00	—	—	—	—	—	1.58
52	"	7.6 ~ 7.19	100.00 ~ 100.00	—	—	—	—	—	1.58
53	"	7.6 ~ 7.19	100.00 ~ 100.00	—	—	—	—	—	1.58
54	"	7.6 ~ 7.19	100.00 ~ 100.00	—	—	—	—	—	1.58
55	"	7.6 ~ 7.19	100.00 ~ 100.00	—	—	—	—	—	1.58
56	"	7.6 ~ 7.19	100.00 ~ 100.00	—	—	—	—	—	1.58
57	"	7.6 ~ 7.19	100.00 ~ 100.00	—	—	—	—	—	1.58
58	"	7.6 ~ 7.19	100.00 ~ 100.00	—	—	—	—	—	1.58
59	"	7.6 ~ 7.19	100.00 ~ 100.00	—	—	—	—	—	1.58
60	"	7.6 ~ 7.19	100.00 ~ 100.00	—	—	—	—	—	1.58
61	"	7.6 ~ 7.19	100.00 ~ 100.00	—	—	—	—	—	1.58
62	"	7.6 ~ 7.19	100.00 ~ 100.00	—	—	—	—	—	1.58
63	"	7.6 ~ 7.19	100.00 ~ 100.00	—	—	—	—	—	1.58
64	"	7.6 ~ 7.19	100.00 ~ 100.00	—	—	—	—	—	1.58
65	"	7.6 ~ 7.19	100.00 ~ 100.00	—	—	—	—	—	1.58
66	"	7.6 ~ 7.19	100.00 ~ 100.00	—	—	—	—	—	1.58
67	"	7.6 ~ 7.19	100.00 ~ 100.00	—	—	—	—	—	1.58
68	"	7.6 ~ 7.19	100.00 ~ 100.00	—	—	—	—	—	1.58
69	"	7.6 ~ 7.19	100.00 ~ 100.00	—	—	—	—	—	1.58
70	"	7.6 ~ 7.19	100.00 ~ 100.00	—	—	—	—	—	1.58
71	"	7.6 ~ 7.19	100.00 ~ 100.00	—	—	—	—	—	1.58
72	"	7.6 ~ 7.19	100.00 ~ 100.00	—	—	—	—	—	1.58
73	"	7.6 ~ 7.19	100.00 ~ 100.00	—	—	—	—	—	1.58
74	"	7.6 ~ 7.19	100.00 ~ 100.00	—	—	—	—	—	1.58
75	"	7.6 ~ 7.19	100.00 ~ 100.00	—	—	—	—	—	1.58
76	"	7.6 ~ 7.19	100.00 ~ 100.00	—	—	—	—	—	1.58
77	"	7.6 ~ 7.19	100.00 ~ 100.00	—	—	—	—	—	1.58
78	"	7.6 ~ 7.19	100.00 ~ 100.00	—	—	—	—	—	1.58
79	"	7.6 ~ 7.19	100.00 ~ 100.00	—	—	—	—	—	1.58
80	"	7.6 ~ 7.19	100.00 ~ 100.00	—	—	—	—	—	1.58
81	"	7.6 ~ 7.19	100.00 ~ 100.00	—	—	—	—	—	1.58
82	"	7.6 ~ 7.19	100.00 ~ 100.00	—	—	—	—	—	1.58
83	"	7.6 ~ 7.19	100.00 ~ 100.00	—	—	—	—	—	1.58
84	"	7.6 ~ 7.19	100.00 ~ 100.00	—	—	—	—	—	1.58
85	"	7.6 ~ 7.19	100.00 ~ 100.00	—	—	—	—	—	1.58
86	"	7.6 ~ 7.19	100.00 ~ 100.00	—	—	—	—	—	1.58
87	"	7.6 ~ 7.19	100.00 ~ 100.00	—	—	—	—	—	1.58
88	"	7.6 ~ 7.19	100.00 ~ 100.00	—	—	—	—	—	1.58
89	"	7.6 ~ 7.19	100.00 ~ 100.00	—	—	—	—	—	1.58
90	"	7.6 ~ 7.19	100.00 ~ 100.00	—	—	—	—	—	1.58
91	"	7.6 ~ 7.19	100.00 ~ 100.00	—	—	—	—	—	1.58
92	"	7.6 ~ 7.19	100.00 ~ 100.00	—	—	—	—	—	1.58
93	"	7.6 ~ 7.19	100.00 ~ 100.00	—	—	—	—	—	1.58
94	"	7.6 ~ 7.19	100.00 ~ 100.00	—	—	—	—	—	1.58
95	"	7.6 ~ 7.19	100.00 ~ 100.00	—	—	—	—	—	1.58
96	"	7.6 ~ 7.19	100.00 ~ 100.00	—	—	—	—	—	1.58
97	"	7.6 ~ 7.19	100.00 ~ 100.00	—	—	—	—	—	1.58
98	"	7.6 ~ 7.19	100.00 ~ 100.00	—	—	—	—	—	1.58
99	"	7.6 ~ 7.19	100.00 ~ 100.00	—	—	—	—	—	1.58
100	"	7.6 ~ 7.19	100.00 ~ 100.00	—	—	—	—	—	1.58
101	"	7.6 ~ 7.19	100.00 ~ 100.00	—	—	—	—	—	1.58
102	"	7.6 ~ 7.19	100.00 ~ 100.00	—	—	—	—	—	1.58
103	"	7.6 ~ 7.19	100.00 ~ 100.00	—	—	—	—	—	1.58
104	"	7.6 ~ 7.19	100.00 ~ 100.00	—	—	—	—	—	1.58
105	"	7.6 ~ 7.19	100.00 ~ 100.00	—	—	—	—	—	1.58
106	"	7.6 ~ 7.19	100.00 ~ 100.00	—	—	—	—	—	1.58
107	"	7.6 ~ 7.19	100.00 ~ 100.00	—	—	—	—	—	1.58
108	"	7.6 ~ 7.19	100.00 ~ 100.00	—	—	—	—	—	1.58
109	"	7.6 ~ 7.19	100.00 ~ 100.00	—	—	—	—	—	1.58
110	"	7.6 ~ 7.19	100.00 ~ 100.00	—	—	—	—	—	1.58
111	"	7.6 ~ 7.19	100.00 ~ 100.00	—	—	—	—	—	1.58
112	"	7.6 ~ 7.19	100.00 ~ 100.00	—	—	—	—	—	1.58
113	"	7.6 ~ 7.19	100.00 ~ 100.00	—	—	—	—	—	1.58
114	"	7.6 ~ 7.19	100.00 ~ 100.00	—	—	—	—	—	1.58
115	"	7.6 ~ 7.19	100.00 ~ 100.00	—	—	—	—	—	1.58
116	"	7.6 ~ 7.19	100.00 ~ 100.00	—	—	—	—	—	1.58
117	"	7.6 ~ 7.19	100.00 ~ 100.00	—	—	—	—	—	1.58
118	"	7.6 ~ 7.19	100.00 ~ 100.00	—	—	—	—	—	1.58
119	"	7.6 ~ 7.19	100.00 ~ 100.00	—	—	—	—	—	1.58
120	"	7.6 ~ 7.19	100.00 ~ 100.00	—	—	—	—	—	1.58
121	"	7.6 ~ 7.19	100.00 ~ 100.00	—	—	—	—	—	1.58
122	"	7.6 ~ 7.19	100.00 ~ 100.00	—	—	—	—	—	1.58
123	"	7.6 ~ 7.19	100.00 ~ 100.00	—	—	—	—	—	1.58
124	"	7.6 ~ 7.19	100.00 ~ 100.00	—	—	—	—	—	1.58
125	"	7.6 ~ 7.19	100.00 ~ 100.00	—	—	—	—	—	1.58
126	"	7.6 ~ 7.19	100.00 ~ 100.00	—	—	—	—	—	1.58
127	"	7.							

第II-13表(1) N61-OT-5 主要消耗品使用実績表

項目	品名	数量	備考
ビット類	トリコンビット5 ^{5/8"} 3MS	1個	
	ダイヤモンドビット HQ-WL	5個	
	" NQ-WL	9個	
	HQ-WL用リーマー	2個	
	NQ-WL用リーマー	3個	
コアバー レル	HQ-WL アウターチューブ	1組	3m
	" インナーチューブアッセンブリー	2組	3m
	" ロッキングカップリング	2本	
	" ガイドカップリング	2本	
	" ランディングリング	2個	
	" スピンドルシャフト	2本	
	" インナー キャップ	2本	
	" ラッチプレート	4枚	
	" ラッチスプリング	4本	
	" スプリングピン	4本	
	" "	4本	大小
	" スリープ	2本	
	" シャットオフバルブ	8個	
	" リフター ケース	6個	
	" コアリフター	6個	
	" リフターストップリング	6本	
	" スラストペアリング	6個	
	" "	6個	
	" アウターチューブ	1組	3m
	" インナーチューブアッセンブリー	2組	3m
	" ロッキングカップリング	2本	
	" ガイドカップリング	2本	
	" ランディングリング	3個	
	" スピンドルシャフト	2本	
	" インナー キャップ	2本	
	" ラッチプレート	4枚	
	" ラッチスプリング	4本	
	" スプリングピン	4本	
	" "	4本	大小
	" スリープ	2本	
	" シャットオフバルブ	6個	
	" リフター ケース	8個	
	" コアリフター	8個	
	" リフターストップリング	6本	
	" スラストペアリング	6個	
	" "	6個	

第II-13表 (2) N61-OT-5 主要消耗品使用実績表

第II-13表(3) N61-OT-5 主要消耗品使用実績表

項目	品名	数量	備考
ポンプ部品	MG-10 Vパッキン	24 個	
オーバショット部品	リフティングドック	2 個	
	シコックアジスタブルロット	2 個	
	リフティングドック用スプリング	2 個	
	ロッドBQ	30 本	
エンジン部品	MG-10 ファンベルト	3 本	
	NS-100 フライホイル	1 本	
	" ベアリング	1 個	
	" オイルエレメント	2 個	
	" フェルエルメント	2 個	
	T BM-70 Vベルト	4 本	
	F 4 L-912 クラッチデスク	1 枚	
	" ベアリング	1 個	
	" フライホイル	1 本	
	" オイルエレメント	2 個	
	" フェメルメント	2 個	
	" Vブーリ	1 個	
	" ドライブシャフト	1 本	
高圧ホース	2" ホース	1 m	
	" 1 ^{1/2} " ホース	3 m	
ウォーター	FH-12 スピンドル	1 本	
スイベル部品	" シャフト	1 本	
	" パッキン	12 枚	
	" パッキンライナー	1 個	
	" ベアリング	1 個	
	" "	1 個	
その他の	ワイヤーロープ 20Φ	m	掘削用50m
	" 14Φ	50 m	台付用
	" 6Φ	550 m	WL ウインチ用
ホルダー	ピストン	2 個	
	替駒	1 組	HQ-WL
	"	1 組	NQ-WL
	"	1 組	BQ-WL
パイプレンチ	1,200mm	2 丁	
	900mm	2 丁	
	600mm	2 丁	
	B-6	2 丁	
留点温度計		6 本	
酸素		5 本	
アセチレンガス		2 本	

第II-14表 N61-OT-5 泥剤及び逸水防止剤使用実績表

泥剤名 掘削区間(m)	ペントナイト	C M C	シーケーナイト	テルナイト Bx	テルストップ(G)	テルストップ(P)	テルマイカ	レスター	T I ゲル	T K - 6 0 B	塩カル	テムブロック	フローチェック	水ガラス
0.00 ~ 30.00	kg 875	kg	kg	kg	kg	kg	kg	kg	kg	kg 17	kg 8	ℓ	ℓ	ℓ
30.00 ~ 100.00	2,700	6	6	—	23	70	—	—	—	137.1	—	—	—	230
100.00 ~ 203.50	1,950	20	—	—	—	25	—	—	—	145.9	—	—	—	—
100.00 ~ 203.50 (拡坑)	5,775	34	44	1,040	50	105	30	20	15	454.1	20	2,000	—	—
203.50 ~ 310.90	7,455	34	150	1,060	5	75	90	30	—	133.4	165	2,200	1,500	870
310.90 ~ 502.00	2,870	61	10	300	—	40	—	—	—	262.5	12	250	—	250
計	kg 21,625	kg 185	kg 210	kg 2,400	kg 78	kg 315	kg 120	kg 50	kg 15	kg 1,150	kg 205	ℓ 4,450	ℓ 1,500	ℓ 1,350

III. 調査及び測定

III. 調査及び測定

III-1 地質及び変質

1. 地 質

調査地域の総合地質柱状図、地質図、地質断面図及び層序模式断面図を第III-1図、第III-2図、第III-3図及び第III-4図にそれぞれ示す。

調査地域の地質は主に美濃帯中・古生層、濃飛流紋岩類、両者を貫く花崗斑岩～花崗閃綠斑岩及びこれらを不整合に覆う御岳火山岩類で構成される。

美濃帯中・古生層は、二疊紀～ジュラ紀の砂岩、粘板岩及びチャートからなり、地域南東部の上島から鈴ヶ沢及び瀬戸にかけて分布するほか、伝上川と濁川の合流点付近にも小露出がある。砂岩は淡灰色～灰色、細粒～中粒、硬砂岩質で、かなり珪質な部分もある。粘板岩は破碎されており、特に千沢入口付近、溝口川周辺、伝上川・濁川合流点付近で著しく、一部に千枚岩化がみられる。チャートは暗灰色～灰色を呈し、厚さ70mまでの薄層ないしレンズとして主に粘板岩中に挟まれており、著しい層内褶曲を示す。美濃帯中・古生層は一般走向NE-SW、傾斜70°～80°Eを示すが、局部的な乱れがあり、N-S又はWNW-ESEの走向をもつ部分もある。

濃飛流紋岩類は、白亜紀～古第三紀の流紋岩ないし流紋ディサイト質の溶結凝灰岩を主とし、碎屑岩層を挟む累層で、地域中央部から南西部にかけて分布する。本地域の濃飛流紋岩類は、山田ほか(1971)、濃飛団研(1973)等の層序区分に基づき、下位から真弓峠溶結凝灰岩層、鰐川溶結凝灰岩層、白川層、黒沢角礫岩層、瀬戸川溶結凝灰岩層及び新期溶結凝灰岩層の6層に区分される。

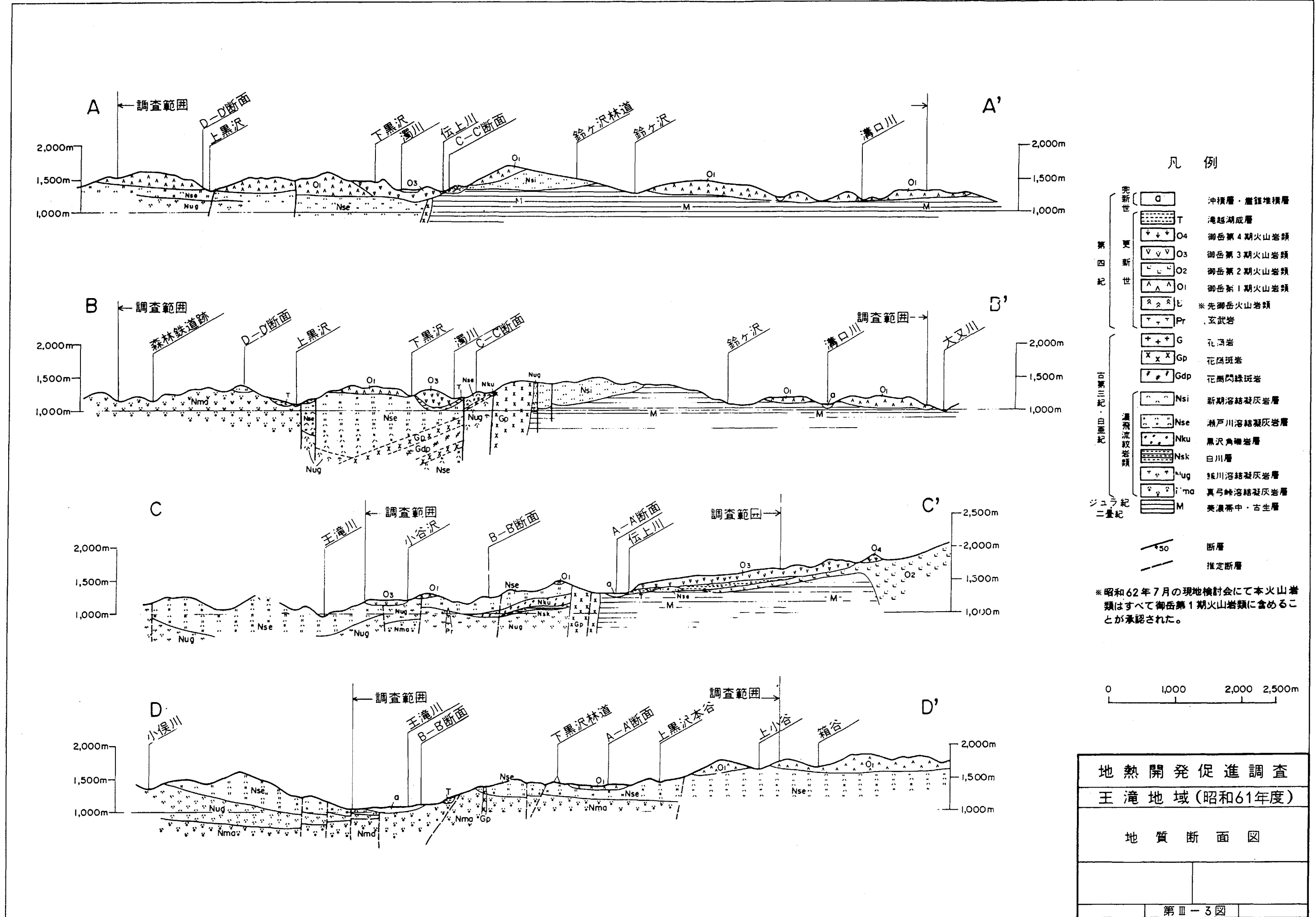
真弓峠溶結凝灰岩層は、美濃帯中・古生層等の異質礫、岩片を多く含む凝灰角礫岩質の流紋岩質溶結凝灰岩からなり、地域南西部滝越以西に分布し、約500mの層厚をもつ。鰐川溶結凝灰岩層は石英斑晶に富む角閃石黒雲母流紋岩質溶結凝灰岩からなり、鰐川・王滝川合流点の氷ヶ瀬周辺に露出し、その層厚は400m以上と見積られる。白川層は、凝灰質泥岩及びアルコース質砂岩からなる正規堆積物で、濁川東部の王滝林道及び立間沢林道沿いに小露出がみられ、その層厚は30m内外と推定される。黒沢角礫岩は、美濃帯中・古生層及び鰐川溶結凝灰岩層の角礫に富む塊状無淘汰角礫岩で、調査地域内では、王滝林道の花崗斑岩に沿って露出しており、層厚は約80mである。瀬戸川溶結凝灰岩層は、鰐川溶結凝灰岩層に比較して角閃石及び黒雲母を多く含む流紋ディサイト質溶結凝灰岩で、濁川流域及びその南から西方にかけて最も広く分布しており、その層厚は昭和60年度の構造試錐で750m以上であることが判明した。新期溶結凝灰岩層は、既述の下位の溶結凝灰岩諸層に比較して溶結度及び固結度が弱く、流紋岩質～流紋ディサイト質で礫岩などの碎屑岩層を多く挟在している。本

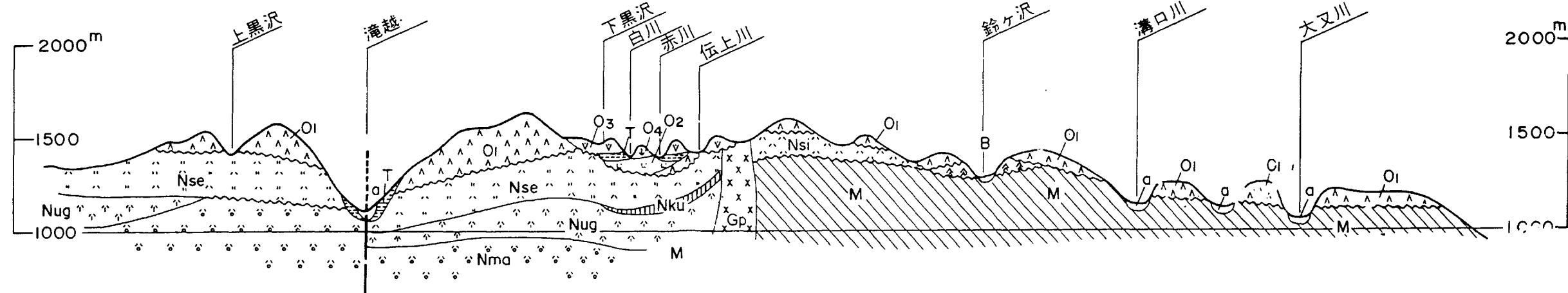
時代	地層名	層厚(m)	柱状図	岩相	絶対年代 Ma	火成活動	変質作用
完新世	冲積層	-					
後期	第4期火山岩類	40		シルト・砂・礫・軽石 複雑石安山岩	FTO.04 ± 0.02		
第四紀	御岳火山岩類	250 120		複雑石安山岩 同質火碎岩 砂礫岩 凝灰岩	FTO.07 ± 0.05 FTO.10 ± 0.07		
更新世	第2期火山岩類	40		含軽石火山角礫石			
中期	第1期火山岩類	250-500		複雑石安山岩 角閃石安山岩 同質火碎岩			
先御岳火山岩類	150-200		火山角礫岩・泥流堆積物	FTO.59 ± 0.11			
濃飛流紋岩類	500		黒雲母流紋岩質溶結凝灰岩				
古第三紀	瀬戸川溶結凝灰岩層	500		角閃石黒雲母流紋テイサイト質 溶結凝灰岩			
白堊・第三紀	黒沢角礫岩層	80		角礫岩			
	白川層	30		砂岩・シルト岩			
	鰐川溶結凝灰岩層	400		角閃石黒雲母流紋岩質 溶結凝灰岩			
	真弓峰溶結凝灰岩層	500		含角礫流紋岩質溶結凝灰岩			
二疊・三紀	美濃帶中・古生層	-		砂岩・頁岩・チャート			

花崗斑岩・花崗閃長斑岩
立武岩
→
→

*昭和62年7月15日の現地検討会にてこの層序名は否定され、すべて第1期火山岩類に含まれることになった。

第三-1図 総合地質柱状図





凡 例

第四紀	完新世	沖積層・崖錐堆積層・ 土石流堆積物	a	
	更新世	滝越湖成層	T	
		御岳第4期火山岩類	O4	
		御岳第3期火山岩類	O3	
		御岳第2期火山岩類	O2	
		御岳第1期火山岩類	O1	
古第三紀 白亜紀後期	濃飛流紋岩類	*先御岳火山岩類	B	
		花崗斑岩類	Gp	
		一期溶結凝灰岩層	Nsi	
		瀬戸川溶結凝灰岩層	Nse	
		黒沢角礫岩層・白川層	Nku	
		鰐川溶結凝灰岩層	Nug	
ジュラ紀・二疊紀		真弓峠溶結凝灰岩層	Nma	
		美濃帶中・古生層	M	
断 層				
~~~~~ 不整合				

注：*昭和62年7月の現地検討会にて本火山岩類はすべて御岳第1期火山岩類に含めることが承認された。

地熱開発促進調査	
王滝地域(昭和61年度)	
模式層序断面図	
III - 4 図	

層は地域中央部の1,748.8m三角点を中心に美濃帯中・古生層を不整合に覆って分布する。濃飛流紋岩類は、地域南西部では走向WNW-ESEないしNW-SEを示し、NW-SE方向を軸とする緩やかな向斜構造を形成するが、地域中央部の美濃帯中・古生層と接する付近では、背斜構造を形成すると共に小断層によりブロック化している。この区域に分布する濃飛流紋岩類は、新期溶結凝灰岩層を除き、NW-SE方向の濃飛岩体東縁断層で美濃帯中・古生層と接する。美濃帯中・古生層は同断層沿いに幅2~3kmにわたり破碎化をうけ、濃飛岩体東縁破碎帶を形成している。濃飛岩体東縁断層の西側では美濃帯中・古生層の1,000m以上の落ち込みがあり、濁川陥没構造を形成する。

貫入岩類は、濃飛岩体東縁断層の南側に沿って幅300~500mの花崗斑岩が岩脈状に貫くほか、その近傍に花崗閃緑斑岩の小岩体がみられ、花崗斑岩は $51.8 \pm 2.6$ Ma及び $55.3 \pm 2.8$ MaのK-Ar年代を得ている。

御岳火山岩類は、濃飛岩体東縁破碎帶の延長上に噴出の中心をもって、第四紀更新世の中期から後期にかけて噴出したもので、活動順に第1期から第4期火山岩類に区分される(Kobayashi (1974))。御岳第1期火山岩類は、濁川・伝上川流域を除く調査地域の北部を広く覆っており、下位から角閃石デイサイト、角閃石安山岩、複輝石安山岩及び同質火碎岩類よりなる。その層厚は東部の溝口川流域で200m以上、又西部では約250mと推定され、中位の角閃石安山岩は $0.59 + 0.11$ Maのフィッショントラック法による年代を示した。第2期火山岩類は流紋岩質の火山活動で特徴づけられ、活動の前半期はPm-1(第I-5表参照)をはじめとする多量の降下軽石の噴出により山頂部にカルデラが形成され、後半には溶岩と軽石とを交互に噴出してカルデラを埋積したと考えられているが、調査地域内には濁川(標高1,450m)の左岸に含軽石凝灰角礫岩を伴う火山角礫岩の小露出がみられるのみである。第3期火山岩類は、御岳山頂から濁川・伝上川に沿って南北に分布しており、複輝石安山岩及びその火碎岩類からなる。本火山岩類は、濁川流域では主に3枚の溶岩流、また伝上川流域では下位から火山角礫岩、溶岩流、火山角礫岩・凝灰角礫岩互層及び溶岩流で構成され、前者では約60m、また後者ではおよそ250mの層厚を示す。本岩類の分布は、両流域とも第1期火山岩類より高度の低い位置にあり、この区域は第3期火山岩類活動以前に南北方向の凹地が形成されていたことを示唆している。本岩類の下底に近い複輝石安山岩は $0.10 \pm 0.07$ Ma、また濁川左岸の複輝石安山岩は $0.07 \pm 0.05$ Maのフィッショントラック法による年代を示した。第4期火山岩類は、御岳山頂部の小火口群から噴出した複輝石安山岩であり、御岳の南側には二ノ池火口から噴出した溶岩が濁川沿いに流下し、調査地域の北端まで達している。本溶岩流の末端部は3枚が重なって約20mの厚さを示し、フィッショントラック法による年代測定では $0.04 \pm 0.02$ Maを示した。

御岳火山活動の第2期から第3期にかけて濁川流域及び滝越周辺に水が関与した堆積作用がみられ、その堆積物を滝越湖成層とした。滝越周辺の本層堆積物は層理のよく発達した

含礫砂層、シルト層、含軽石凝灰岩層等の典型的湖成堆積相を示すが、濁川流域の堆積物は安山岩の巨大角礫を特徴的に含む礫岩を主とし、凝灰質シルト～砂礫の薄層又はレンズを挟むもので、土石流堆積物又は河床堆積物であるとの意見もある。両地区の堆積物の取り扱いは今後の検討課題として残されている。

調査地域の断裂構造としては、既述の濃飛岩体東縁破碎帯及び断層で代表されるNW-SE系があるほか、ENE-WSW系及びN-S系の割れ目が発達する。ENE-WSW系は、滝越付近から濁川下流にかけて幅約1kmの間に数本の断層があり、その東延長に当たる鈴ヶ沢にも断層を認めている。既述した長野県西部地震の本震はENE-WSW方向の右横ずれ地震断層の活動とされており、余震域もこの方向に伸長している。N-S系の断層は濁川東岸からその東側の玉滝林道及び立間沢林道にかけて比較的密に発達する。この系統の断層は滝越付近にもその存在が推定される。又空中写真から抽出したリニアメントとしては地域東部の溝口川、大又川付近のENE-WSW系が顕著である。

昭和60年度実施された構造調査井N60-OT-1及びN60-OT-2はいずれも濁川陥没構造の中で実施されたが、両調査井とも美濃帶中・古生層まで到達しなかった。又、本年度の精密構造調査井N61-OT-3、N61-OT-4及びN61-OT-5は東部の鈴ヶ沢上流中股付近、溝口川上流付近及び大又東部尾根部で実施された。全調査井とも美濃帶中・古生層まで到達している。N61-OT-5坑のコア観察による地質層序区分を第III-1表に、またコア観察結果を第III-5図(1)～(4)に示し、コアに出現した各地層についての肉眼観察結果を以下に述べる。

第III-1表 地 質 層 序 表

時 代	地 層 名	N 61 - O T - 5	
		地 層 区 分 深 度 ( m )	見 掛 け 層 厚 ( m )
第 四 紀 更 新 世 後 期	御岳第1期火山岩類	30.00～292.20	262.20
二 疊 ～ ジ ュ ラ 紀 紀	美濃帶中・古生層	292.20～502.00	209.80



### 第Ⅲ-5 図(2) 試錐地質柱状図(1/500)

王漁 地域 OT-5号 № 2 (15)

深度 m	柱状図	コアの形状	岩石名	記事						割れ目密度	サンプル採取位置										
				色	硬さ	変質・岩相の特徴	地層名	坑底温度 °C	透水状況			CI %	分布頻度 %	採取深度 m	M X D Mg P T						
15.0	V~V	/-15.2.20	角礫化安山岩	赤褐色 中粒	中粒安山岩質、角・垂角砾中5~100mm 中粒長石多じ0.5~3mm																
16.0	V V	/-16.2.50	複輝石安山岩	灰 灰褐色 中更	中粒、斜長石多じ0.5~2mm 斜長石0.5~4mm 中粒複輝石安山岩質、重角砾中5~40cm 固結度悪し																
17.0	V Δ	/-17.0.80	火山角砾岩	灰 灰褐色 中更	180°複鉄鉱脈、中0.5mm 173.3~173.7角砾少量 上部にドビベ輝石少量																
18.0	V	/-18.0.00	複輝石安山岩	灰 中更	179.3~179.9mセオライト晶洞脈中2mm 182.0m金雲母0.5~3mm多じ 183.2m複鉄鉱脈中6°+0.5mm 185.4m複鉄鉱脈中8°+0.5mm 187.7m複鉄鉱脈中75°+0.5mm 191.0~191.5m複鉄鉱脈中80~90° 193.0~193.4m複鉄鉱脈中0.5mm 194.0~195.0m複鉄鉱脈中80~90°+0.5mm 195~195.5m複鉄鉱脈中85°+0.5mm 196~197.6m複鉄鉱脈中88~90°+0.5mm 199.5~200.0m複鉄鉱脈中85°+0.5mm 201.0~201.5m複鉄鉱脈中85°+0.5mm 202.0~202.5m複鉄鉱脈中85°+0.5mm 203.0~203.5m複鉄鉱脈中85°+0.5mm 204.0~204.5m複鉄鉱脈中85°+0.5mm 205.0~205.5m複鉄鉱脈中85°+0.5mm 206.0~206.5m複鉄鉱脈中85°+0.5mm 207.0~207.5m複鉄鉱脈中85°+0.5mm 208.0~208.5m複鉄鉱脈中85°+0.5mm 209.0~209.5mセオライト晶洞脈中25° 210.0~210.5mセオライト晶洞脈中10mm 211.0~211.5mセオライト晶洞脈中10mm 212.6~213.2m複鉄鉱脈中10mm 214.2m複鉄鉱脈中10mm 216.4m複鉄鉱脈中10mm 218.0~218.6m複鉄鉱脈中10mm 220.2mセオライト晶洞脈中10mm 222.2mセオライト晶洞脈中10mm 223.2mセオライト晶洞脈中10mm 224.2mセオライト晶洞脈中10mm 225.2mセオライト晶洞脈中10mm 226.4mセオライト晶洞脈中10mm 227.2~227.5m多孔質角砾化溶岩 228.2~232.5m角石質へ西角石質φ0.5~15cm 232.2~233.2m斑状花崗閃绿岩φ10mm~40mm 233.6~234.2mセオライト晶洞脈中10mm 234.2~235.2m複鉄鉱脈中10mm 236.4~237.0m複鉄鉱脈中10mm 238.7~239.3m附近火山礫、侵入岩様 安山岩礫⇒安山岩質 安山岩礫⇒異質礫 安山岩質⇒安山岩質 240.0~240.6m複鉄鉱脈中10mm 241.8~242.4m花崗閃绿岩質φ5cm入 242.4~243.0m花崗岩質φ6cm入 243.0~243.6m花崗岩質φ3cm入 244.0~244.6m花崗岩質φ3cm入 245.0~245.6m花崗岩質φ3cm入 246.0~246.6m花崗岩質φ3cm入 247.0~247.6m花崗岩質φ3cm入 248.0~248.6m花崗岩質φ3cm入 249.0~249.6m花崗岩質φ3cm入 250.4~251.0m花崗岩質φ6cm入 251.4~252.0m花崗岩質φ6cm入 252.4~253.0m花崗岩質φ6cm入 253.4~254.0m花崗岩質φ6cm入 254.4~255.0m花崗岩質φ6cm入 255.4~256.0m花崗岩質φ6cm入 256.4~257.0m花崗岩質φ6cm入 257.4~258.0m花崗岩質φ6cm入 258.4~259.0m花崗岩質φ6cm入 259.4~260.0m花崗岩質φ6cm入 260.4~261.0m花崗岩質φ6cm入 261.4~262.0m花崗岩質φ6cm入 262.4~263.0m花崗岩質φ6cm入 263.4~264.0m花崗岩質φ6cm入 264.4~265.0m花崗岩質φ6cm入 265.4~266.0m花崗岩質φ6cm入 266.4~267.0m花崗岩質φ6cm入 267.4~268.0m花崗岩質φ6cm入 268.4~269.0m花崗岩質φ6cm入 269.4~270.0m花崗岩質φ6cm入 270.4~271.0m花崗岩質φ6cm入 271.4~272.0m花崗岩質φ6cm入 272.4~273.0m花崗岩質φ6cm入 273.4~274.0m花崗岩質φ6cm入 274.4~275.0m花崗岩質φ6cm入 275.4~276.0m花崗岩質φ6cm入 276.4~277.0m花崗岩質φ6cm入 277.4~278.0m花崗岩質φ6cm入 278.4~279.0m花崗岩質φ6cm入 279.4~280.0m花崗岩質φ6cm入 280.4~281.0m花崗岩質φ6cm入 281.4~282.0m花崗岩質φ6cm入 282.4~283.0m花崗岩質φ6cm入 283.4~284.0m花崗岩質φ6cm入 284.4~285.0m花崗岩質φ6cm入 285.4~286.0m花崗岩質φ6cm入 286.4~287.0m花崗岩質φ6cm入 287.4~288.0m花崗岩質φ6cm入 288.4~289.0m花崗岩質φ6cm入 289.4~290.0m花崗岩質φ6cm入 290.4~291.0m花崗岩質φ6cm入 291.4~292.0m花崗岩質φ6cm入 292.4~293.0m花崗岩質φ6cm入 293.4~294.0m花崗岩質φ6cm入 294.4~295.0m花崗岩質φ6cm入 295.4~296.0m花崗岩質φ6cm入 296.4~297.0m花崗岩質φ6cm入 297.4~298.0m花崗岩質φ6cm入 298.4~299.0m花崗岩質φ6cm入 299.4~300.0m花崗岩質φ6cm入	15.0~60m 透70%	16.0~60m 透70%	17.0~60m 透70%	18.0~60m 透70%	19.0~60m 透70%	20.0~60m 透70%	21.0~60m 透70%	22.0~60m 透70%	23.0~60m 透70%	24.0~60m 透70%	25.0~60m 透70%	26.0~60m 透70%	27.0~60m 透70%	28.0~60m 透70%	29.0~60m 透70%	30.0~60m 透70%
15.0	V~V	/-15.2.20	角礫化安山岩	赤褐色 中粒	中粒安山岩質、角・垂角砾中5~100mm 中粒長石多じ0.5~3mm																
16.0	V~V	/-16.2.50	複輝石安山岩	灰 灰褐色 中更	中粒、斜長石多じ0.5~2mm 斜長石0.5~4mm 中粒複輝石安山岩質、重角砾中5~40cm 固結度悪し																
17.0	V~V	/-17.0.80	火山角砾岩	灰 灰褐色 中更	180°複鉄鉱脈、中0.5mm 173.3~173.7角砾少量 上部にドビベ輝石少量																
18.0	V	/-18.0.00	複輝石安山岩	灰 中更	179.3~179.9mセオライト晶洞脈中2mm 182.0m金雲母0.5~3mm多じ 183.2m複鉄鉱脈中6°+0.5mm 185.4m複鉄鉱脈中8°+0.5mm 187.7m複鉄鉱脈中75°+0.5mm 191.0~191.5m複鉄鉱脈中80~90° 193.0~193.4m複鉄鉱脈中0.5mm 194.0~195.0m複鉄鉱脈中80~90°+0.5mm 195~195.5m複鉄鉱脈中85°+0.5mm 196~197.6m複鉄鉱脈中88~90°+0.5mm 199.5~200.0m複鉄鉱脈中85°+0.5mm 201.0~201.5m複鉄鉱脈中85°+0.5mm 202.0~202.5m複鉄鉱脈中85°+0.5mm 203.0~203.5m複鉄鉱脈中85°+0.5mm 204.0~204.5m複鉄鉱脈中85°+0.5mm 205.0~205.5m複鉄鉱脈中85°+0.5mm 206.0~206.5m複鉄鉱脈中85°+0.5mm 207.0~207.5m複鉄鉱脈中85°+0.5mm 208.0~208.5m複鉄鉱脈中85°+0.5mm 209.0~209.5mセオライト晶洞脈中25° 210.0~210.5mセオライト晶洞脈中10mm 211.0~211.5mセオライト晶洞脈中10mm 212.6~213.2m複鉄鉱脈中10mm 214.2m複鉄鉱脈中10mm 216.4m複鉄鉱脈中10mm 218.0~218.6m複鉄鉱脈中10mm 220.2mセオライト晶洞脈中10mm 222.2mセオライト晶洞脈中10mm 223.2mセオライト晶洞脈中10mm 224.2mセオライト晶洞脈中10mm 225.2mセオライト晶洞脈中10mm 226.4~227.0m多孔質角砾化溶岩 227.2~232.5m角石質へ西角石質φ0.5~15cm 232.2~233.2m斑状花崗閃绿岩φ10mm~40mm 233.6~234.2mセオライト晶洞脈中10mm 234.2~235.2m複鉄鉱脈中10mm 236.4~237.0m複鉄鉱脈中10mm 238.7~239.3m附近火山礫、侵入岩様 安山岩礫⇒安山岩質 安山岩質⇒異質礫 安山岩質⇒安山岩質 240.0~240.6m複鉄鉱脈中10mm 241.8~242.4m花崗閃绿岩質φ5cm入 242.4~243.0m花崗岩質φ6cm入 243.0~243.6m花崗岩質φ3cm入 244.0~244.6m花崗岩質φ3cm入 245.0~245.6m花崗岩質φ3cm入 246.0~246.6m花崗岩質φ3cm入 247.0~247.6m花崗岩質φ3cm入 248.0~248.6m花崗岩質φ3cm入 249.0~249.6m花崗岩質φ3cm入 250.4~251.0m花崗岩質φ6cm入 251.4~252.0m花崗岩質φ6cm入 252.4~253.0m花崗岩質φ6cm入 253.4~254.0m花崗岩質φ6cm入 254.4~255.0m花崗岩質φ6cm入 255.4~256.0m花崗岩質φ6cm入 256.4~257.0m花崗岩質φ6cm入 257.4~258.0m花崗岩質φ6cm入 258.4~259.0m花崗岩質φ6cm入 259.4~260.0m花崗岩質φ6cm入 260.4~261.0m花崗岩質φ6cm入 261.4~262.0m花崗岩質φ6cm入 262.4~263.0m花崗岩質φ6cm入 263.4~264.0m花崗岩質φ6cm入 264.4~265.0m花崗岩質φ6cm入 265.4~266.0m花崗岩質φ6cm入 266.4~267.0m花崗岩質φ6cm入 267.4~268.0m花崗岩質φ6cm入 268.4~269.0m花崗岩質φ6cm入 269.4~270.0m花崗岩質φ6cm入 270.4~271.0m花崗岩質φ6cm入 271.4~272.0m花崗岩質φ6cm入 272.4~273.0m花崗岩質φ6cm入 273.4~274.0m花崗岩質φ6cm入 274.4~275.0m花崗岩質φ6cm入 275.4~276.0m花崗岩質φ6cm入 276.4~277.0m花崗岩質φ6cm入 277.4~278.0m花崗岩質φ6cm入 278.4~279.0m花崗岩質φ6cm入 279.4~280.0m花崗岩質φ6cm入 280.4~281.0m花崗岩質φ6cm入 281.4~282.0m花崗岩質φ6cm入 282.4~283.0m花崗岩質φ6cm入 283.4~284.0m花崗岩質φ6cm入 284.4~285.0m花崗岩質φ6cm入 285.4~286.0m花崗岩質φ6cm入 286.4~287.0m花崗岩質φ6cm入 287.4~288.0m花崗岩質φ6cm入 288.4~289.0m花崗岩質φ6cm入 289.4~290.0m花崗岩質φ6cm入 290.4~291.0m花崗岩質φ6cm入 291.4~292.0m花崗岩質φ6cm入 292.4~293.0m花崗岩質φ6cm入 293.4~294.0m花崗岩質φ6cm入 294.4~295.0m花崗岩質φ6cm入 295.4~296.0m花崗岩質φ6cm入 296.4~297.0m花崗岩質φ6cm入 297.4~298.0m花崗岩質φ6cm入 298.4~299.0m花崗岩質φ6cm入 299.4~300.0m花崗岩質φ6cm入	15.0~60m 透70%	16.0~60m 透70%	17.0~60m 透70%	18.0~60m 透70%	19.0~60m 透70%	20.0~60m 透70%	21.0~60m 透70%	22.0~60m 透70%	23.0~60m 透70%	24.0~60m 透70%	25.0~60m 透70%	26.0~60m 透70%	27.0~60m 透70%	28.0~60m 透70%	29.0~60m 透70%	30.0~60m 透70%

アの形狀例



ノコア  
状(5cm以下主体)  
短棒状(5~15cm主体)  
状

15° 斜めの傾斜

$$Cl = \frac{1}{d} \cdot \frac{\Sigma Lc}{10 \cdot 100}$$

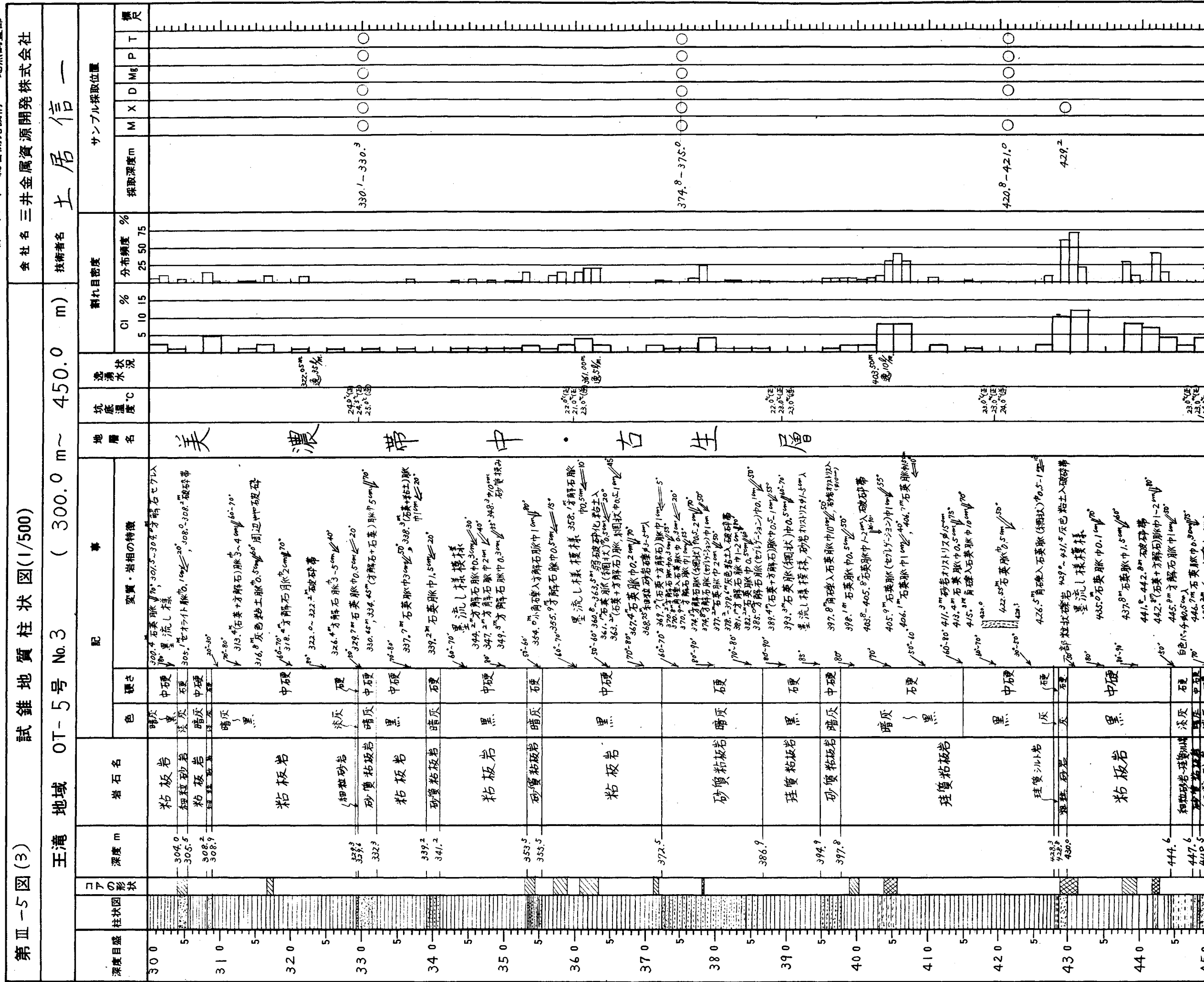
割れ目帶の長さの合計(cm)  
観察したコア長(cm)

M：顯微鏡觀察  
 X：粉末X線回折分析  
 D：密度測定  
 Mg：帶磁率測定  
 D：彈性波測定

### ④ 分布頻度

### 第Ⅲ-5 図(3) 試錐地質柱状図(1/500)

王漁 域  
0T-5号 №3 (30)



ヨアの形狀例



ノンコア  
状態

## 15. 実用目的の研究 20. 研究の実用

$$C_1 = \frac{1}{d} \cdot \frac{\sum L_0}{L_0} \cdot 100$$

d = 5(5cm間隔の音  
の数)

標準の長さの合計(cm)  
たコア長(cm)

M：顯微鏡觀察  
X：粉末X線回折分析  
D：密度測定  
Mg：帶速率測定  
P：彈性波速度測定

### 5 cm以下の間隔の割れ目

## 3 鳥取の町の割れ目 の分布密度

分布測度

丁：熱伝導率測定

第Ⅲ-5図(4)

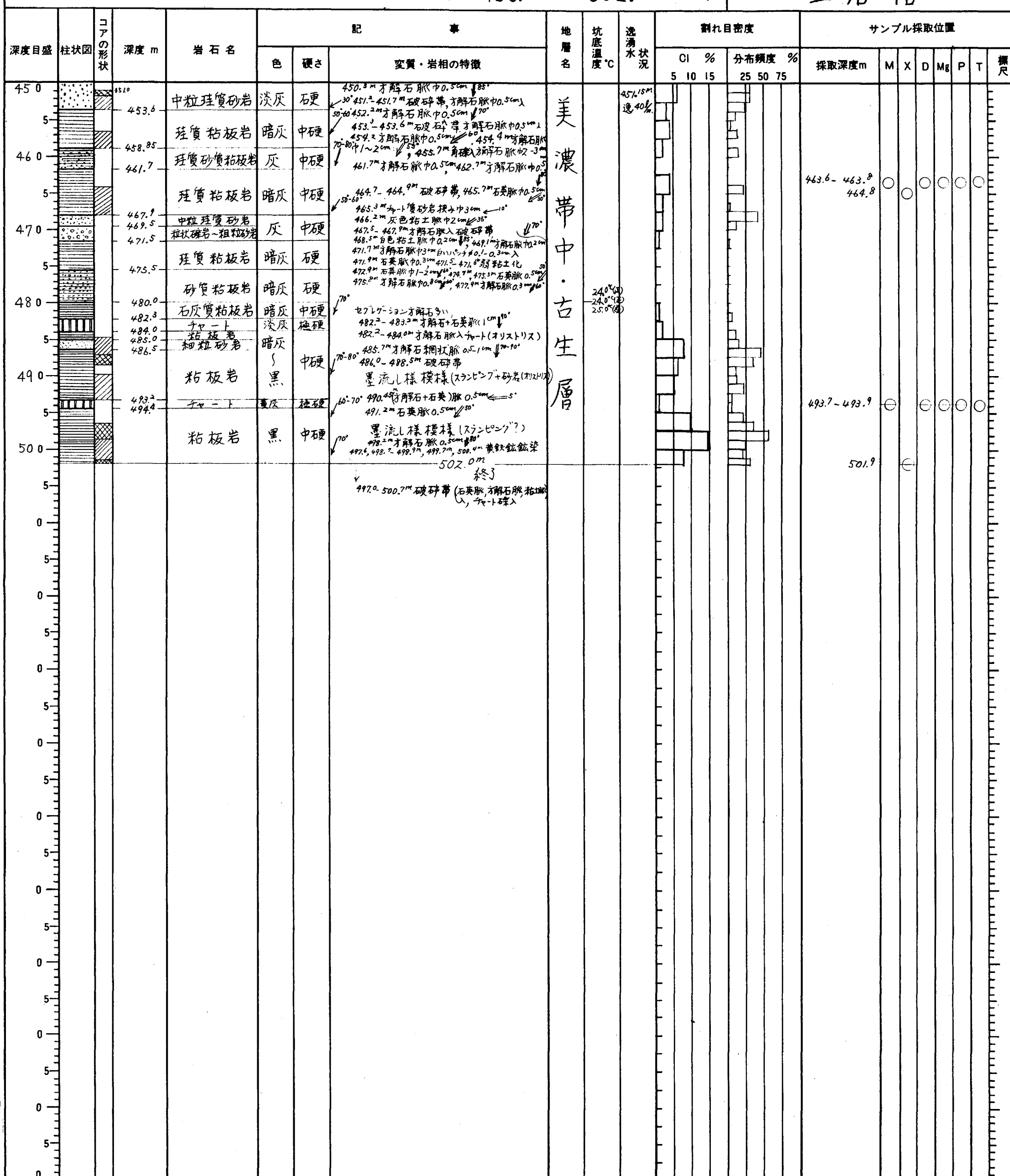
### 試 錐 地 質 柱 状 図(1/500)

会社名 三井金属資源開発株式会社

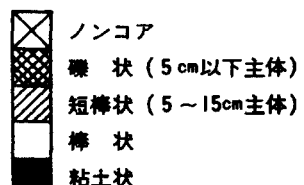
王漣 地域 OT-5 号 No. 4

( 450.0 m ~ 502.0 m )

技術者名　土居信一



コアの形状凡例



20° 地層の傾斜

15° 割れ目の傾斜

$$CI = \frac{1}{d} \cdot \frac{\sum L_o}{L_o} \cdot 100$$

割れ目密度(%)

割れ目帯の長さの合計(cm)

観察したコア長(cm)

$d = 5$ (5mm 間隔の割れ目)

八六標志(%)

### 5cm以下の開口の割れ目

500

### 測定項目凡例

M：阿爾敏

X：粉末X線回折分析

D：密度測定

Mg·密度测定

#### Mg²⁺ 帶速率測定

T：弹性波速度测定

### (1) 美濃帯中・古生層

本層は N61-OT-5 の 292.20~502.00m (坑底) 間に出現した。珪質粘板岩、砂岩、砂質粘板岩・砂岩互層から構成される。粘板岩は暗灰色~黒色を呈し、時に砂岩のレンズを挿在する。層理はかなり明瞭であり、水平方向を  $0^{\circ}$  とすると、層理面は  $50^{\circ} \sim 75^{\circ}$  と変化に富み、 $85^{\circ}$  を示す部分もある。砂質粘板岩・砂岩互層はコア長 1.5~5m 程度の間隔をもって砂岩、粘板岩が交互に出現する。チャートは淡灰~黄灰色を呈し、緻密堅硬で、層内褶曲が著しく、層理面の方向は変化する。泥質薄層を挿在する事が多く、墨流し様の模様を呈する部分がある。変質作用は非常に弱く、下部の粘板岩中に発達する黄鉄鉱鉱染及び方解石脈・石英脈が数本認められたに過ぎない。

### (2) 御岳第1期火山岩類

本調査井の最上部に存在する。スコリア礫を含む火山灰層、灰色~帶褐暗灰色の火山角礫岩、凝灰角礫岩及び複輝石安山岩溶岩からなる。火山角礫岩の礫はスコリア礫及び安山岩礫からなり、その径は 2~15cm、時に 40cm に達する。礫は角礫状~亜角礫状を呈し、淘汰は良くない。基質は凝灰質で礫の比率は約 50% である。複輝石安山岩溶岩はやや多孔質で、57m 付近で垂直方向の流理構造が認められる。本調査井深度 229.5~292.2m 間に淘汰の悪い安山岩礫を多量に含む河床堆積砂・礫層が出現した。

## 2. 変 質

コア観察結果による変質状況は以下のとおりである。

御岳火山岩類についてはほとんど変質は認められなかった。美濃帯中・古生層については弱綠泥石化及び弱珪化が認められたが、本調査井は、昭和 60 年度の N60-OT-1, N60-OT-2 等に比較すると変質の度合いはさらに低く、地熱微候地帯の変質作用は認められない。

### (1) 美濃帯中・古生層

本調査井は全般に方解石脈は認められるが、幅 0.1~2cm 程度で細脈が多い。下部に行くにしたがって石英脈も認められるが、脈幅及び数量に関しては小さくかつ乏しい。

## 3. 割れ目の発達状況

本調査井は全般に割れ目に乏しい坑井である。割れ目の発達状況を地層別に述べる。

### • N61-OT-5

御岳火山岩類は、複輝石安山岩溶岩及び火山碎屑岩からなっているが、割れ目はやや発達している。火山碎屑岩の基質は未固結である。透水性も良いと考えられ、逸水カ所が多い。その下位の美濃帯中・古生層はそれ程割れ目が発達していない。下部の 485~500m 間のチャート付近に連続した割れ目帯が顕著に見られる以外、割れ目の発達は悪い。

#### 4. 考 察

地熱探査の究極の目標は、地表下2,000m以浅に新期マグマ活動の所産である熱水対流系の地熱貯留層を捕捉する事である。

調査井N61-OT-5が実施された地下浅所には、地質状況、変質作用の種類・強さ・広がり及び割れ目の発達状況からみて、地熱貯留層賦存の可能性が極めて小さいと判断される。

以下に変質、コア中の割れ目の発達及び坑底温度(ST 120時間)から地熱貯留層の可能性について考察する

- N61-OT-5

御岳火山岩類は地表から浅所に分布していて地熱貯留層とはなり得ないので、その下位の美濃帶中・古生層について考察する。

本坑の美濃帶中・古生層は部分的に弱珪化作用及び方解石細脈が認められ、割れ目の発達は小規模ではあるが下部のチャート周辺に認められる。しかしながら弱珪化作用及び方解石細脈はいずれも割れ目沿い又は脈状の小規模なもので、変質帯としての評価は小さい。本坑の砂岩及び粘板岩は割合均質緻密であり、割れ目もなく、地熱貯留層となり難い性質を示す。

検層で得られた本坑の最高温度(ST 120時間)は深度501.1mにおける21.2°Cであり、又平均地温勾配は3.2°C/100mに過ぎない。また、坑底付近で温度勾配が増大する徴候もみられない。これらの温度調査結果は、地熱貯留層が存在しても、その賦存深度が極めて大きいことを意味する。

## III - 2 溫度検層

### 1. 測定方法

裸孔時の坑内温度測定は、第1段を除くケーシングパイプ挿入前に実施した。温度検層システムを第III-6図、第III-7図及び第III-2表に示す。

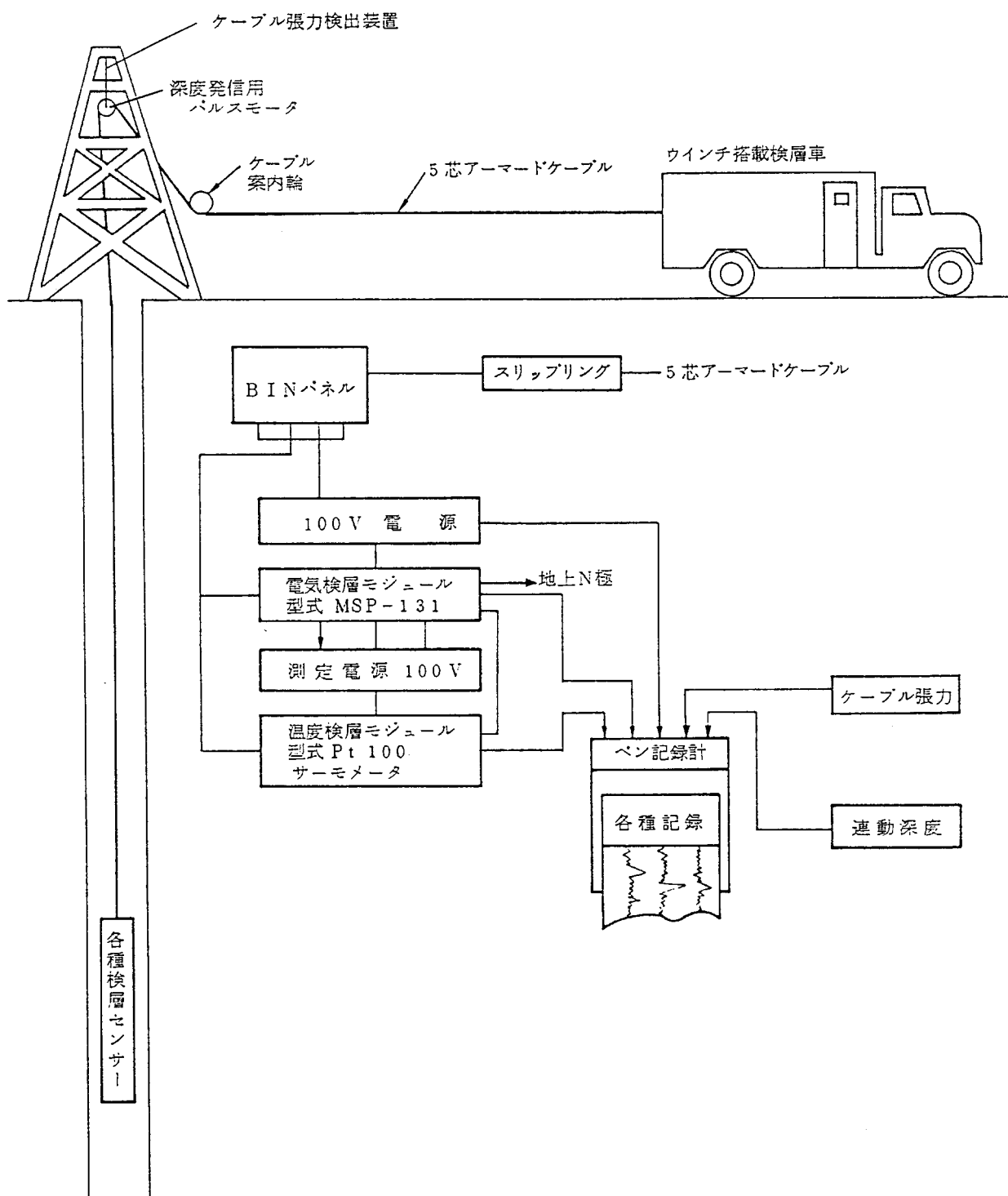
温度回復試験は最終段ケーシングパイプを挿入後、坑内洗浄と冷却を行った後に合計3回の坑内温度測定を実施した。

記録速度はいずれも10m／分以下で温度計下降時に測定した。

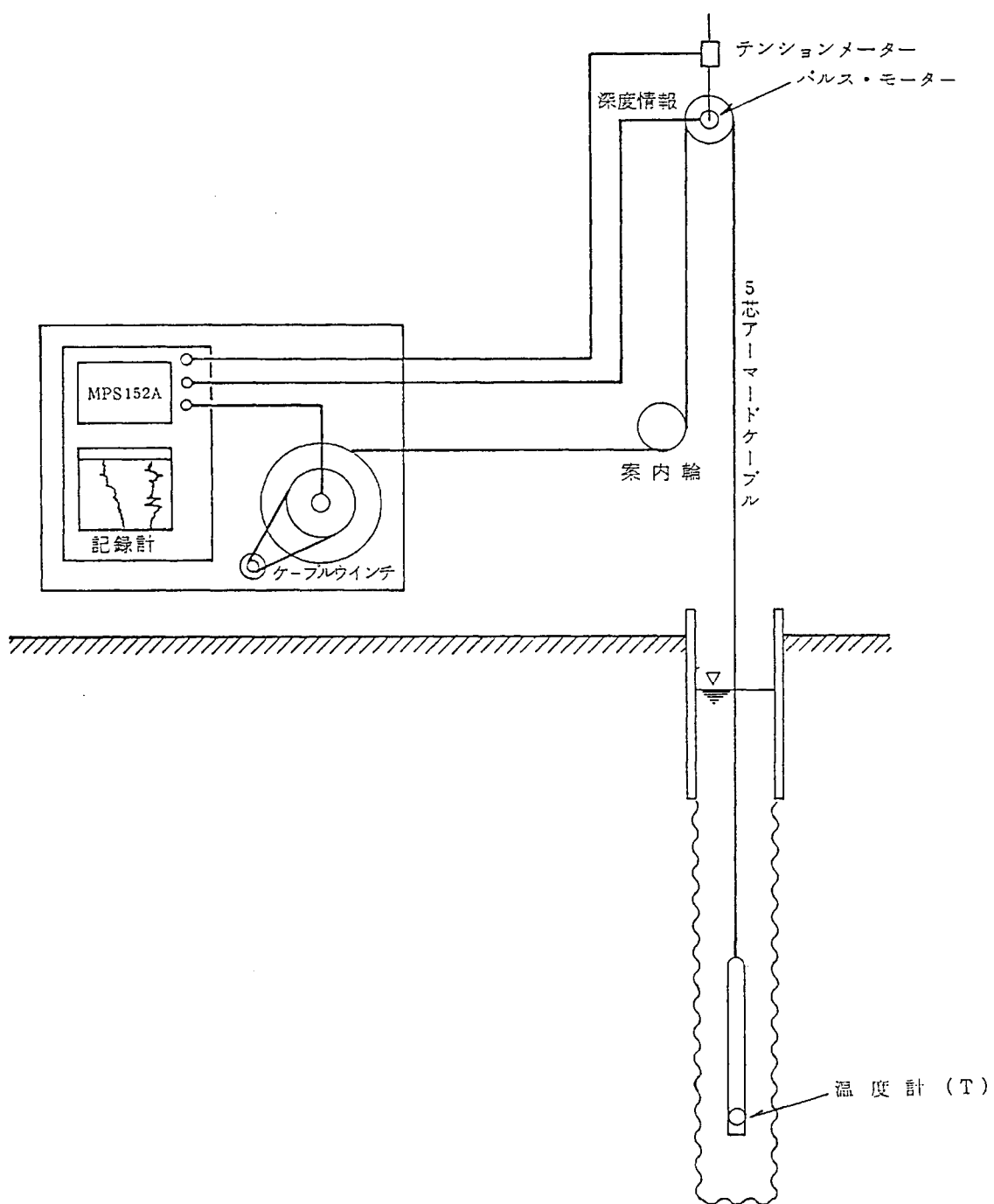
### 2. 測定結果

裸孔時及び温度回復試験の実施状況を第III-3表及び第III-4表に示す。

測定結果を第III-8図、第III-9図及び第III-5表に示す。



第III-6図 坑内検層システム図



第III-7図 溫度検層測定機器配置図

第III-2表 坑内検層測定装置一覧表

測定種目	機器	種別	製造元	仕様
共通	物理検層車	いすゞエルフバン	いすゞ自動車工業(株)	軽油 総重量 3t 測定可能深度 2,600 m
	巻上げ装置	3,000 m級油圧ウインチ	開発工業(株)	自動車エンジンのパワーテークオフ
	ケーブル	5芯アーマードケーブル	ROCHESTER (U.S.A.)	外径 8.1mm 使用温度 315 °C以下
	記録計	R-304型ペンレコーダー	理化電機工業(株)	素子 4ペン 紙送り パルスエンコダー連動
温度検層	温度検層機	MPS-152A	大阪電波(株)	測定範囲 0~300°C 信号出力電圧 0~10V
	電極	白金測温抵抗体 (4線式 pt100)	開発工業(株)	外径 45mm 全長 1.5m 時定数 0.2sec
電気検層	電気検層機	MPS-131	大阪電波(株)	比抵抗レンジ 10~5,000 Ω・m 自然電位 レッジ 25~500mV
	電極	KES-5	開発工業(株)	外径 45mm 全長 1.7m 電極間隔 25cm, 100cm 耐熱温度 260 °C

第III-3表 N61-OT-5 裸孔時温度検層実施状況

調査井名	測定年月日 外気温度	坑長 坑径	送水停止時間 ST(h:m)	ケーシングパイプ	測定時間 (h:m)	水位 (m)
				挿入状況 深度 ケーシング径		
N61-OT-5	S 62. 06. 17 17.4 °C	100m 101mm	16日 20:00 15h15m	30.0 m 114.3mm	11:15 ~ 11:29	19.5m
	S 62. 07. 06 19.8 °C	205m 76mm	6日 0:20 9h45m	30.0 m 114.3mm	10:05 ~ 10:23	151.0m
	S 62. 08. 02 18.2 °C	502m 76mm	1日 22:30 2h30m	205 m 60.5mm	1:00 ~ 1:51	80.0m

第III-4表 N61-OT-5 溫度回復試験実施状況

坑名	N61-OT-5			
送水停止日時	S62. 08. 04 9:00			
測定坑長	501.1m			
ケーシングパイプ	0 ~114.40m 3"			
挿入状況	92.50~502.00m 2"			
外径，深度	294.34~496.54m 孔明管			
孔明管挿入状況	294.34~496.54m			
測定No.	S.T.	測定日時	外気温(℃)	水位(m)
第1回	4H	S62. 08. 04 13:00~13:57	23.5 ℃	154.0m
第2回	48H	S62. 08. 06 9:00~ 9:52	20.3 ℃	154.2m
第3回	120H	S62. 08. 09 9:00~10:01	20.5 ℃	154.4m

第III-5表(1) N61-OT-5 温度測定結果一覧表

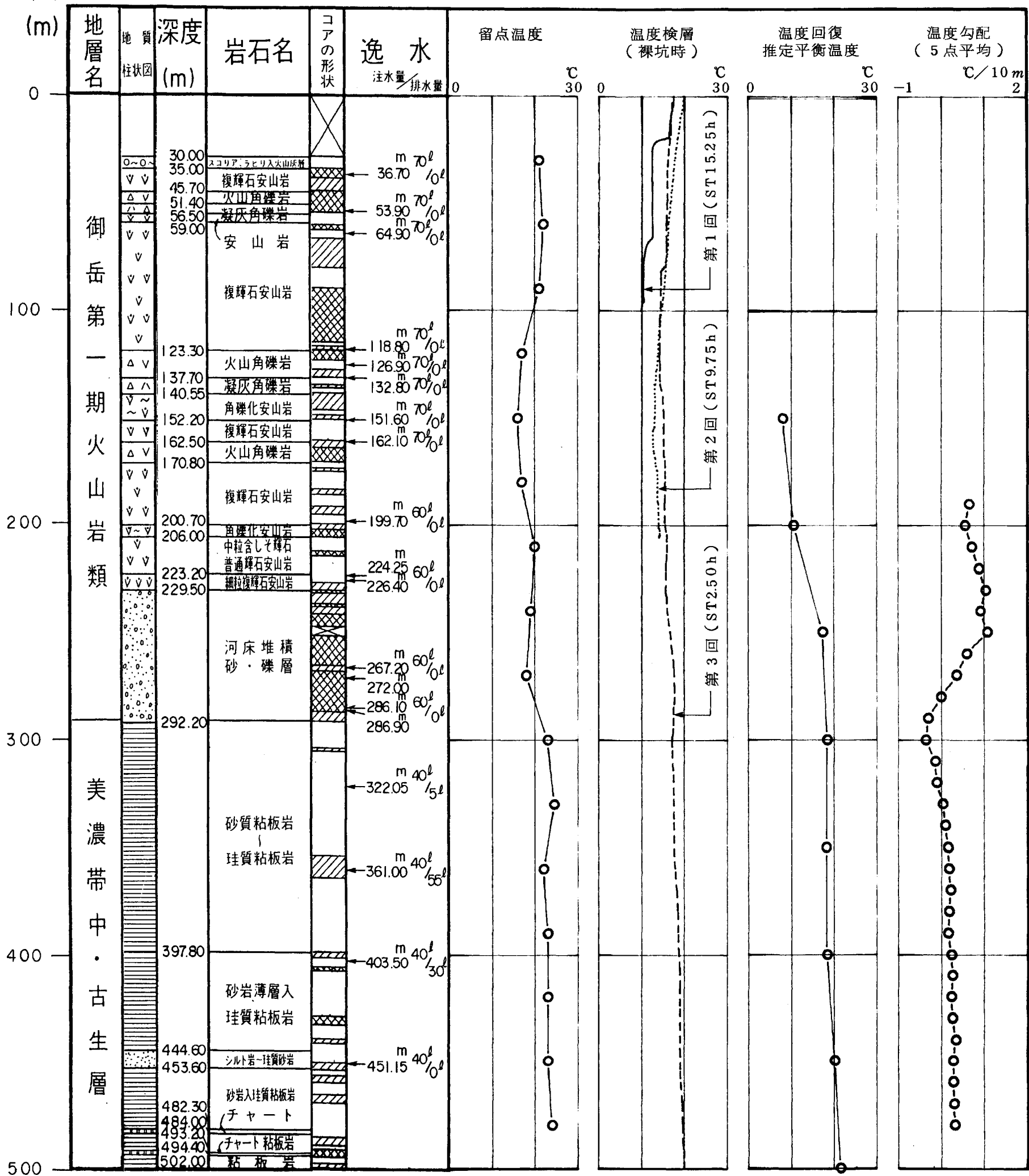
測定回数	留点温度 °C	裸 坑 時			温 度 回 復 試 験			5点平均最終 温 度 勾 配 (°C/10m)
		1	2	3	1	2	3	
測定月日		62/06/17	62/07/06	62/08/02	62/08/04	62/08/06	62/08/09	
外 気 温		17.4°C	19.8°C	18.2°C	23.5°C	20.3°C	20.5°C	
ポンプ停止後時間		15:15	9:45	2:30	4:00	48:00	120:00	
水 位		19.5m	151m	80.0m	154.0m	154.2m	154.4m	
深 度 (m)	0	17.4	19.8	17.2	20.9	19.0	18.5	
	10	16.6	18.7	16.9	20.3	18.3	17.9	
	20	14.0	18.0	16.3	19.5	17.7	17.0	
	30	21	12.3	17.4	16.0	18.8	17.1	16.3
	40		12.7	16.8	15.9	18.3	16.6	15.7
	50		12.6	16.3	15.8	17.8	16.2	15.3
	60	22	12.7	15.9	15.8	17.4	15.9	14.9
	70		10.8	15.5	15.7	16.9	15.5	14.5
	80		10.2	15.2	15.0	16.4	15.0	14.0
	90	21	10.1	14.6	14.3	16.0	14.6	13.5
	100		9.4	14.1	14.2	15.2	14.1	13.0
	110		(100.0m)	13.5	14.3	14.6	13.6	12.4
	120	17		13.1	14.3	14.1	13.2	11.9
	130			12.8	14.6	13.7	12.8	11.6
	140			12.7	15.2	13.3	12.5	11.3
	150	16		12.7	15.4	13.1	12.2	11.1
	160			12.5	15.3	12.4	10.8	10.6
	170			13.3	15.7	13.1	11.1	10.5
	180	17		13.4	15.3	13.7	11.6	11.1
	190			13.7	15.5	14.1	11.9	11.4
	200			14.0	15.7	14.7	12.6	12.0
	210	20		14.0	16.2	15.3	14.1	13.9
	220			(205.0m)	15.7	15.5	13.6	13.3
	230				15.8	16.3	14.9	14.7
	240	19			16.4	16.8	15.9	15.8
								0.92

第三 - 5 表 (2) N61-OT-5 温度測定結果一覧表

250		17.0	17.4	17.1	17.2	1.08
260		17.6	17.6	18.2	18.5	0.60
270	18	17.9	17.4	18.0	18.7	0.36
280		17.7	17.2	17.1	17.7	0
290		17.5	17.2	17.0	17.6	-0.30
300	23	17.2	17.2	16.5	17.2	-0.36
310		17.4	17.3	16.5	17.0	-0.14
320		17.5	17.3	16.5	16.9	-0.10
330	24	17.7	17.5	16.6	17.0	0.04
340		17.8	17.7	16.8	17.1	0.10
350		17.8	17.8	16.9	17.4	0.16
360	22	17.9	18.0	17.2	17.5	0.18
370		18.2	18.2	17.5	17.7	0.22
380		18.3	18.2	17.5	17.9	0.18
390	23	18.5	18.4	17.7	18.2	0.16
400		18.6	18.7	18.2	18.3	0.24
410		18.7	18.9	18.4	18.3	0.26
420	23	18.9	19.1	18.6	18.9	0.24
430		19.0	19.2	19.0	19.2	0.26
440		19.0	19.4	18.9	19.4	0.34
450	23	19.1	19.3	19.1	19.6	0.28
460		19.3	19.9	19.7	20.0	0.28
470		19.6	20.3	20.1	20.3	0.30
480	24	19.8	20.4	20.1	20.6	0.32
490		20.0	20.7	20.6	20.9	
500		20.4	21.0	20.8	21.2	
		20.6	21.0	20.9	21.2	
		(502m)	(501.1m)	(501.1m)	(501.1m)	

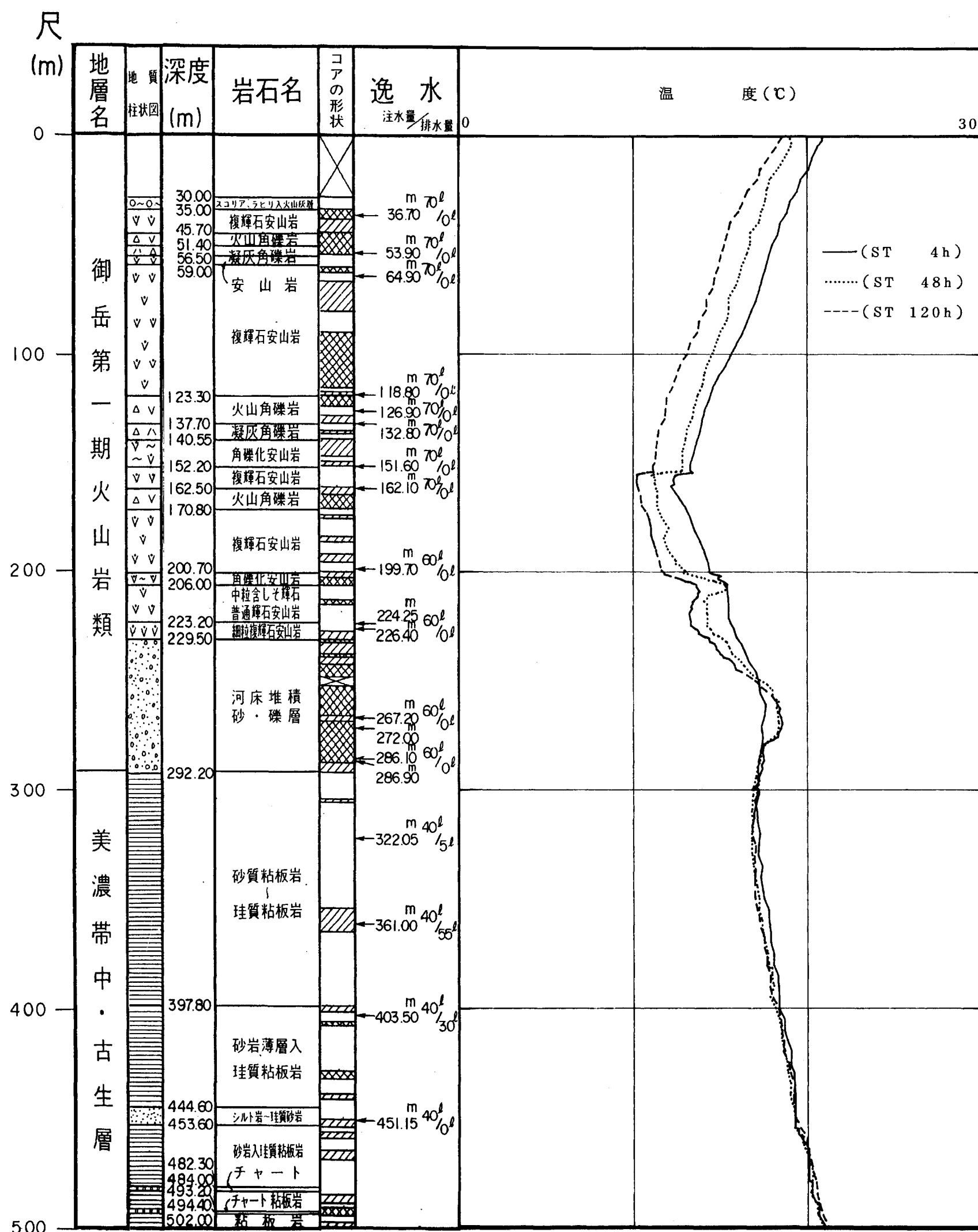
標

尺



第III-8図 N61-OT-5 温度検層図

標



第III-9図 N61-OT-5 温度回復試験図

### (1) 裸孔時温度検層

大局的には深度と共になめらかな温度上昇がみられる。以下に裸孔時温度検層結果を示す。

温 度 急 变 部	凸部 	深度 198m～225m付近	約1°Cの凸状増加	御岳第1期火山岩類角礫化安山岩及び中粒含しそ 輝石普通輝石安山岩	この付近に199.7 ～286.9m間に数ヶ 所の逸水が認めら れる。
		深度 225m～305m付近	約2°Cの凸状増加	御岳第1期火山岩類細粒複輝石安山岩、河床堆積 砂礫層、美濃帯中・古生層、砂質粘板岩～珪質粘 板岩	
坑底 温度	深度 502.0m 20.6°C				

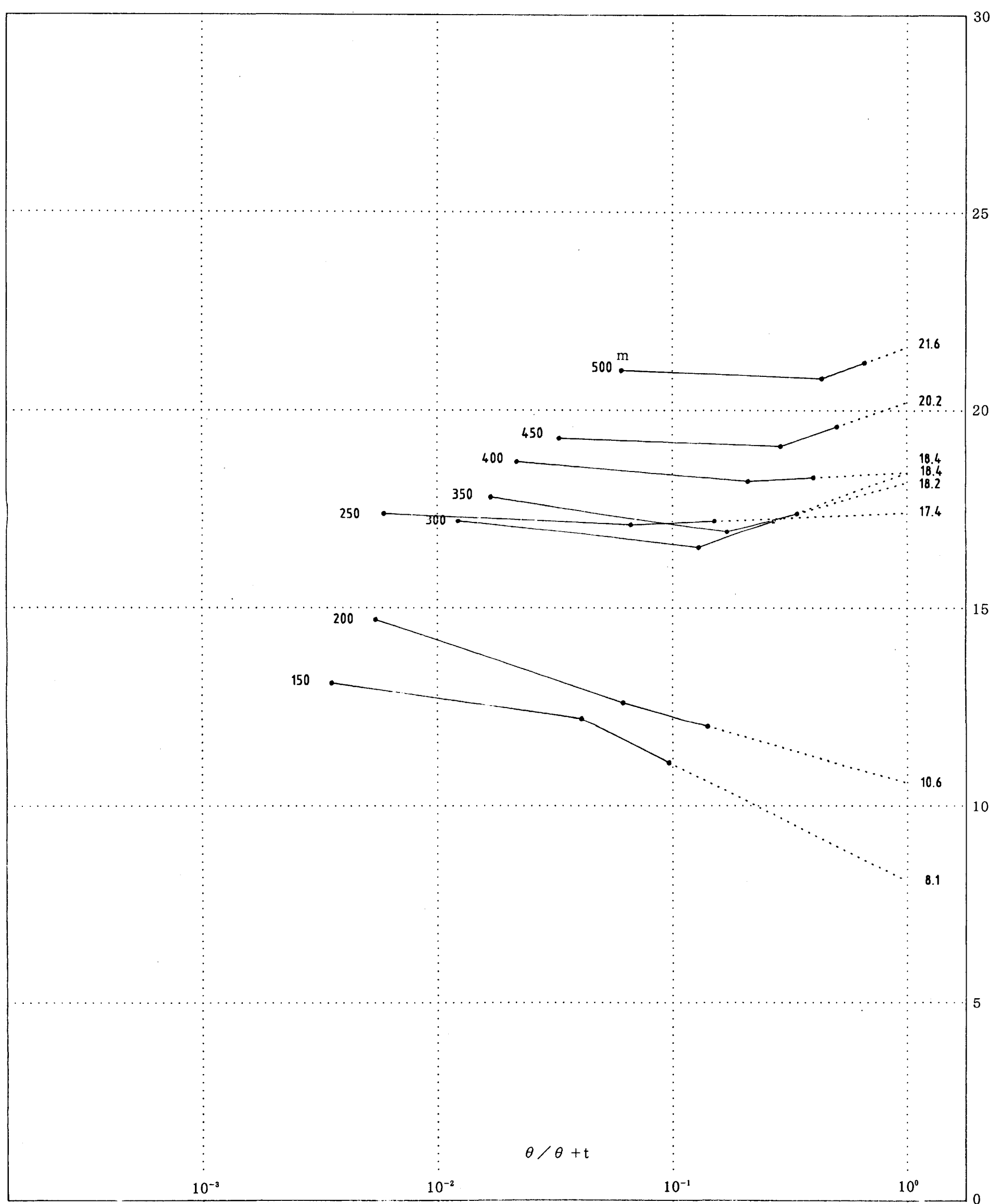
### (3) 温度回復試験

平衡温度推定結果を第III-10図及び第III-6表に示す。

第III-5表温度測定結果一覧表の右覧のST120Hにおける5点平均最終温度勾配を大略区分し、また同表下覧の坑底温度及び第III-6表の推定平衡温度につき抜き出して示す。

裸孔時		温度回復試験			平均温度勾配による 区 分 深 度	S T 120 H おける 5点平均温度勾配	特 微
		4H	48H	120H			
					深度 190m～270m 深度 280m～320m 深度 330m～480m	0.36°C／10m～ 1.08°C／10m 平均 0.76°C／10m -0.36°C／10m～ 0°C／10m 平均 -0.18°C／10m 0.04°C／10m～ 0.34°C／10m 平均 0.22°C／10m	このうち 210m付近、230～260m付近に 1.5°C／10m程度の増温部が認められる。 御岳第1期火山岩類～美濃帯中・古生層に 変化する付近で負の温度勾配が生じて いる。
最高温度／深度	20.6°C／ 502.0m	21.0°C／ 501.1m	20.9°C／ 501.1m	21.2°C／ 501.1m			平均温度勾配 0.32 (水位 154.4m以深) °C／10m
坑底温度／深度	20.6°C／ 502.0m	21.0°C／ 501.0m	20.9°C／ 501.1m	21.2°C／ 501.1m			
推 定 平 衡 温 度 / 深 度				21.6°C／ 500.0m	S T 4HからS T 48Hで温度が低下している。 S T 48HからS T 120Hでは 250m以深で温度上昇が認められる。		

(°C)



第III-10図 N61-OT-5 温度回復曲線図

第III-6表 N61-OT-5 平衡温度推定表

深 度 (m)	t (H)	送水停止後 の時間 (θ)	項目	4 H	48H	120H	最終平衡温度 (°C)
150	1123.0	$\theta / (\theta + t)$		0.0035	0.0410	0.0965	8.1
		温 度 °C		13.1	12.2	11.1	
200	730.5	$\theta / (\theta + t)$		0.0054	0.0617	0.1411	10.6
		温 度 °C		14.7	12.6	12.0	
250	675.3	$\theta / (\theta + t)$		0.0059	0.0664	0.1509	17.4
		温 度 °C		17.4	17.1	17.2	
300	323.5	$\theta / (\theta + t)$		0.0122	0.1292	0.2706	18.4
		温 度 °C		17.2	16.5	17.2	
350	232.5	$\theta / (\theta + t)$		0.0169	0.1711	0.3404	18.2
		温 度 °C		17.8	16.9	17.4	
400	180.0	$\theta / (\theta + t)$		0.0217	0.2105	0.4000	18.4
		温 度 °C		18.7	18.2	18.3	
450	117.5	$\theta / (\theta + t)$		0.0329	0.2900	0.5053	20.2
		温 度 °C		19.3	19.1	19.6	
500	62.0	$\theta / (\theta + t)$		0.0606	0.4364	0.6593	21.6
		温 度 °C		21.0	20.8	21.2	

### 3. 考 察

送水停止後 120 時間経過の温度検層につき考察する。

#### ( i ) 坑底温度, 平均温度勾配

(3) 温度回復試験で述べたように以下の値となった。

	坑底深度 ( m )	坑底温度 ( °C )	平均温度勾配※ ( °C / 100m )
N61-O T - 5	501.1	21.2	3.2

※ 水位以深につき計算

#### ( ii ) 地層別の温度勾配

	N61-O T - 5
御岳第1期火山岩類	5.9°C / 100m
美濃帯中・古生層	1.2°C / 100m

#### ( iii ) 考 察

裸孔時の温度検層の結果、深度 199.7m～286.9m 間の逸水ヶ所に対応したと思われる温度增加部が認められたが、1°C～2°C の上昇であり規模が小さい。

温度回復試験 (ST120H) において、深度 280～320m 付近に負の温度勾配のヶ所が存在し、御岳第1期火山岩類～美濃帯中・古生層に変化する付近に相当する。

以上の区間で地下水の流動が考えられるが、坑底温度は低く、温度勾配に異常と云えるような測定値は得られなかった。

### III - 3 電気検層

#### 1. 測定方法

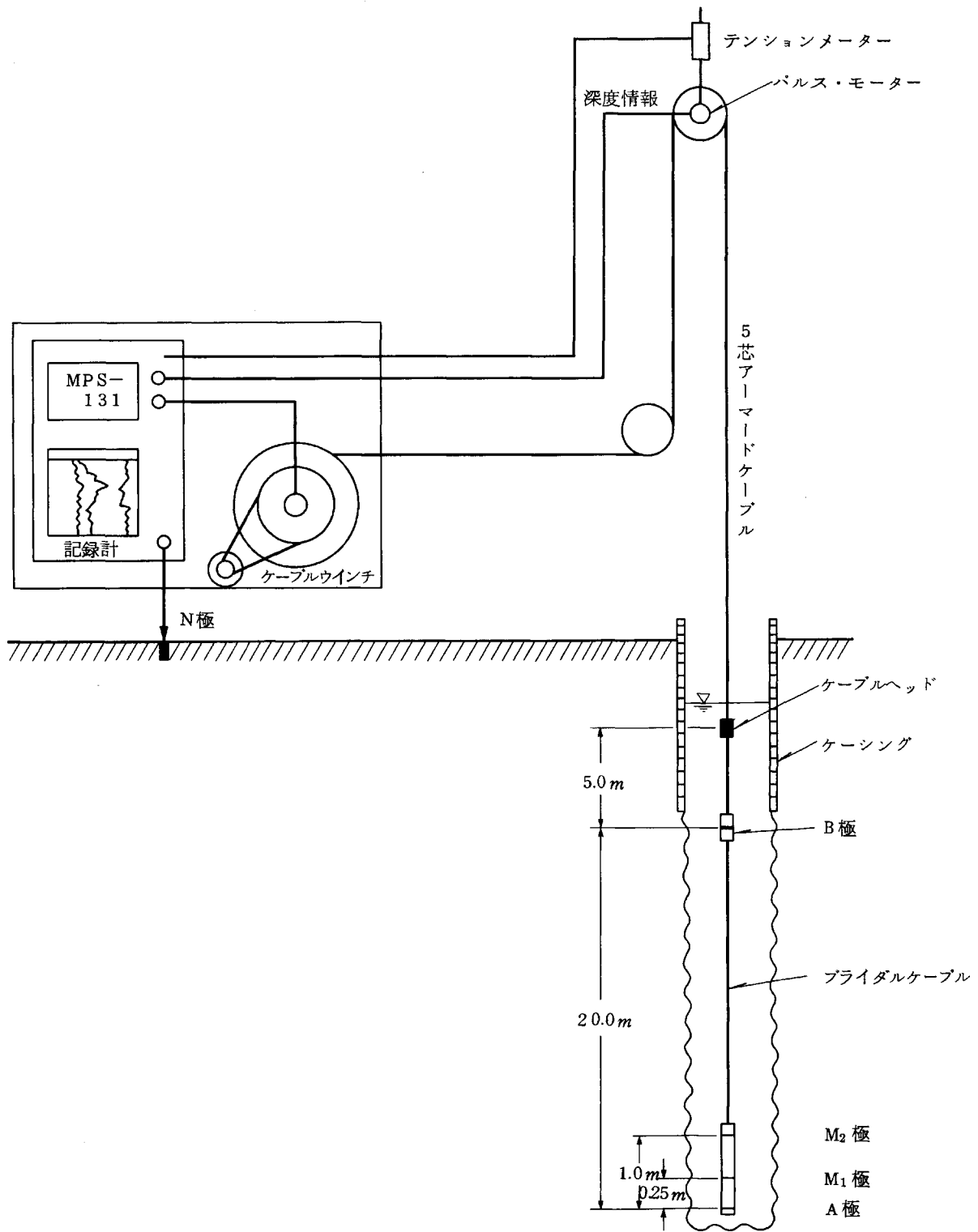
電気検層は各段ケーシングパイプを挿入後、それ以深につき実施した。電気検層システムを第III-11図及び第III-2表に示す。記録速度は20m／分以下でゾンデ上昇時に測定した。

比抵抗測定はA・B両電極間に20Hz, 10mAの矩形波を流し、AM1（ショートノルマル, SN）及びAM2（ロングノルマル,LN）間の電位差を測定した。測定した電位差は比抵抗に換算し、ショートノルマル及びロングノルマルにつき、各々AM1及びAM2の中点の深度に表示した。

自然電位（SP）測定は、比抵抗測定と同時にNM1電極間の電位差を測定し、M1の深度に表示した。

#### 2. 測定結果

実施状況を第III-7表に示し測定結果を第III-12図に示す。



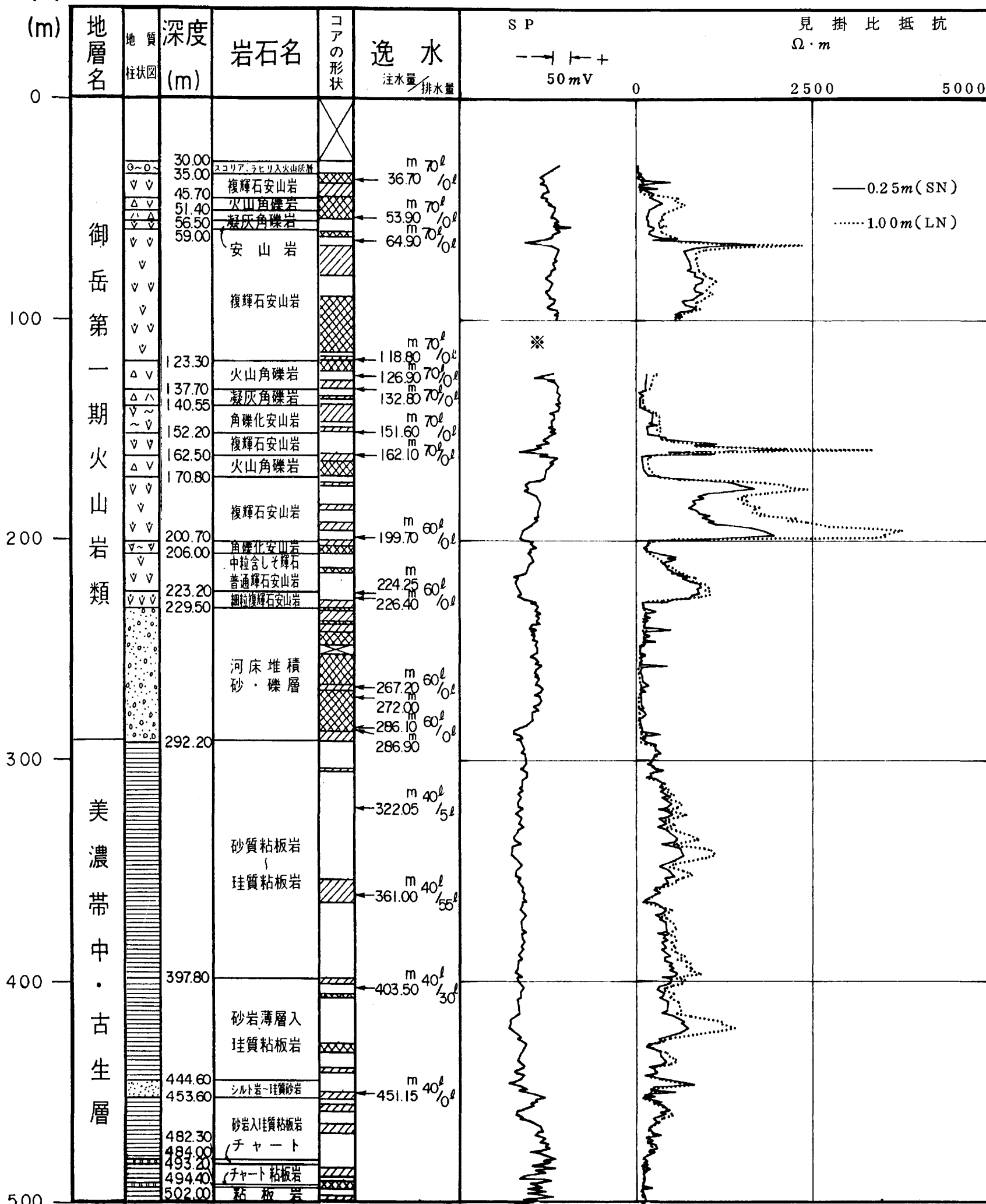
第三-11図 電気検層測定機器配置図

第三-7表 N61-OT-5 電気検層実施状況

	第 1 回	第 2 回	第 3 回
掘削終了	S 62. 06. 16	S 62. 07. 05	S 62. 08. 01
測定月日	S 62. 06. 17	S 62. 07. 06	S 62. 08. 02
天候・気温	晴 17.4°C	晴 19.8°C	晴 18.2°C
坑長	100.0 m	205.0 m	502.0 m
上部ケーシング	30.0 m	30.0 m	205.0 m
測定区間	30.0~100.0 m	124.2~205.0 m	205.0~502.0 m
坑径	101.0 mm	76.0 mm	76 mm
測定時水位	19.5 m	124.2 m	77.5 m
泥水比抵抗/温度	14.4Ω・m/21.0°C	14.6Ω・m/22.5°C	16.3Ω・m/18.0°C
泥水	B X	B X	B X
比重/粘速	1.02/38	1.02/38	1.02/25
測定時間	10:30~10:43	11:15~11:26	2:30~2:55
測定速度	7.7m/min	7.3m/min	9.9m/min
備考		温度検層時、水位が151.0mであったので、注水を行い、水位を124.2mに上昇させた後に測定した。	

標

尺



※ 第2回電気検層時の水位は、温度検層時に水位が151.0mであったので、注水を行い、水位を124.2mに上昇させた後に測定した。

### 第III-12図 N61-OT-5 電気検層図

深 度	65m附近	等 电 位	-100mV	1m以下の電場強度(mV/m)	電 場 的 性 質	説明事項
深 度	125m附近	等 电 位	-80mV	-100mV	説明事項	説明事項
深 度	160m附近	等 电 位	-60mV	-100mV	説明事項	説明事項
深 度	175m附近	等 电 位	-50mV	-50mV	説明事項	説明事項
深 度	198m附近	等 电 位	-50mV	-50mV	説明事項	説明事項
深 度	220m附近	等 电 位	-50mV	-50mV	説明事項	説明事項
深 度	298m附近	等 电 位	-20mVの範囲	>-25mV～-50mVの範囲。この範囲は深さ電場の変化が認められていません。	説明事項	説明事項
深 度	420m附近	等 电 位	-20mVの範囲	-25mV～-50mVの範囲。この範囲は深さ電場の変化が認められていません。	説明事項	説明事項
深 度	447m附近	等 电 位	-100mV	-50mV～-100mVの範囲。	説明事項	説明事項
深 度	461m附近	等 电 位	-100mV	-50mV～-100mVの範囲。	説明事項	説明事項
深 度	475m附近	等 电 位	-100mV	-50mV～-100mVの範囲。	説明事項	説明事項

第三-8表 N61-OT-5 自然電位検査結果

自然電位(SP)は-117C, 変化部分は次の特徴如下る。^{第三-8表記述}

(1) 自然電位

## (2) 比 抵 抗

ロングノルマル (LN) について、比較的長周期の変化に着目して大略区分し、その区分毎の特徴につき第III-9表に述べる。

第III-9表 N61-OT-5 比抵抗検層結果

深 度 30m～ 63m付近	坑 径 101.0mm	S N : 200Ω・m, L N : 300Ω・m	御岳第1期火山岩類 スコリヤ、ラビリ入火山灰層、複輝石安山岩、火山角礫岩 凝灰角礫岩、安山岩
深 度 63m～ 100m付近	坑 径 101.0mm	S N : 300Ω・m, L N : 1000Ω・m	" 複輝石安山岩
深 度 124m～ 153m付近	坑 径 76.0mm	S N : 150Ω・m, L N : 200Ω・m	" 火山角礫岩、凝灰角礫岩、角礫化安山岩
深 度 153m～ 228m付近	坑 径 76.0mm	S N : 700Ω・m, L N : 1200Ω・m	" 複輝石安山岩、火山角礫岩、角礫化安山岩、 中粒含しき輝石普通輝石安山岩、細粒複輝石安山岩
深 度 228m～ 293m付近	坑 径 76.0mm	S N : 100Ω・m, L N : 100Ω・m	" 河床堆積砂礫層
深 度 293m～ 480m付近	坑 径 76.0mm	S N : 350Ω・m, L N : 500Ω・m	美濃帶中・古生層 砂質粘板岩～珪質粘板岩、砂岩縞層入珪質粘板岩、シルト岩～珪質砂岩、砂岩入珪質粘板岩
深 度 480m～ 502m付近	坑 径 76.0mm	S N : 100Ω・m, L N : 100Ω・m	" チャート、粘板岩
			御岳第1期火山岩類 平均 S N 417Ω・m, L N 624Ω・m
			美濃帶中・古生層 平均 S N 325Ω・m, L N 460Ω・m

### 3. 考 察

#### ( i ) 地層別の比抵抗の対比

地層別の比抵抗平均値を以下に示す。

地 層	N61-O T - 5		
	層 厚 (m)	ショートノルマル (Ω・m)	ロングノルマル (Ω・m)
御岳第1期火山岩類	262	417	624
美濃帶中・古生層	210	325	460

比抵抗平均値において御岳第1期火山岩類と美濃帶中・古生層で差がみられる。

#### ( ii ) 自然電位と地質・逸水との対比

深度292m以浅の御岳第1期火山岩類は数mVで短周期の振れが認められ、深度65m, 126m, 160m, 175m, 198m及び220m付近に-50~-100mVのスパイク状の振れがみられる。これらのスパイク状の振れは深度175mを除いて逸水ヶ所と対応している。

深度298m付近でベースラインが-50mV程度ずれ、短周期の振れが減少している。深度447~461mで正負に50~100mV振れながらベースラインが+100mVずれる乱れが生じている。この付近も逸水ヶ所に対応している。深度322.05m~403.50mの逸水ヶ所は自然電位に顕著な変化は認められない。

### III - 4 注水試験

#### 1. 試験方法

坑内洗浄・冷却後、予備注水試験を行った。その結果  $40 \text{ l}/\text{分}$  の注水に対し、戻りは 0 であった。従って坑内水位の変動はあっても、注水量  $40 \text{ l}/\text{分}$  程度が孔明管を通して、逸水層に注水されたと考え、自然注水による注水試験を行った。

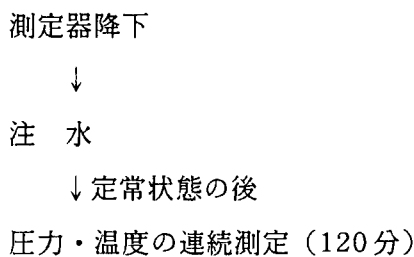
##### ( i ) 自然注水試験

###### (1) 試験要領

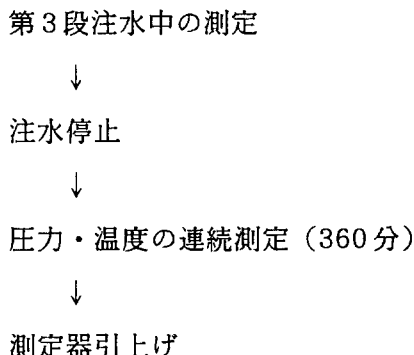
坑内の逸水が最も大きい箇所の上部に測定器を降下し、注水量を増す方向に 3 段階に変化させ、このときの圧力と温度を連続測定する。

###### a) 注水中の測定

第 1 段（注水量  $q_1$ ）、第 2 段（注水量  $q_2 > q_1$ ）及び第 3 段（注水量  $q_3 > q_2$ ）の各々につき以下の工程で行う。



###### b) 注水停止後の測定

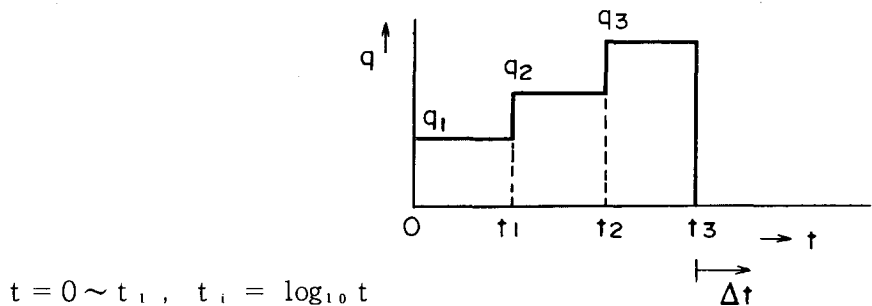


###### (2) データ処理要領

以下に示す換算時間に対し、各段階注水中の単位流量当りの圧力上昇及び注水停止後の圧力降下をプロットする。

a) 注水中の換算時間

図のように第1段、第2段及び第3段の注水量を各々  $q_1$ 、 $q_2$  及び  $q_3$ 、注水時間を注水開始より  $t_1$ 、 $t_2$  及び  $t_3$  とし、換算時間  $t_i$  を以下のように算出する。



$$t = t_1 \sim t_2, \quad t_i = \frac{q_1}{q_2} \log_{10} t + \frac{q_2 - q_1}{q_2} \log_{10} (t - t_1)$$

$$t = t_2 \sim t_3,$$

$$t_i = \frac{q_1}{q_3} \log_{10} t + \frac{q_2 - q_1}{q_3} \log_{10} (t - t_1) + \frac{q_3 - q_2}{q_3} \log_{10} (t - t_2)$$

b) 注水停止後の換算時間

注水停止より測った時間を  $\Delta t$  とし、換算時間  $t_i$  を以下のように算出する。

$$t = t_3 \sim, \quad t_i = \frac{q_1}{q_3} \log_{10} \left( \frac{t_3 + \Delta t}{t_3 - t_1 + \Delta t} \right) + \frac{q_2}{q_3} \log_{10} \left( \frac{t_3 - t_1 + \Delta t}{t_3 - t_2 + \Delta t} \right) + \log_{10} \left( \frac{t_3 - t_2 + \Delta t}{\Delta t} \right)$$

c) 浸透率・層厚積の算出

換算時間に対する単位流量当りの圧力上昇及び圧力低下のプロットから、勾配  $m_i$  及び  $m_t$  を求め、以下のように算出する。

$$\text{注水中} \quad K h = \frac{2.303 \cdot \mu}{4 \cdot \pi \cdot m_i} \times 10^{12} (\text{darcy} \cdot \text{m})$$

$$\text{注水停止後} \quad K h = \frac{2.303 \cdot \mu \cdot q_3}{4 \cdot \pi \cdot m_t} \times 10^{12} (\text{darcy} \cdot \text{m})$$

$Kh$  ; 浸透率・層厚積

$\mu$  ; 粘性係数 ( $P_a \cdot s$ )

$q_3$  ; 第3段注水量 ( $m^3/s$ )

$m_i, m_t$  ; 勾配 ( $P_a/cycle$ )

### ( ii ) 温度検層

圧力測定と同時に温度測定を行ったほか、第1段及び第2段注水中の注水試験後に各々温度検層を行った。

## 2. 試験結果

坑井の状況は以下のようである。

フルホールセメンティング区間	0~30.0m
孔明管挿入区間	294.34~496.54m
水位 ST120Hにおいて	154.4m
掘削中の逸水	36.7m 70 ℥ / 0 ℥
	53.9m 70 ℥ / 0 ℥
	64.9m 70 ℥ / 0 ℥
	118.8m 70 ℥ / 0 ℥
	126.9m 70 ℥ / 0 ℥
	132.8m 70 ℥ / 0 ℥
	151.6m 70 ℥ / 0 ℥
	162.1m 70 ℥ / 0 ℥
	199.7m 60 ℥ / 0 ℥
	224.25~226.40m 60 ℥ / 0 ℥
	269.2~272.0m 60 ℥ / 0 ℥
	286.1~286.9m 60 ℥ / 0 ℥
	322.05m 40 ℥ / 5 ℥
	361.0m 40 ℥ / 55 ℥
	403.5m 40 ℥ / 30 ℥
	451.15m 40 ℥ / 0 ℥

### (1) 注水試験

注水試験使用機器、注水試験装置配置図及び実績工程を第III-10表、第III-13図及び第III-11表に示す。掘削中の逸水は36.7m~451.15mにみられるが裸孔時の温度測定の結果より主逸水層が特定できないので、圧力・温度の測定は孔明管位置の約10m上にあたる280mにて行った。

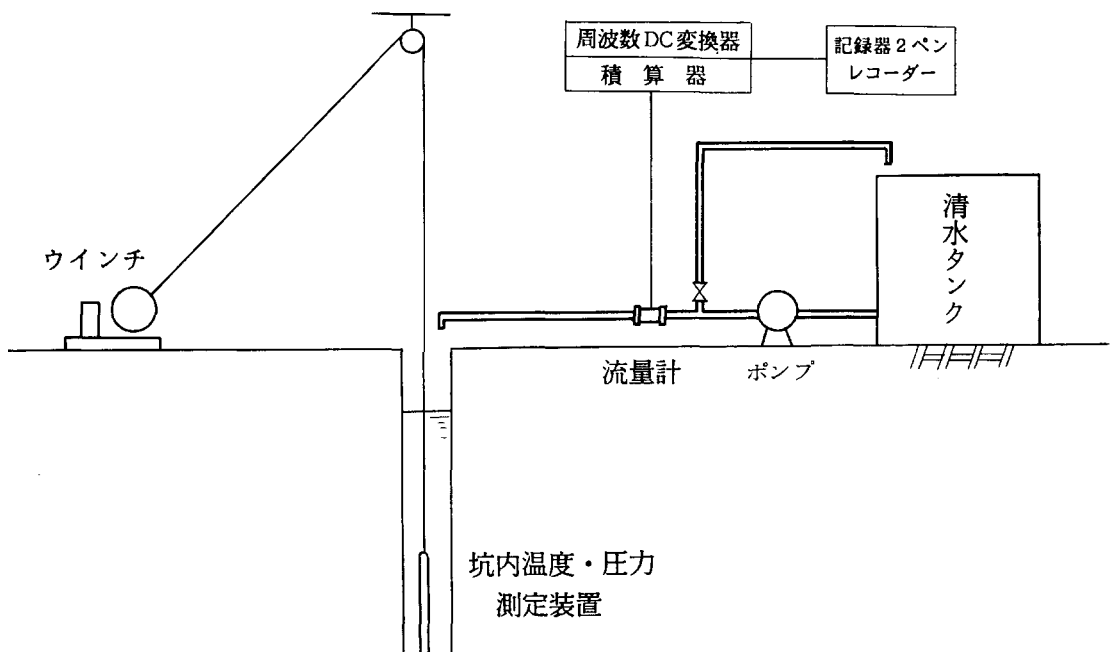
試験結果を第III-12表及び第III-14図に示す。

### ( i ) 浸透率・層厚積の算出

換算時間に対する単位流量当りの圧力上昇及び圧力降下のプロットを第III-15図及び第III-16図に示す。これより浸透率・層厚積の算出結果を第III-13表に示す。

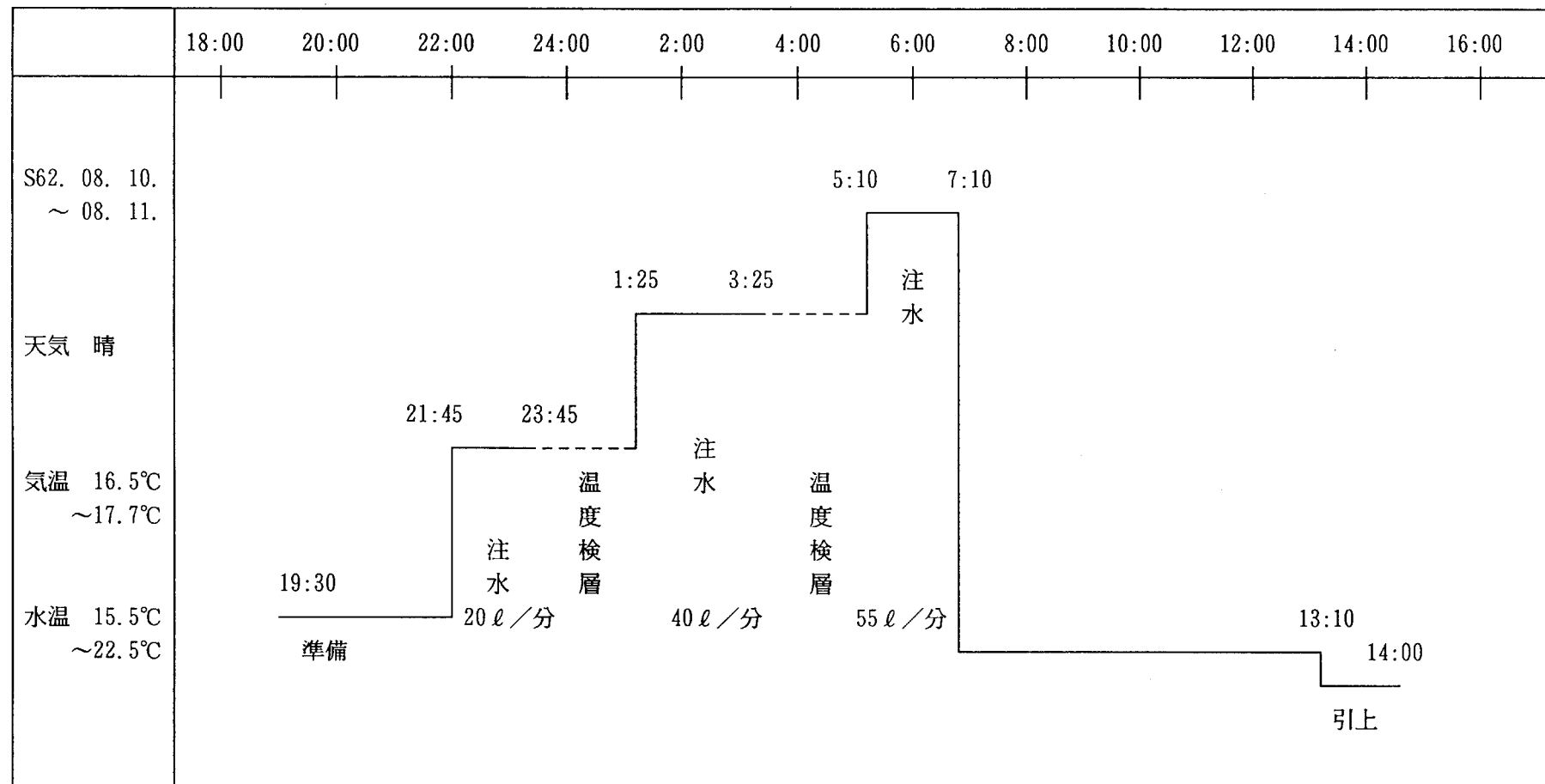
第III-10表 注水試験使用機器

	製造元	型 式	仕 様
圧力計	KUSTER	KPG 860857	300°C
温度計	MATTHEY	Pt 100 R-4	-200~500 °C
時 計	KUSTER	KPG clock	350°C



第III-13図 N61-OT-5 注水試験装置配置図

### 第III-11表 N61-OT-5 注水試験実績工程



## (2) 注水試験時温度検層

温度測定システムは、III-2 温度検層で述べたシステムと同一のものを使用した。

注水量が  $20 \text{ l}/\text{分}$  及び  $40 \text{ l}/\text{分}$  につき 2 回の温度検層を行った。作業経過と温度測定結果一覧表を第 III-14 表及び第 III-15 表に示す。

掘削中の逸水は  $36.7 \text{ m} \sim 451.15 \text{ m}$  にみられ、孔明管は  $294.34 \text{ m} \sim 496.54 \text{ m}$  に挿入されている。注水中の温度検層によれば、注水量  $20 \text{ l}/\text{分}$  及び  $40 \text{ l}/\text{分}$  につき各々  $458 \text{ m}$  及び  $461 \text{ m}$  に  $1^\circ\text{C} \sim 2^\circ\text{C}$  程度の温度上昇がみられる。

これより孔明管挿入区間にみられる注水の浸透は  $460 \text{ m}$  付近が優勢と思われる。

## 3. 考 察

試験結果をまとめて以下に示す。

坑 名		N61-OT-5			
試 験 種 別		注水 $20 \text{ l}/\text{分}$	注水 $40 \text{ l}/\text{分}$	注水 $55 \text{ l}/\text{分}$	フォールオフ
浸透率・層厚積(darcy・m)		$1.345 \times 10^{-1}$	$2.592 \times 10^0$	$2.291 \times 10^0$	$3.080 \times 10^0$
層 厚 (m) ※		202.2m	202.2m	202.2m	202.2m
浸 透 率 (darcy)		$6.652 \times 10^{-4}$	$1.282 \times 10^{-2}$	$1.133 \times 10^{-2}$	$1.523 \times 10^{-2}$
透 水 係 数 (m/sec)		$6.427 \times 10^{-9}$	$1.239 \times 10^{-7}$	$1.095 \times 10^{-7}$	$1.472 \times 10^{-7}$

※ 孔明管挿入区間長と仮定した。

注水量  $20 \text{ l}/\text{分}$  における注水試験は第 III-14 図にみられるように、注水後 120 分においても十分に安定しておらず、注水量  $40 \text{ l}/\text{分}$  及び  $55 \text{ l}/\text{分}$  における試験結果に比べて浸透率・層厚積が 1 ケタ違ったものとなった。

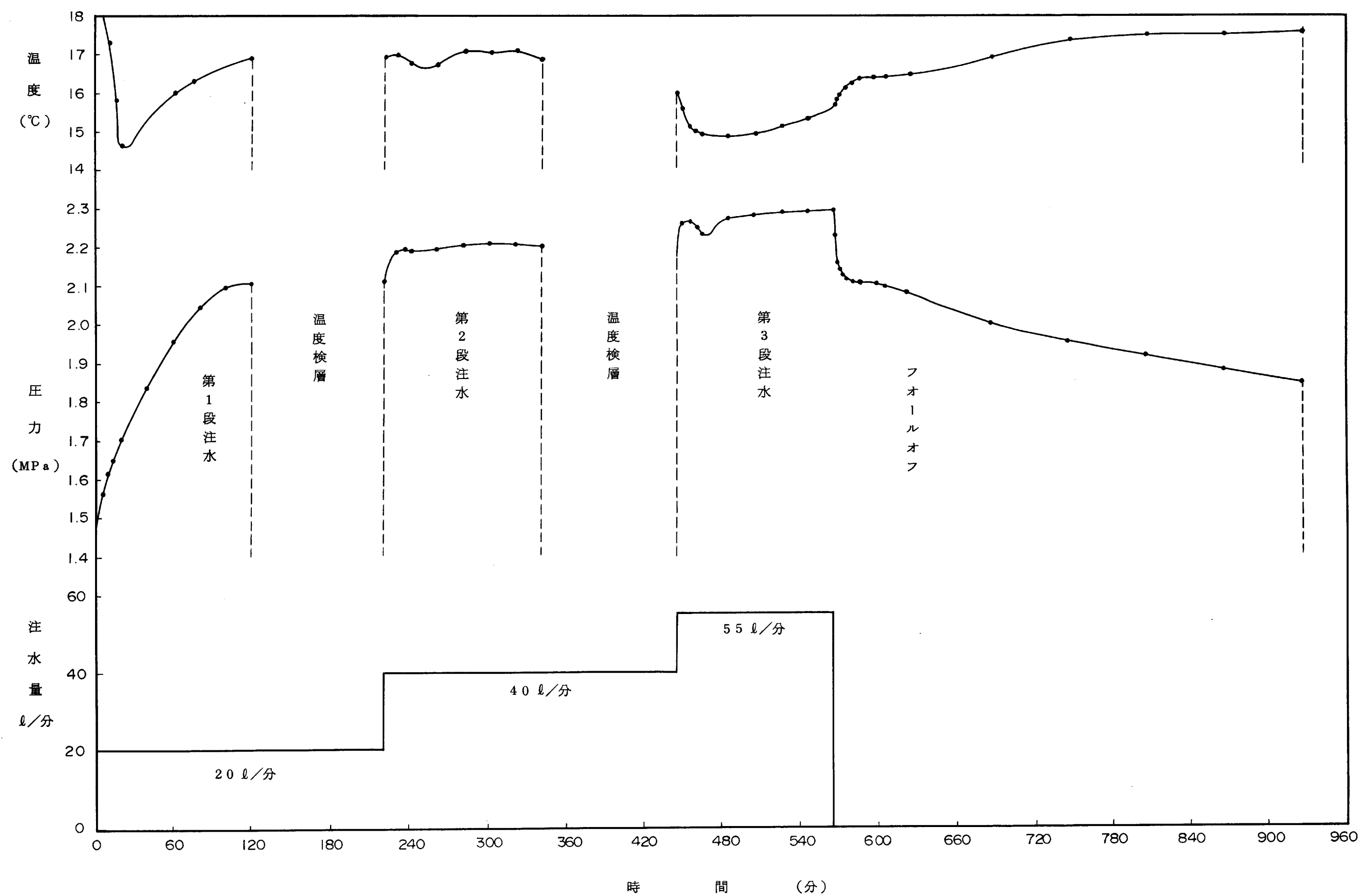
浸透率・層厚積から透水性はいくらか良いものと思われる。

第III-12(1) N61-OT-5 注水試験結果

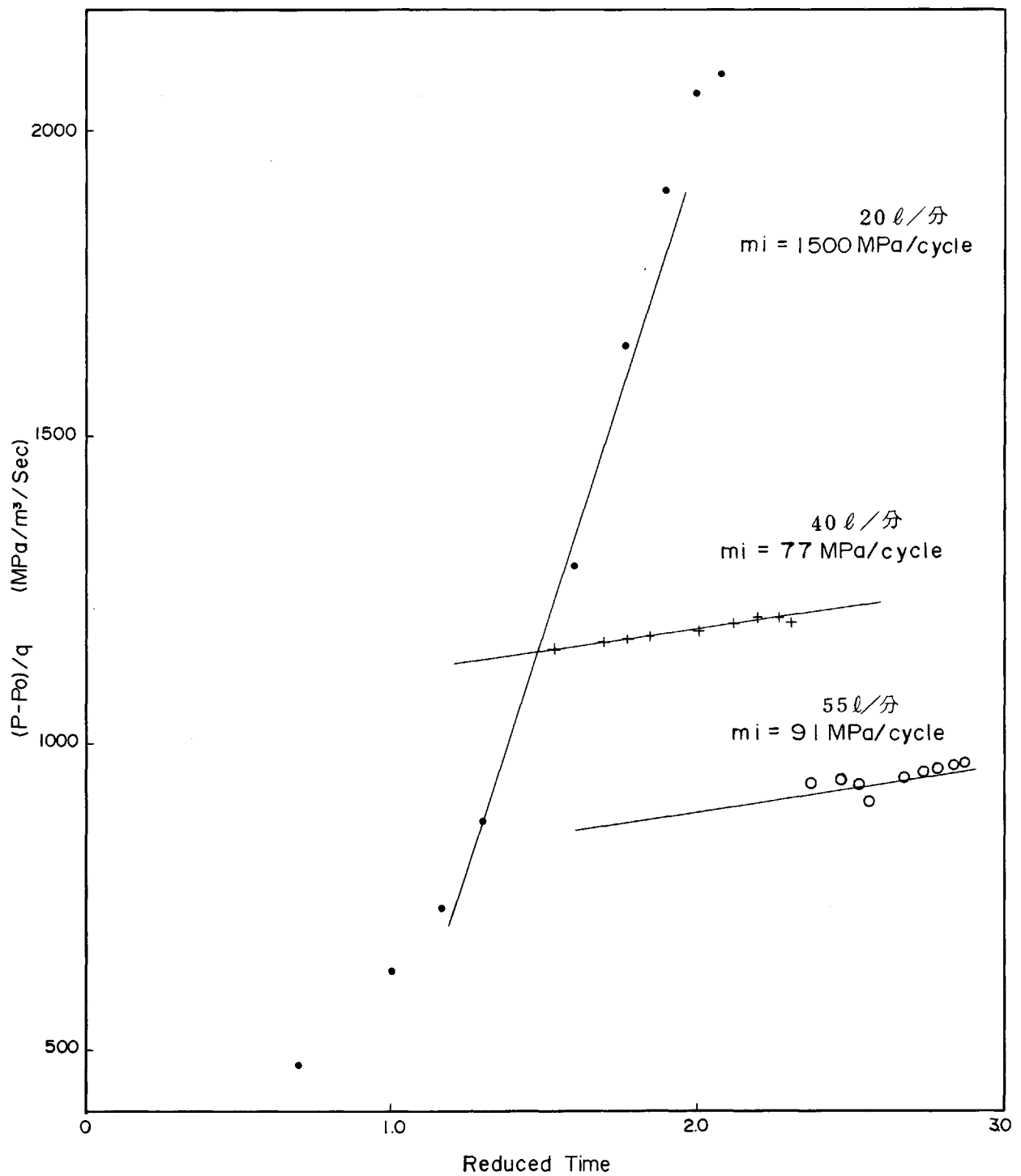
測定日時	経過時間 (分)	注水流量 q (ℓ/分)	換算時間 ti, tf	主逸水層圧力		圧力差		主逸水層温度 (°C)	備考		
				P		P-Po (MPa)	P-Po/q (MPa/m³/s)				
				(kg/cm²)	(MPa)						
08.10 21:45	0	20		14.34	1.406				1段目		
	5		0.699	15.97	1.566	0.16	480.05	18.0			
	10		1.000	16.48	1.616	0.21	630.66	17.3			
	15		1.176	16.82	1.650	0.244	732.07	15.8			
	20		1.301	17.31	1.698	0.292	776.09	14.6			
	40		1.602	18.72	1.836	0.430	1290.13	15.7			
	60		1.778	19.92	1.954	0.548	1644.16	16.0			
	80		1.903	20.80	2.040	0.634	1929.19	16.7			
	100		2.000	21.35	2.094	0.688	2064.20	16.8			
	23:45	120	2.079	21.46	2.105	0.699	2097.21	16.9			
08.11 1:25	220	40		21.59	2.117	0.711	1066.45	16.9	2段目		
	225		1.526	22.18	2.175	0.769	1153.44	16.9			
	230		1.681	22.25	2.182	0.776	1163.94	17.0			
	235		1.774	22.30	2.187	0.781	1171.44	16.9			
	240		1.840	22.34	2.191	0.785	1177.44	16.8			
	260		2.008	22.38	2.195	0.789	1183.44	16.7			
	280		2.112	22.47	2.204	0.798	1196.94	17.1			
	300		2.190	22.53	2.210	0.804	1205.94	17.0			
	320		2.252	22.50	2.207	0.801	1201.44	17.1			
	3:25	340	2.305	22.48	2.205	0.799	1198.44	16.8			
	5:10	445	55	2.369	22.14	2.171	0.765	834.51	16.0	3段目	
		450		2.380	22.05	2.261	0.855	932.69	15.6		
		455		2.399	22.07	2.262	0.856	933.78	15.1		
		460		2.404	22.00	2.256	0.850	927.23	15.0		
		465		2.411	21.81	2.237	0.831	906.51	14.9		

第III-12(2) N61-OT-5 注水試験結果

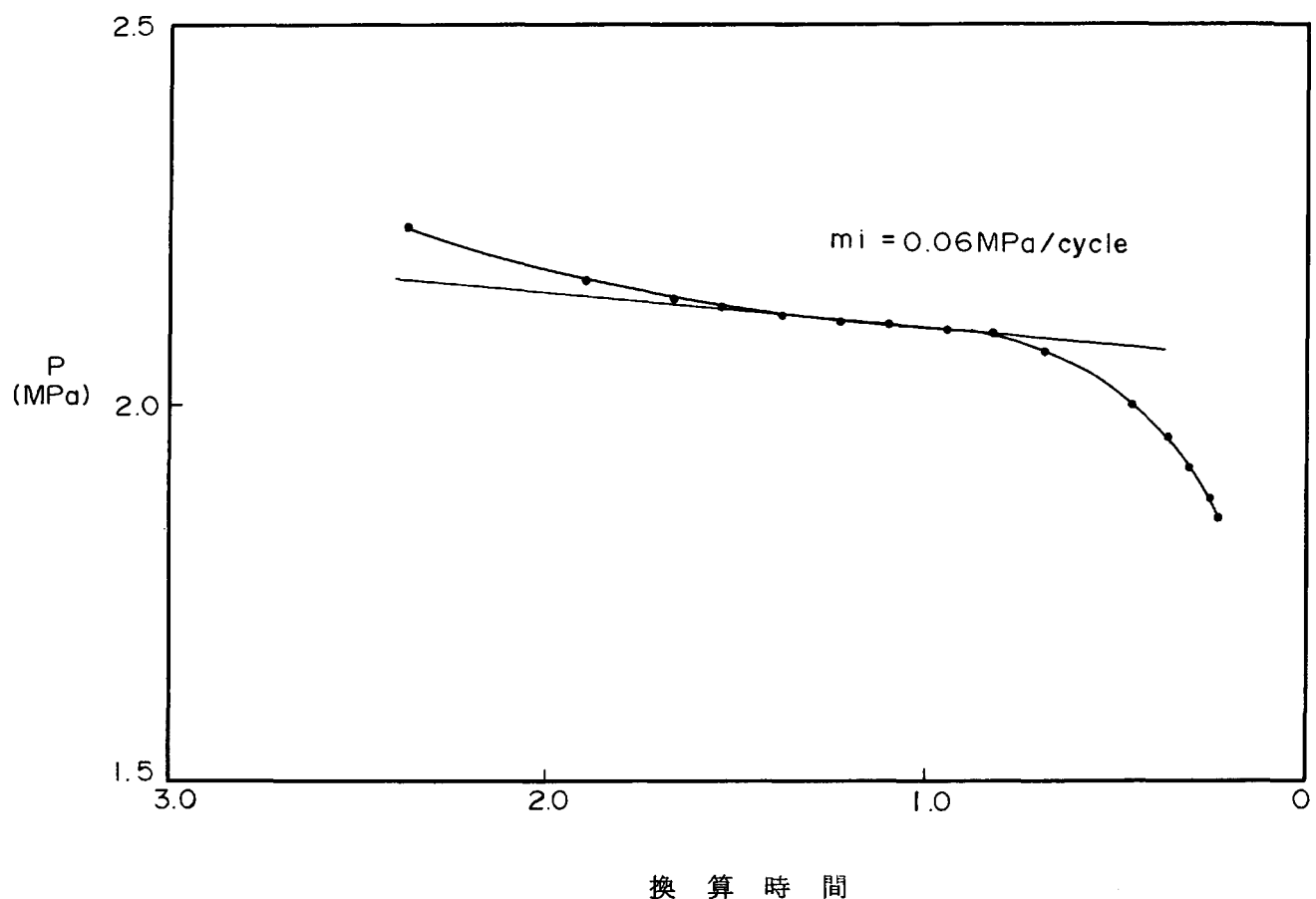
測定日時	経過時間 (分)	注水流量 q (ℓ/分)	換算時間 t _i , t _f	主逸水層圧力		圧力差		主逸水層温度 (°C)	備考		
				P		P-Po (MPa)	P-Po/q (MPa/m ³ /s)				
				(kg/cm ² )	(MPa)						
08.11	485	55	2.447	23.17	2.274	0.868	946.87	14.8			
	505		2.480	23.27	2.282	0.876	955.60	14.9			
	525		2.511	23.29	2.284	0.878	957.78	15.1			
	545		2.539	23.34	2.289	0.883	963.24	15.3			
7:10	565	55 / 0	2.565	23.40	2.295	0.889	969.78	15.6			
	1	0	2.364	22.73	2.229			15.7	7:10-14:17		
	3		1.891	22.01	2.159			15.8			
	5		1.673	21.79	2.137			15.9			
	7		1.531	21.67	2.125			16.0			
	10		1.382	21.57	2.115			16.1			
	15		1.216	21.44	2.103			16.2			
	20		1.101	21.43	2.102			16.4			
	30		0.943	21.42	2.101			16.4			
	40		0.835	21.36	2.095			16.4			
	60		0.692	21.10	2.069			16.5			
	120		0.475	20.31	1.993			16.9			
	180		0.368	19.95	1.956			17.3			
	240		0.302	19.52	1.914			17.5			
	300		0.257	19.15	1.874			17.5			
13:10	360		0.242	18.83	1.847			17.6			



第三 - 14 図 N61-OT-5 注水試験結果図



第III-15図 N61-OT-5 注水時プロット図



第III-16図 N61-OT-5 フォールオフ時プロット図

第III-13表 N61-OT-5 浸透率・層厚積算出結果表

			N61-OT-5	備 考
注水量 (m ³ /sec)	注 水	1段(20ℓ/min) 2段(40 ) 3段(55 )	$3.333 \times 10^{-4}$ $6.667 \times 10^{-4}$ $9.167 \times 10^{-4}$	
勾配 (Pa/cyle)	注 水	1段(20ℓ/min) 2段(40 ) 3段(55 )	$1,500 \times 10^6$ $77 \times 10^6$ $91 \times 10^6$	
	フォールオフ		$0.06 \times 10^6$	
粘性係数 (μ) (Pa・S)	注 水	1段(20ℓ/min) 2段(40 ) 3段(55 )	$1,102 \times 10^{-6}$ $1,089 \times 10^{-6}$ $1,138 \times 10^{-6}$	16.4°C 16.9°C 15.1°C
	フォールオフ		$1,100 \times 10^{-6}$	16.5°C
浸透率・ 層厚積 (darcy・m)	注 水	1段(20ℓ/min) 2段(40 ) 3段(55 )	$1.345 \times 10^{-1}$ $2.592 \times 10^0$ $2.291 \times 10^0$	
	フォールオフ		$3.080 \times 10^0$	

第III-14表 N61-OT-5 注水試験時温度検層作業経過

坑名	N 61 - T - 5	
測定 No.	第 1 回	第 2 回
測定日時	S 62. 8. 11 0:00 ~ 0:50	S 62. 8. 11 3:40 ~ 4:20
天候・気温	晴 17.0°C	晴 17.0°C
測定方法	電極降下時に測定	
測定速度	10.0m／分	12.5m／分
測定坑長	501.1m	501.1m
ケーシング状況	0~114.40m 3" 92.50~502.00m 2" 294.34~496.54m 孔明管	

第III-15(1) N61-OT-5 注水試験時温度測定結果表

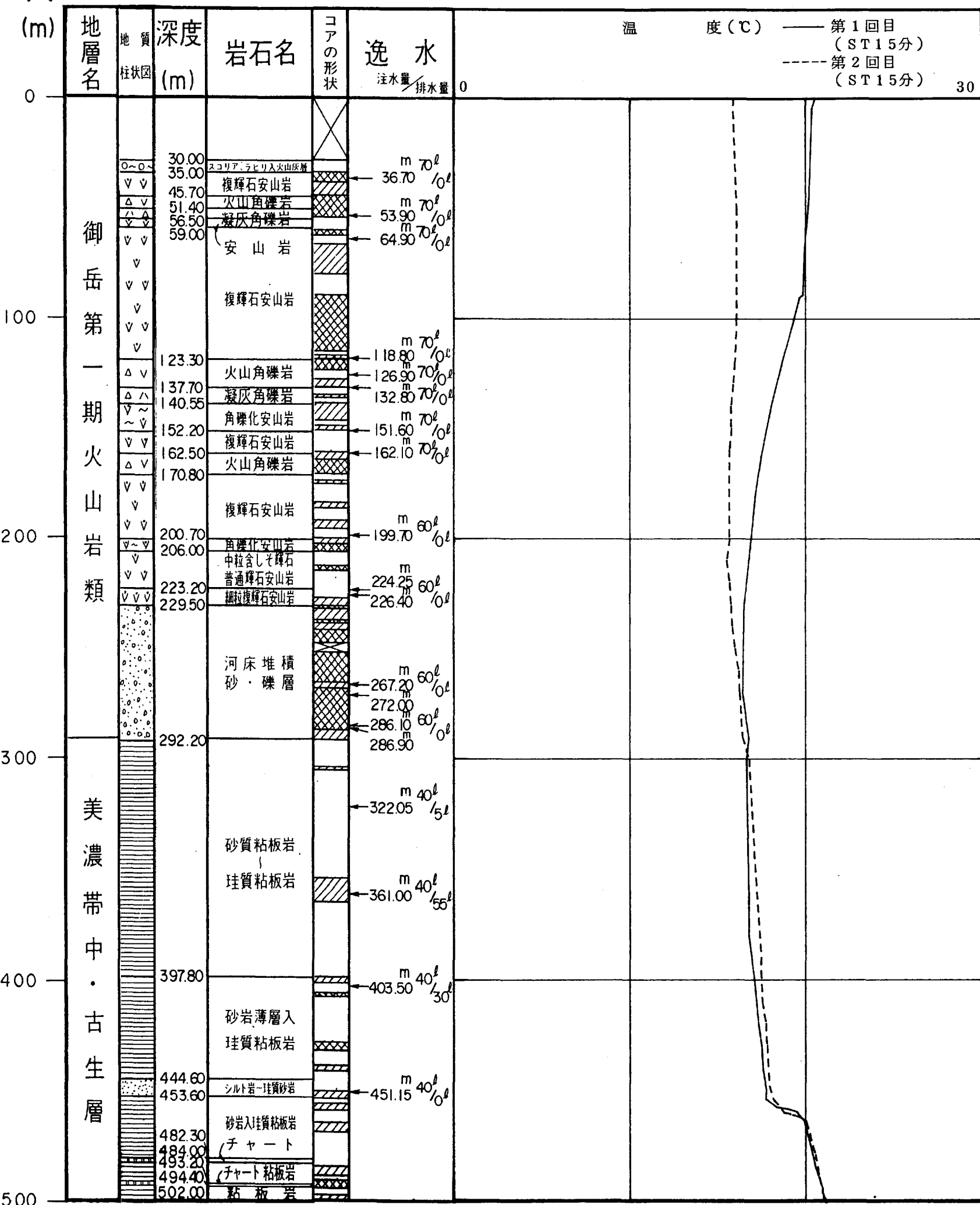
測定回数		注水試験時			
		20ℓ／分	40ℓ／分	3	4
測定月日		8/11	8/11		
外気温 °C		17.0	17.0		
注水量 (ℓ／分)		20	40		
深度 (m)	0	20.5	15.6		
	10	20.1	15.6		
	20	20.1	15.6		
	30	20.1	15.6		
	40	20.0	15.6		
	50	20.0	15.6		
	60	20.0	15.6		
	70	19.8	15.6		
	80	19.8	15.6		
	90	19.5	15.5		
	100	19.3	15.5		
	110	19.0	15.4		
	120	18.7	15.3		
	130	18.2	15.2		
	140	17.9	15.2		
	150	17.7	15.1		
	160	17.5	15.1		
	170	17.3	15.2		
	180	17.1	15.1		
	190	16.9	15.2		
	200	16.8	15.2		
	210	16.7	15.3		
	220	16.5	15.4		
	230	16.4	15.5		
	240	16.4	15.6		

第III-15(2) N61-OT-5 注水試験時温度測定結果表

	250		16.5	15.8		
	260		16.6	16.0		
	270		16.7	16.2		
	280		16.7	16.3		
	290		16.8	16.4		
	300		16.8	16.5		
	310		16.8	16.6		
	320		16.8	16.7		
	330		16.9	16.7		
	340		16.9	16.8		
	350		17.0	16.8		
	360		17.0	16.9		
	370		17.1	17.0		
	380		17.1	17.1		
	390		17.2	17.2		
	400		17.3	17.3		
	410		17.5	17.5		
	420		17.6	17.6		
	430		17.7	17.8		
	440		17.8	17.9		
	450		18.0	18.1		
	460		19.6	18.7		
	470		20.3	20.3		
	480		20.7	20.6		
	490		20.9	20.9		
	500		21.2	21.2		
			21.3	21.2		
			(501.1m)	(501.1m)		

標

尺



第III-17図 N61-OT-5 注水試験時温度検層図

### III - 5 热水（流体）の分析

#### 1. 試料採取及び分析方法

王滝地域において構造試錐、熱流量測定用試錐及び精密構造試錐の計8坑を約2年間に亘って実施してきた。8坑を掘削して水温20°C以下の湧水は数ヶ所において認められたが、热水の湧出は全く認められなかった。今回OT-5坑の深度295m付近に湧水が認められたので、この水を採取し、地球化学的観点から、様々な手法により分析を行った。試料水の採取に当っては、特別のサンプラーを試作して295m付近までこのサンプラーを下ろし、水を採取した。現地の試料採取のデータは以下の通りである。

① 湧水量	< 10 ℥ / min.
② 泉温	16.8°C (平均値)
③ pH	8.0
④ 電気伝導度	3,380 μ s/cm (平均値)
⑤ 気温	27.0°C
⑥ 採取位置	深度 295m (海拔 955m)
⑦ 採取位置の地質	美濃帯中・古生層粘板岩
⑧ 採取年月日	昭和 62 年 8 月 10 日 14 時～15 時
⑨ 採取者	相川 潔

採取した試料水は分析項目に応じて必要な前処理を施した。分析項目、試料採取量及び前処理方法を第III-16表に示す。又、試料水の分析方法と測定限界を第III-17表に示す。

採取した水はかなり泡立ち（溶存していた二酸化炭素？）、また水酸化鉄によると考えられる濁りが観察された。

第III-16表 热水(流体)分析項目・試料採取量・前処理方法一覧表

分析項目	試料水量 (ml)	前処理方法
<b>化学分析</b>		
(a) pH, RpH, Cl ⁻ , SO ₄ ²⁻ , B, F, HCO ₃ ⁻ , CO ₃ ²⁻	1,000	無処理
(b) SiO ₂	100	無処理
(c) T-CO ₂	500	20%・KOH 添加
(d) Na ⁺ , K ⁺ , Ca ²⁺ , Mg ²⁺ , Li ⁺ , Sr ²⁺ , Fe, Al	500	6 N・HCl 添加
(e) H ₂ S	500	酢酸カドミウム処理
<b>同位体分析</b>		
(f) δD, δ ¹⁸ O(H ₂ O), δ ¹⁴ S	500	無処理
(g) ¹³ C/ ¹² C	1,000	20%・KOH 添加
(h) ³ H	5,000	無処理

第III-17表 热水(流体)分析方法・測定限界一覧表

分析項目	測定限界(mg/l)	分析方法	備考
pH		ガラス電極法	
RpH		"	
TSM	5	重量法	JISK0102
Cl	0.4	イオンクロマトグラフ法	
SO ₄	5	"	
HCO ₃	10	滴定法	
CO ₃	10	"	
Na	0.03	炎光光度法	JISK0101
K	0.04	"	
Ca	0.2	原子吸光光度法	JISK0121
Mg	0.02	"	
F	0.1	イオンクロマトグラフ法	
Li	0.01	原子吸光光度法	
Fe	0.05	原子吸光光度法	
Al	0.1	"	
SiO ₂	2	重量法	
B	0.01	吸光光度法	
CO ₂	10	滴定法	
H ₂ S	0.5	ヨウ素滴定法	
δD	1 ‰	質量分析法	
δ ¹⁸ O(H ₂ O)	0.1 ‰	"	
³ H	0.3 TU	β線計数法	
³⁴ S/ ³² S	0.3 ‰	質量分析法	
¹³ C/ ¹² C	0.2 ‰	"	
Sr	0.01	原子吸光光度法	

## 2. 分析結果

N61-OT-5坑の熱水（流体）の分析値は第III-18表に示す。採取時のpHは8.0であったが、分析時のそれは6.9と低下した。

一般の沢水に比較すると  $\text{HCO}_3$  が  $2,926 \text{ mg/l}$  と高く、 $\text{Cl}$  も  $694 \text{ mg/l}$  とかなり高い。さらに  $\text{Na}^+$  及び  $\text{K}^+$  も高い。現在までの御岳周辺の温泉水の分析値では旧濁川温泉の  $\text{Na}^+$  が  $740 \text{ mg/l}$  と最高値を示したが、OT-5坑の流体のそれはこの値を上まわった。又、 $\text{K}^+$  についても同様の事が言える。

## 3. 考 察

N61-OT-5坑の熱水（流体）の分析値によると前述のようにこれまでの温泉水より  $\text{Na}^+$ 、 $\text{K}^+$ 、 $\text{HCO}_3$  等が高い。 $\text{Na}-\text{K}-\text{Ca}$  温度計では  $180.8^\circ\text{C}$ 、 $\text{Na}-\text{K}$  温度計（Truesdell）では  $172.8^\circ\text{C}$  を示し、この流体の起源はかなり高温の熱水であった事が推定できる。又、 $\delta D$  及び  $\delta^{18}\text{O}$  の分析値から酸素水素同位体比（第III-19図）について検討するとほぼ地表水の領域におきまり、又、 ${}^3\text{H}$  の分析値からも天水起源の古い水と考えられる。一方、流体分析キーダイヤグラム図（第III-18図）について考察すると、この流体はT-2坑の流体（地表水起源）とはやや異なり、 $\text{HCO}_3$  型でも  $\text{Na}^+ + \text{K}^+$  分の大きい、 $\text{Na}^+$ 、 $\text{K}^+$  に富む型と判明した。

つまり、天水がいったん地下深部まで浸透し、その付近の高温の熱水又は岩石と反応して  $\text{Na}^+$ 、 $\text{K}^+$  分を溶かしこみ、再び上昇してきた循環熱水起源を示している。 $\text{HCO}_3$  成分が高いのは、地表近くの御岳第一期火山岩類中の多孔質な部分、又は割れ目を時間をかけて通過し（数十年のオーダー）、これらの火山岩類中に含まれる二酸化炭素ガスを溶存したか、もともと  $\text{HCO}_3$  成分が高かったと考えられる。本流体は湧出量が少なく、かつ水位が孔口まで達っていないかったので特別なサンプラーを作成して採取されたために、掘削終了後8日を経過したとは言え、他の湧水又はボーリング掘削用の沢水の混入が考えられる。したがって上記の化学分析値だけによる流体の起源についての細かい議論は厳密には不可能である。

第III-18表 热水(流体)分析値一覧表

溶存化学成分(単位: mg/ℓ)

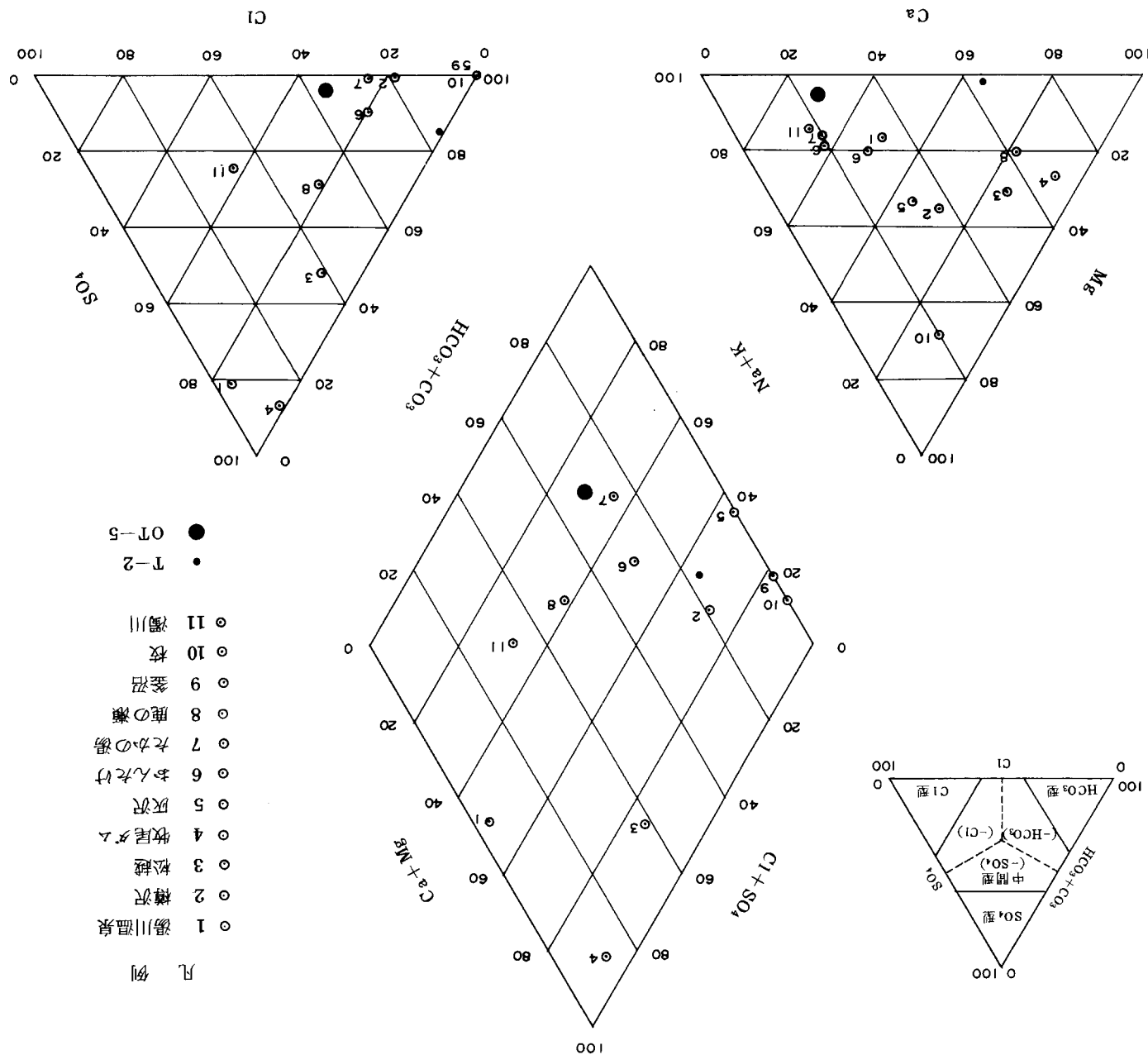
成分名	分析値	成分名	分析値
Na	1,030	Li	3.12
K	89.4	Sr	2.54
Ca	303	B	4.2
Mg	45.3	F	1.09
HCO ₃	2,926	Al	0.27
T-CO ₂	2,762	Fe	149
SO ₄	128	H ₂ S	< 0.01
Cl	694	SiO ₂	94.8

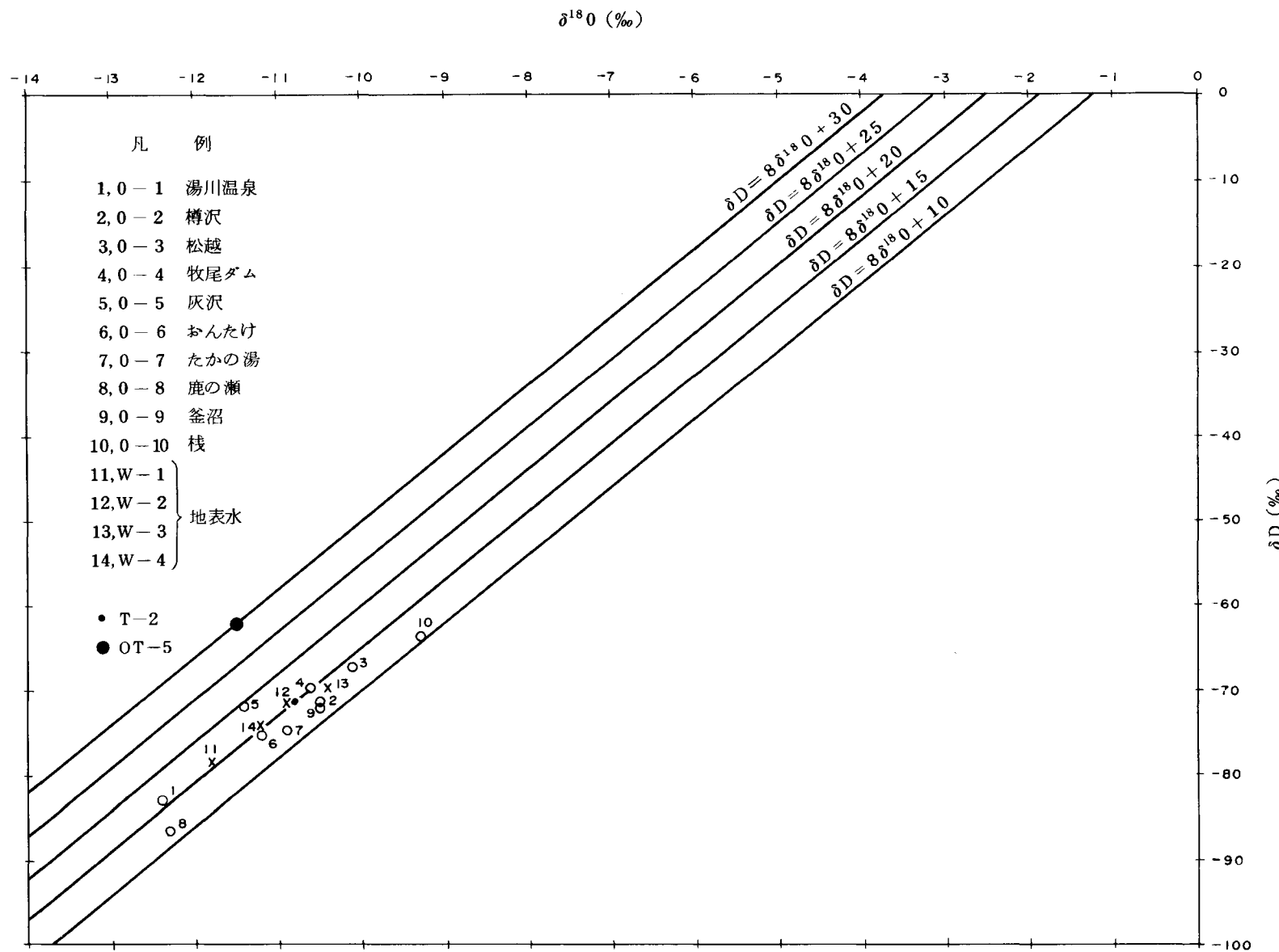
分析時のPH=6.9

同位体成分

成 分 名	分 析 値
δD	-62.0 SMOW‰
δ ¹⁸ O	-11.5 SMOW‰
δ ³⁴ S	+16.8 CDT ‰
δ ¹³ C	+0.8 PDB ‰
³ H	1.5±0.2 TR

第三-18圖 雨水(液体)分析主一五力圖之圖





第III-19図 N61-OT-5 热水(流体)の水素酸素同位体組成相関図

## IV. コ ア 試 験

◎ 朱子語類 卷之四

輝石安山岩(ルチアイト)含有普通輝石安山岩(ルチアイト)、多孔質(ルチアイト)。斑状組織を呈し、斑晶は斜方輝石(ルチアイト)、斜方輝石(ルチアイト)、单斜辉石(普通辉石)が混入する。斜方辉石(ルチアイト)の粒度は0.01mm(ルチアイト)の微量である。石英体中粒光晶質~丸玉状で、斜长石の短柱状結晶(0.01mm(ルチアイト))の微量である。斜方辉石(ルチアイト)、单斜辉石(普通辉石)が混入する。斜方辉石(ルチアイト)×0.1mm~0.05mm×0.3mm)が混入する。杂质鉱物として少量の方解石及び云母鉱等

火山灰層，火山角礫岩，凝灰角礫岩，河流堆積物，礫層，及砂礫石安山岩為主要構成之岩石

(1) 鋼鐵山一期火山岩礦

2. 鋼鐵結果

地圖	資料數	8	御書第1期火山岩類	5	美濃帶中·古生層	13
----	-----	---	-----------	---	----------	----

(4) 他表示。本书，今回顧微鏡觀察其幾何資料之各地圖上之對比這次的圖樣也。圖IV-1圖(1)～  
圖(4)寫真之攝影，付諸資料上。圖(5)所代表的薄片之顯微鏡寫真見第IV-1圖(1)～  
圖(4)寫真之攝影，付諸資料上。圖(5)所代表的薄片之顯微鏡寫真見第IV-1圖(1)～

觀察結果,各試料乙之顯微鏡已載力一% (付帶資料) 裝品乙,該物組成乙該物量比之  
考察乙。

二、肉眼觀察的標本採取方法：用石墨料13個，每一個石墨片製作成L，偏光顯微鏡

1. 銀幕方法

IV-1 賽馬場觀感

IV. □ 之戰錄

(ii) 美濃帶中・古生層に於ける熱水による変質作用は肉眼観察上同様に既に認められる。方解石の細胞及び石英、珪藻灰岩化帶及び炭酸塩化帶に於ける熱水による変質作用は肉眼で認められず。方解石の細胞及び石英の細胞組織の認められる力は、幅数cm以上の方解石を含む地層、これに伴う珪藻灰岩化帶及び炭酸塩化帶に於ける熱水による変質作用は肉眼で認められない。

(i) 開拓第1期火山岩類は熱水による変質作用は肉眼観察上同様に既に認められる。火成岩は火成岩の変質物質は低温 ( $<100^{\circ}\text{C}$ ) の温泉水による変質又は火成岩の変質物質である。地下深部の熱水による現世の変質作用は肉眼で認められず。溶岩帶即時の大水を反映する岩脈及び岩脈中の熱水による変成作用等によつて生成された火成岩の変質物質である。

精密鑽孔試験によって得られた岩屑片顯微鏡観察により、各地層の岩石の特徴及び変質作用の

### 3. 寄 著

以下は本研究で得た結果を示す。  
美濃帶中・古生層中の変質計算下の結果の結果、微弱な判斷が可能である。変質物質は、以下に示す如きである。

主として微晶質石英 ( $<0.04\text{mm}$ ) が既に存在するが、他の少量の長石類、不透明鉱物

である。細粒状鉱物は、細粒砂岩、斜長石岩等が見られる。粗粒砂岩部 (粒径  $0.1\sim 1.5\text{mm}$ ) は一部に認められる。

粘板岩は、微粒の石英、斜長石、方解石 ( $<0.01\text{mm}$ )、珪質微化石等が構成され、墨

#### (ii) 美濃帶中・古生層

第IV-1表 N61-OT-5 顕微鏡観察結果一覧表

地層名	試 料			火 成 岩												火 山 碎 層 岩 ・ 堆 濁 岩 ・ (変 成 岩)												組 織	変 質 鉱 物																	
				斑 晶						石 基						碎 層 粒 お よ び 基 質																														
	番 号	深 度 m	岩 石 名	P1	Cp	Op	Hb	Oq	P1	Cp	Op	Ap	Si	Hb	Oq	G1	Or	Ap	Mt	Bi	Qz	Si	P1	Or	Cp	Op	Ac	Gr	Bi	Mu	Tm	Ap	Zr	Oq	Ht	Sp	Fo	Qz	Si	Ch	Se	C1	C			
御岳第1期火山岩類	5-1	37.6~37.8	複輝石安山岩	○	・		△	・	◎					・	○																															
	5-2	57.0	安山岩	◎		○								・		○		・	・																											
	5-3	81.6~81.8	複輝石安山岩	○	・		△		◎		△		△~・	・	○		・	・	・																	モダキシティック										
	5-4	119.7~120.0	複輝石安山岩	○				◎						△		○		・	・																											
	5-5	164.2~164.5	火山角礫岩中の角礫	◎	・	△		・	◎	・	△				○		・	△																												
	5-6	199.2~199.4	複輝石安山岩	◎	△	△	・															・	・																△							
	5-7	240.6~240.8	河床堆積砂・礫層中の安山岩礫	◎	○	△			◎	○	○				◎		△																						△							
	5-8	288.5~288.7	河床堆積砂・礫層中の安山岩礫	◎	・	△	○		◎		△					△		・	△																					・						
美濃帶中・古生層	5-9	330.1~330.3	砂質粘板岩																		◎	○~△					・				○						△	○								
	5-10	374.8~375.0	砂質粘板岩																	◎	○~△						・				○~△	◎		△												
	5-11	420.8~421.0	珪質粘板岩																	◎	○					・				○			○~△	○		△										
	5-12	463.6~463.8	珪質粘板岩																	◎	△~・									△			△	◎		△										
	5-13	493.7~493.9	チャート(珪質砂岩)																	◎	○	△					・						○	○	○											

(鉱物名)

Qz: 石英 Bi: 黒雲母 Oq: 不透明鉱物 G1: ガラス Ch: 緑泥石 C: 炭酸塩鉱物  
 Si: シリカ鉱物 Hb: 普通角閃石 At: アクチノ閃石 Fo: 微化石 Se: 絹雲母 Ht: 赤鉄鉱  
 Or: カリ長石 Cp: 単斜輝石 Ap: 磷灰石 Gr: ザクロ石 Tm: 電氣石 Zr: ジルコン  
 Pl: 斜長石 Op: 斜方輝石 Cl: 粘土鉱物 Mu: 白雲母 Sp: スフェーン Mt: 錐鐵鉱

(量の表現)

◎ 多量  
 ○ 中量  
 △ 少量  
 ・ 微量

## 顯微鏡写真略号

Ap : Apatite	磷灰石
C : Carbonaceous matter	炭質物
Cal : Calcite	方解石
Chl - V : Chlorite vein	綠泥石脈
F : Siliceous microfossil	珪質微化石
Gl : Glass	ガラス
Hb : Hornblende	角閃石
Mt : Magnetite	磁鐵鉱
Pl : Plagioclase	斜長石
Cpx : Clinopyroxene	單斜輝石
Opx : Orthopyroxene	斜方輝石
Qz : Quartz	石英
Qz - V : Quartz vein	石英脈
mQz : Microcrystalline quartz	微晶質石英
Ser : Sericite	絹雲母

## IV - 2 粉末X線回折分析

### 1. 分析方法

コアの肉眼鑑定時にほぼ40m間隔で採取した岩石試料13個について無定位X線回折分析を行い、このうち粘土鉱物及び混合層粘土鉱物の存在が予想される試料5個について定位試料を作成し、定位X線回折分析を行った。地層別試料数を下表に示す。（カッコ内は定位試料数）

地層	個数
御岳第1期火山岩類	8(0)
美濃帯中・古生層	5(5)
計	13(5)

X線用コア試料はまず全量をステンレス製乳鉢内で50～100メッシュ程度に粉碎し、さらにその一部をメノウ乳鉢内で指先にざらつきを感じない程度に磨碎し、これを粉末X線回折分析用試料ホルダーに封入する手順を経て、無定位試料として調整され、X線回折分析に供された。

無定位試料のうち、14Å、7Å、10Åの反射のある試料、粘土鉱物及び混合層粘土鉱物の存在が予想される試料5個について定位試料を作成した。定位試料の作成手順は次のとおりである。すなわち、50～100メッシュに粉碎された試料の残量を更にメノウ乳鉢内で水中解碎し、次に、蒸留水と共にシリンダー中で分散させ、8時間放置した後、上澄液10mlを回収し、これを遠心分離機にかけて沈澱させる。この沈澱物をスライドグラスに塗付して2枚以上の定位試料を得た。うち1枚は無処理、他はエチレングリコール処理、加熱処理、塩酸処理を行い、その各々についてX線回折分析を行った。

なお、使用器械及びX線回折分析の照射条件は次のとおりである。

使用器械：理学電機（株）ロータフレックス RU-200

最大出力 60kV-200mA, 12kW

X線モノクロメーター付

地下水的物理化学性质和流动动力学方向等专题研究。对于地下水，通过在地下钻孔中采集水样进行测定，形成水文地质资源调查报告书。地热资源带的分布·形状与水文地质物探方法，以及地热资源带的划分·评价与开发利用·环境保护·综合治理等提出意见和建议。

### 3. 奥 瑞

王之民口述于小旗，混合磨碎物，为火山灰质粘土矿物等物质出水能力大。矿物，主要为火山灰·火山玻璃，熔融玻璃壳及二氧化硅质材料的X线回折分析报告书。在材料美露带中·古生带中以铁普遍的硫酸亚铁及二氧化硫含水量大。又，同块N61-OT-5岩样中的铜带第1期火山带中火山灰质物经分析出水能力大。冲积层：指出其水力大。

#### 绿泥石

粘土矿物：滑石母

本分析表只用定名地层物次序表示水力大。

出现深变带IV-3带以，未见共带的变带分带结果表IV-3图示机理表示。各材料的X线回折分析结果表IV-2表以，指出矿物分布图表IV-2图以，变带分带的CPS未满少量，3,200CPS未满中量，3,200CPS以上未多量也大。矿物的最值E-1.6带取5，配镁瓶上飞以，为少于5倍之1cm未满量也L,1,600以下的条件下获得5机力带定方位材料的配镁瓶上的回折曲线基以4区分也。对镁

### 2. 分析结果

CPS未满少量，3,200CPS未满中量，3,200CPS以上未多量也大。

以下的条件下获得5机力带定方位材料的配镁瓶上的回折曲线基以4区分也。对镁

性 能	指定方位材料	定位位材料	走查角度2θ
走查速度	0.5 s	0.5 s	2° ~ 40°
走查速度	2 cm/min	2 cm/min	2° ~ 15°
灵敏度	1.0 mm	1.0 mm	0.15 mm
灵敏度	1.0	1.0	走查角度2θ
灵敏度	0.15 mm	0.15 mm	走查角度2θ
走查速度	2 cm/min	2 cm/min	走查角度2θ
走查速度	0.5 s	0.5 s	走查速度
走查速度	4,000 CPS	4,000 CPS	走查速度
电压	Cu	Cu	走查速度
电压	40 KV	40 KV	走查速度
电流	150 mA	150 mA	走查速度
电流	150 mA	150 mA	走查速度
射线强度	5377Ah · 5170Ah · 5377Ah · 5170Ah	5377Ah · 5170Ah · 5377Ah · 5170Ah	射线强度

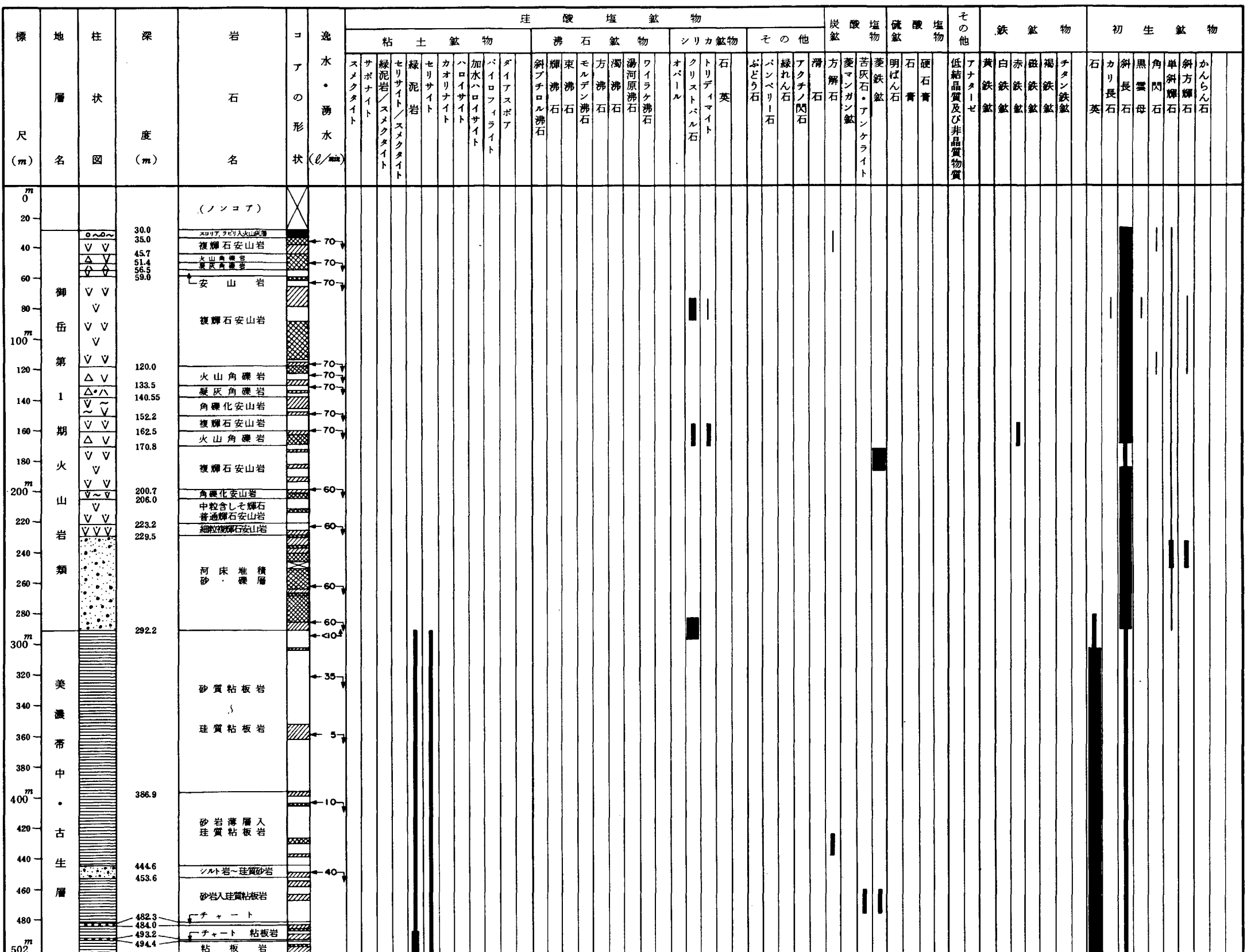
X线回折分析的试验条件

第IV-2表 N61-OT-5 X線回析分析結果一覧表

地 層 名	試 料	珪 酸 塩 鉱 物																				炭 酸 塩 鉱 物		硫 酸 塩 鉱 物		その他の 結晶質及び 非晶質物質	鐵 鉱 物				初 生 鉱 物				備 考														
		粘 土 鉱 物										沸 石 鉱 物					シリカ鉱物			その他の 鉱物		炭 酸 塩 鉱 物		硫 酸 塩 鉱 物			鐵 鉱 物					初 生 鉱 物																	
		ス メ ク タ イ ト	サ ボ ナ イ ト	緑 泥 石 / セ リ サ イ ト / ス メ ク タ イ ト	緑 泥 石	セ リ サ イ ト	カ オ リ ナ イ ト	ハ ロ イ サ イ ト	加 水 ハ ロ イ サ イ ト	バ イ ロ フ ィ ラ イ ト	ダ イ ア ス ポ ア	斜 ブ チ ロ ル 沸 石	輝 沸 石	東 沸 石	モ ル テン 沸 石	方 沸 石	湯 沸 石	ワ イ ラ ケ 沸 石	オ ペ ー ル	ク ル ス ト バ ル 石	トリ デ イ マ イト	石 英	ぶ どう 石	パン ベ リ ー 石	縞 れ ん 石	アク チ ノ 閃 石	清 石	方 解 石	菱 マン ガ ン	苦 灰 石 ・ ア ン ケ ライ ト	明 ば ん 石	石 青	硬 石 青	低 結 晶 質 及 び 非 晶 質 物 質	アナ タ ー ゼ	黄 鐵 鉱	白 鐵 鉱	赤 鐵 鉱	磁 鐵 鉱	褐 鐵 鉱	チ タン 鐵 鉱	石 英	カリ 長 石	斜 長 石	黑 雲 母	角 閃 石	單 斜 輝 石	斜 方 輝 石	か ん ら ん 石
		番 号	深 度 m	岩 石 名																																													
御岳第1期火山岩類	5-1	37.6~37.8	複輝石安山岩																																														
	5-2	81.6~81.8	複輝石安山岩																																														
	5-3	119.7~120.0	複輝石安山岩																																														
	5-4	164.2~164.5	火山角礫岩中の安山岩礫																																														
	5-5	179.7	複輝石安山岩																																														
	5-6	199.2~199.4	複輝石安山岩																																														
	5-7	240.6~240.8	河床堆積砂・礫層中の安山岩礫																																														
	5-8	288.5~288.7	河床堆積砂・礫層中の安山岩礫																																														
美濃帯中・古生層	5-9	330.1~330.3	砂質粘板岩															△	△																				T, E, H, K										
	5-10	374.8~375.0	砂質粘板岩															△	△																			T, E, H, K											
	5-11	429.2	粗粒砂岩															△	△																			T, E, H, K											
	5-12	464.8	珪質粘板岩															△	△																			T, E, H, K											
	5-13	501.9	粘板岩															○	△																			T, E, H, K											

◎ 多量 ○ 中量 △ 少量 · 微量

T: 定方向 E: EG処理 H: HCl処理 K: 加熱処理



## 第Ⅳ-2図 N61-OT-5 検出鉱物分布図

The diagram illustrates five core shapes. From top to bottom: 
 

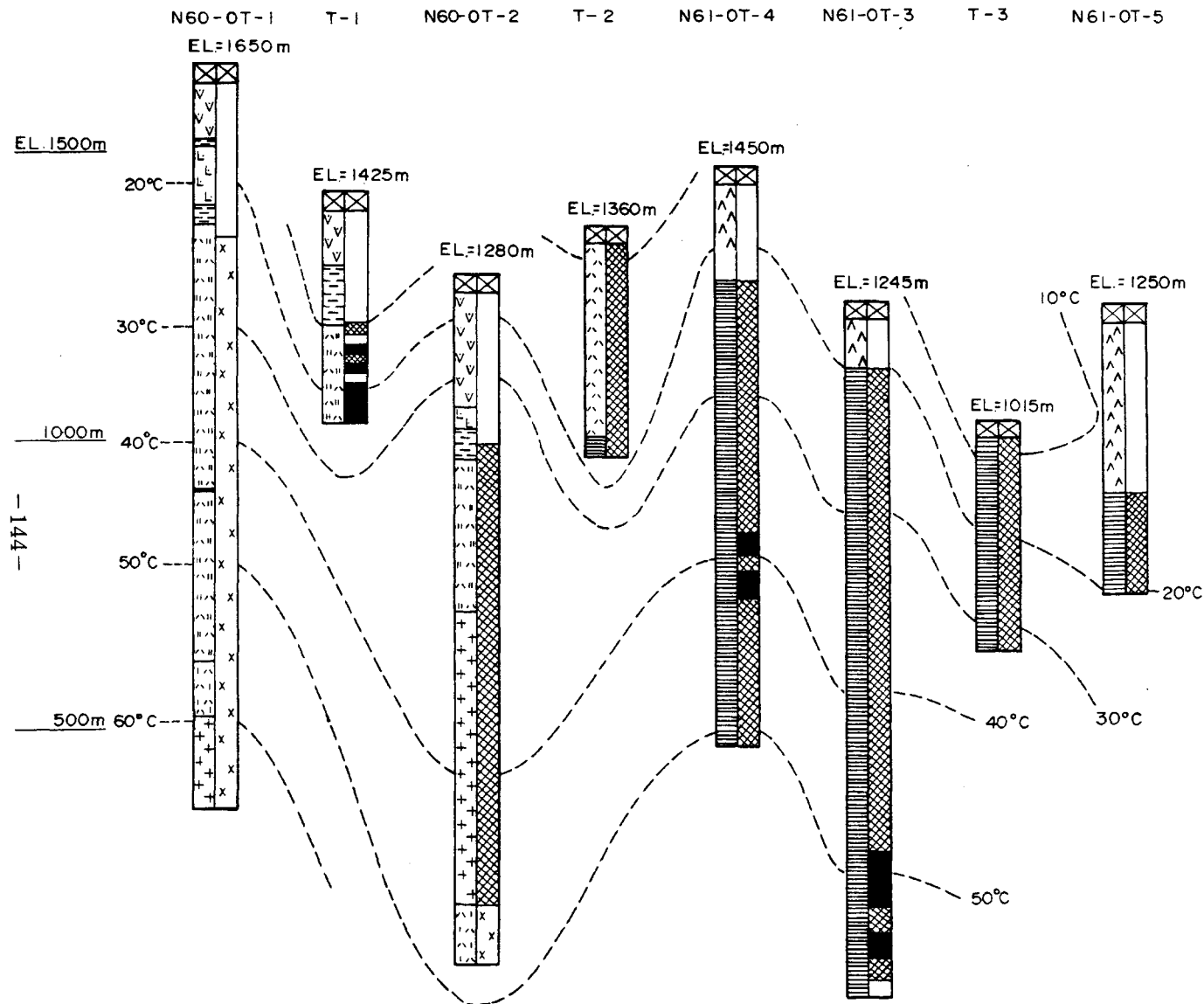
- ノンコア**: A solid black rectangle.
- 粘土**: A rectangle with a diagonal cross-hatch pattern.
- 砂**: A rectangle with a horizontal cross-hatch pattern.
- 短棒**: A rectangle divided into two horizontal sections by a vertical line; the top section has diagonal hatching, and the bottom section has horizontal hatching.
- 長棒**: A rectangle divided into three horizontal sections by two vertical lines; the top section has diagonal hatching, the middle section has horizontal hatching, and the bottom section has diagonal hatching.

逸水・湧水

第IV-3表 N60-OT-1, N60-OT-2, N61-OT-3, N61-OT-4, N61-OT-5, 変質鉱物出現深度表

鉱物種		シリカ鉱物		硫酸塩鉱物		粘土鉱物					その他	沸石鉱物			
		クリストバル石	石英	明ばん石	硬石膏	スマクタイト	カオリン	混合層 鉱物	パイロフィ ライト	セリサイト		緑れん石	斜方沸石	輝沸石	濁沸石
生成条件	温度	低温	中~高温	低~高温	低~高温	低温	低~中温	低~中温	高温	中~高温	高温	低温	低~中温	中温	高温
	pH	酸, 中~ アルカリ性	酸, 中~ アルカリ性	酸, 中~ アルカリ性	酸, 中~ アルカリ性	中性	酸性	酸, 中~ アルカリ性	酸性	中~ アルカリ性	中~ アルカリ性	中~ アルカリ性	中~ アルカリ性	中~ アルカリ性	中~ アルカリ性
深度		m	m	m	m	m	m	m	m	m	m	m	m	m	m
坑井名															
N60-OT-1		31.15 ~ 242.80	273.90* ~ 1293.00	—	—	565.80 ~ 1028.70	—	273.90 ~ 1037.70	—	273.90 ~ 1293.00	—	—	673.30 ~ 738.50	512.80 ~ 542.00	—
N60-OT-2		37.40 ~ 319.50	301.20* ~ 1203.50	—	—	301.20 ~ 304.30 1160.00 ~ 1170.00	—	301.20 ~ 304.30 994.70 ~ 1203.50	—	301.20 ~ 1163.60	—	—	—	—	—
N61-OT-3		—	—	—	—	30.00 ~ 53.90	—	—	—	114.10 ~ 1140.45	—	—	—	—	—
N61-OT-4		—	—	—	—	30.50 ~ 185.70	—	—	—	193.60 ~ 1002.50	—	—	—	—	—
N61-OT-5		81.60 ~ 164.20~ 288.50~ 288.70	81.80 ~ 164.50 501.90	—	—	—	—	—	—	330.10 ~ 501.90	—	—	—	—	—

* 初生鉱物



第IV-3図 坑井間変質分帶図（粘土鉱物による）

凡例

EL 1500 m	滝越湖成層
vv	御岳第3期火山岩類
ll	御岳第2期火山岩類
hh	御岳第1期火山岩類
++	花崗岩類
hh	新期溶結凝灰岩層
ll	瀬戸川溶結凝灰岩層
ll	鰐川溶結凝灰岩層
	美濃帯中・古生層
☒	ノンコア
xx	スメクタイト帯 緑泥石+スメクタイト 緑泥石+セリサイト・ スメクタイト混合層鉱物
▨	セリサイト帯 セリサイト+緑泥石
■	緑泥石帯 緑泥石
□	無変質帯
10°C	地温
EL	標高

本調査においてX線回折分析結果による変質鉱物の組み合わせから地熱貯留層存在の可能性を考察する。

変質鉱物の組み合わせから地熱環境を類推する方法は、歌田（1977）又は林（1979）によるpHと温度をパラメータとする熱水変質帯の分類にしたがっている。（地熱開発総合ハンドブック参照）

変質鉱物としては美濃帯中・古生層中に絹雲母及び緑泥石が生成している。熱水による変質作用の所産である白色変質鉱物は認められなかった。上記の分類に従うと、美濃帯中・古生層は弱酸～中性、弱変質、温度は200°C以下の環境であったことが類推できる。以上の事からN61-OT-5ボーリング地点の地表下500mまでは、地熱貯留層存在の可能性はほとんどないと言える。

## IV - 3 物性試験

### 1. 試験方法

#### ( i ) 密度及び有効空隙率測定

##### (1) 使用測定器

本試験の重量測定に使用された機器類の名称・仕様は次のとおりである。

名 称	規 格 ・ 性 能	数 量
比重測定装置	秤量部：メトラー製 PE1600型 (最大1600g, 読取り10mg) 機構部：シイベル機械製 DMA-1型	1台
恒温器	ヤマト製 FINE OVEN, MODEL DFM-61  使用温度範囲 40~210 °C 内容積 147リットル	1台
デシケーター	内径 260mm, 全高 395mm, プレート径 240mm	2台

##### (2) 測定方法

測定の手順は、自然状態の空中重量→湿潤状態の空中重量→乾燥状態の空中重量→湿潤状態の水中重量の順に測定を進めた。

###### i ) 自然状態の空中重量測定 : $W_3$ (g)

室内で常温、常湿状態に放置した岩石試料の空中重量測定を行った。

###### ii ) 湿潤状態の水中重量測定 : $W_2$ (g)

岩石試料を純水中に浸し、24時間以上放置した後、水中重量を測定した。

###### iii ) 湿潤状態の空中重量測定 : $W_1$ (g)

前項で測定した岩石試料の周囲に付着した水を軽くふきとった後、すみやかに岩石試料の空中重量を測定した。

###### iv ) 乾燥状態の空中重量測定 : $W_4$ (g)

岩石試料を温度105~110°Cに調整した乾燥器(恒温器)中において24時間以上乾燥した後岩石試料の重量を測定した。

###### v ) 密度及び有効空隙率の計算

試料の体積 :  $V = W_1 - W_2$  (cc)

自然状態の密度 :  $\rho_1 = W_3 / V$  (g/cm³)

乾燥状態の密度 :  $\rho_2 = W_4 / V$  (g/cm³)

湿潤状態の密度 :  $\rho_0 = W_1 / V$  (g/cm³)

有効空隙率 :  $P_0 = (W_1 - W_4) / V \times 100$  (%)

(ii) 帯磁率測定

(1) 使用測定器

3101型帯磁率計 バイソン社製

非磁性乳鉢

(2) 測定方法

- i) 密度測定完了後の試料を強制乾燥し、約100gを非磁性乳鉢で40メッシュ以下に粉碎する。
- ii) 約30ccをサンプル容器に入れ、重量W(g)を測定する。
- iii) バイソン3101型帯磁率計により見掛帯磁率Rを測定する。
- iv) 別に定めた自然状態の密度 $\rho_1$ を用い、容積帯磁率を下式により算出する。

$$K = R \times \left( \frac{d}{d'} \right)^2 \left( \frac{\rho_1}{\rho_2} \right)$$

ただし K : 容積帯磁率 ( $\times 10^{-6}$ emu/cc)

R : 見掛け帯磁率測定値 ( $\times 10^{-6}$ )

d/d' : サンプル容器直径比 = 1

$\rho_1$  : 岩石状態の密度

$\rho_2$  : 粉末状態の比重 = W/V

W : 粉末サンプルの重量 (g)

V : 粉末サンプルの体積 (cc)

(iii) 弾性波速度測定

(1) 使用測定器

超音波速度測定器 NSPG-AD, UPD-30W 開発電子測器研究所製

(2) 測定方法

- i) 試料は長さ約5cmに両端面を平滑に切断する。両切断面は平行になるようとする。  
試料の断面積は少なくとも  $1\text{cm}^2$  以上とし割れ目などのないものを選ぶ。
- ii) 試料は室内に数日放置した後、自然状態の測定を行う。次に送風乾燥機で  $105^\circ\text{C}$ , 7時間強制乾燥して強制乾燥状態の測定を行う。その後自然気圧下で24時間浸水して強制湿潤状態の測定を行う。
- iii) 測定は送受信素子を試料の両端面に圧着して測定する。超音波の伝達時間はディジタルに表示されるのでその数値を読み取る。その際レコーダで記録も同時にとる。
- iv) 速度は伝達時間と送受信素子間の長さから計算した。

(iv) 热伝導率測定

(1) 使用測定器

QTM-DI型迅速熱伝導率計 昭和電工製

(2) 測定方法

- i) 試料は長さ10cmのものをコアカッターで縦半割りし、その面を準精密仕上げの研磨を行ない、室内で1週間以上放置する。
- ii) 試料面の場所をえた3点で測定し、下記によりその平均値をもって試料の代表値とし、標準偏差を計算した。

$$K = \frac{\sum K_i}{n} \quad \begin{array}{l} K : \text{代表値} \\ K_i : \text{測定値} \end{array}$$

$$\sigma_m = \sqrt{\frac{\sum (K_i - K)^2}{n}} \quad \begin{array}{l} n : \text{測定数} \\ \sigma_m : \text{標準偏差} \end{array}$$

- iii) 測定温度は室温から35°Cの間で測定した。

## 2. 試験結果

試料数は、計12個である。試験結果を第IV-4表、第IV-5表及び第IV-4図にまとめて示す。

試料数は御岳第1期火山岩類が7個、美濃帯中・古生層が5個である。全試料の物性試験を総合した第IV-5表及び第IV-4図につき述べる。

(i) 密度及び有効空隙率

自然状態密度は最小値2.30g/cm³（御岳第1期火山岩類・複輝石安山岩）から、最大値2.72g/cm³（美濃帯中・古生層、珪質粘板岩）までの範囲に分布する。

地層別に平均した自然密度は御岳第1期火山岩類2.48g/cm³、美濃帯中・古生層2.70g/cm³と古い地層ほど大きな値を示す。

有効空隙率は最小値0.87%（美濃帯中・古生層・チャート）から、最大値8.00%（御岳第1期火山岩類・火山角礫岩）に及ぶ。地層別に平均した有効空隙率は御岳第1期火山岩類4.79%に比べ美濃帯中・古生層は1.74%の小さい値を示す。

(ii) 帯磁率

帯磁率測定値は最小値 $117 \times 10^{-6}$ emu/cc（美濃帯中・古生層・砂岩簿層入・珪質粘板岩）から、最大値 $3,375 \times 10^{-6}$ emu/cc（御岳第1期火山岩類・河床堆積砂礫層）まで広い範囲に分布する。

地層別に平均した帯磁率は御岳第1期火山岩類 $1,691 \times 10^{-6}$ emu/ccに対し、美濃帯中・古生層は $140 \times 10^{-6}$ emu/ccの小さい値を示す。

### (iii) 弹性波速度

自然状態弹性波速度は、最小値3.24km/sec（美濃帯中・古生層・チャート）から、最大値5.31km/sec（御岳第1期火山岩類・複輝石安山岩）の範囲に分布する。地層別に平均した自然状態弹性波速度は御岳第1期火山岩類で4.40km/sec、美濃帯中・古生層で4.48km/secの比較的近い値を示す。

### (iv) 热伝導率

热伝導率は最小値 $2.421 \times 10^{-3}$ cal/cm・sec・°C（御岳第1期火山岩類・複輝石安山岩）から、最大値 $10.975 \times 10^{-3}$ cal/cm・sec・°C（美濃帯中・古生層・チャート）の範囲に分布する。

地層別では御岳第1期火山岩類 $3.116 \times 10^{-3}$ cal/cm・sec・°Cに対し、美濃帯中・古生層は $8.715 \times 10^{-3}$ cal/cm・sec・°Cの大きな値を示す。

弹性波速度を除いてどの物性値についても、御岳第1期火山岩類に対して美濃帯中・古生層の物性値にはっきりと差が認められる。

## 3. 考 察

各々の物性値相互の相関関係を考察するため第IV-5図～第IV-14図に相関図を示し、第IV-6表に相関係数を表示した。

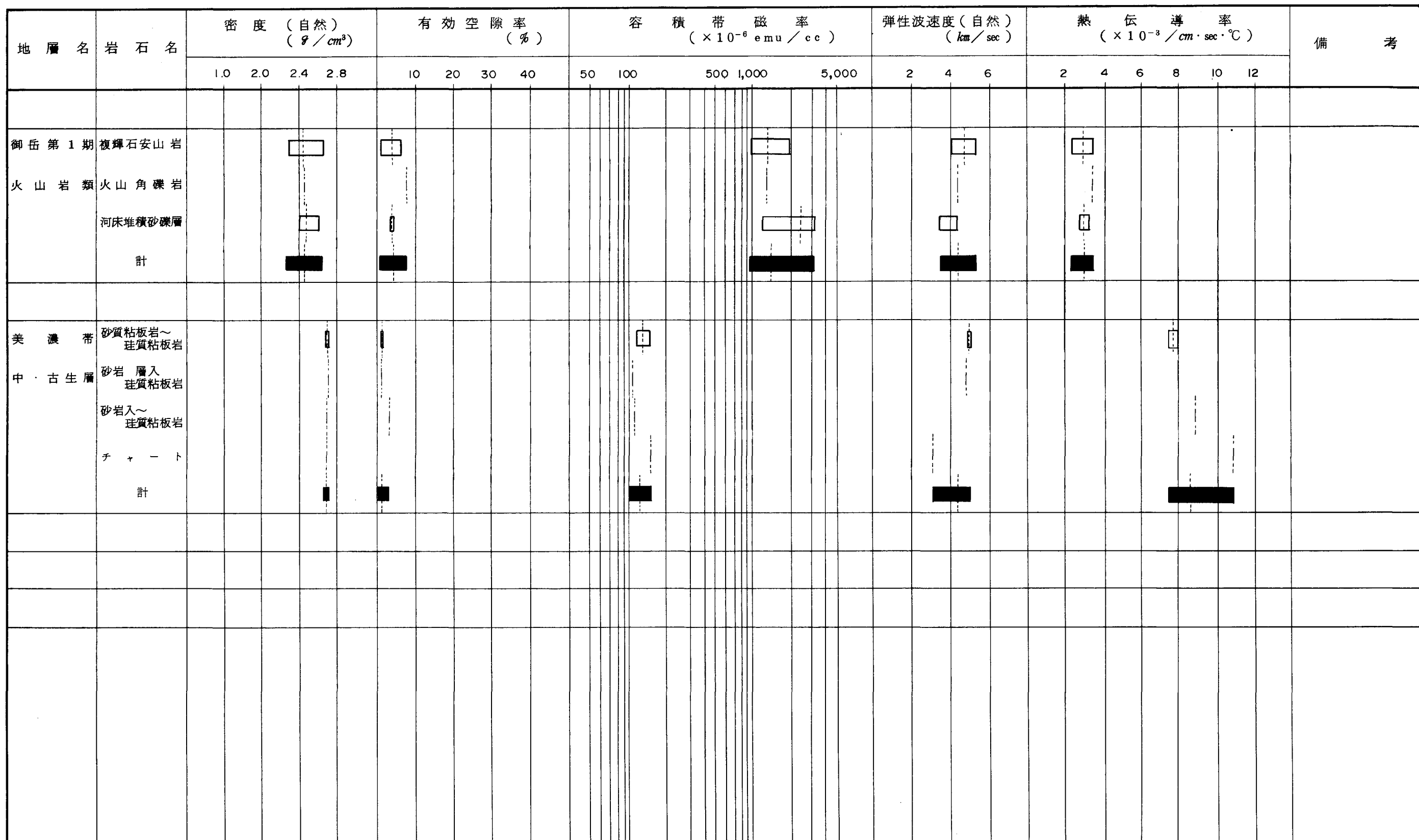
密度と有効空隙率、有効空隙率と热伝導率及び帶磁率と热伝導率に強い負の相関が認められ、密度と热伝導率に強い正の相関が認められた。

第IV-4表 N61-OT-5 物性試験総括表

試料番号	採取深度(m)	地層名	岩石名	密 度(g/cm ³ )			有効空隙率 (%)	帶磁率 (×10 ⁻⁶ emu/cc)	弾性波速度(Km/s)			熱伝導率 (×10 ⁻³ cal/cm·s·°C)	
				自然	強制乾燥	強制湿潤			自然	強制乾燥	強制湿潤	平均値	標準偏差
5-1	37.7	御岳 第1期	複輝石安山岩	2.33	2.33	2.38	5.00	1,245	4.36	4.24	4.78	2.421	0.016
5-2	81.7		複輝石安山岩	2.54	2.53	2.58	4.44	1,980	4.06	4.03	4.56	3.548	0.013
5-3	119.8		複輝石安山岩	2.30	2.30	2.36	6.43	1,514	4.64	4.39	4.64	2.759	0.035
5-4	164.3		火山角礫岩	2.47	2.46	2.54	8.00	1,414	4.38	4.38	4.59	3.531	0.024
5-5	199.3		複輝石安山岩	2.67	2.67	2.68	1.01	966	5.31	5.05	5.68	3.386	0.025
5-6	240.7		河床堆積砂・礫層	2.62	2.61	2.64	3.81	3,375	4.47	3.36	3.78	3.340	0.024
5-7	288.6		河床堆積砂・礫層	2.40	2.40	2.45	4.86	1,345	3.57	3.77	4.16	2.824	0.019
5-8	330.2	美濃帶 中・古生層	砂質粘板岩～珪質粘板岩	2.72	2.71	2.73	1.69	135	5.03	5.03	4.56	7.591	0.127
5-9	374.9		砂質粘板岩～珪質粘板岩	2.69	2.68	2.70	1.58	156	5.20	4.89	4.84	8.080	0.343
5-10	420.9		砂質薄層入珪質粘板岩	2.72	2.71	2.73	1.49	117	4.86	4.54	3.43	8.010	0.343
5-11	463.7		砂岩入珪質粘板岩	2.68	2.67	2.70	3.06	126	4.06	3.83	4.40	8.918	0.126
5-12	493.8		チャート	2.69	2.69	2.70	0.87	166	3.24	4.32	4.48	10.975	0.037

第IV-5表 N61-OT-5 地層別・岩石別物性値一覧表

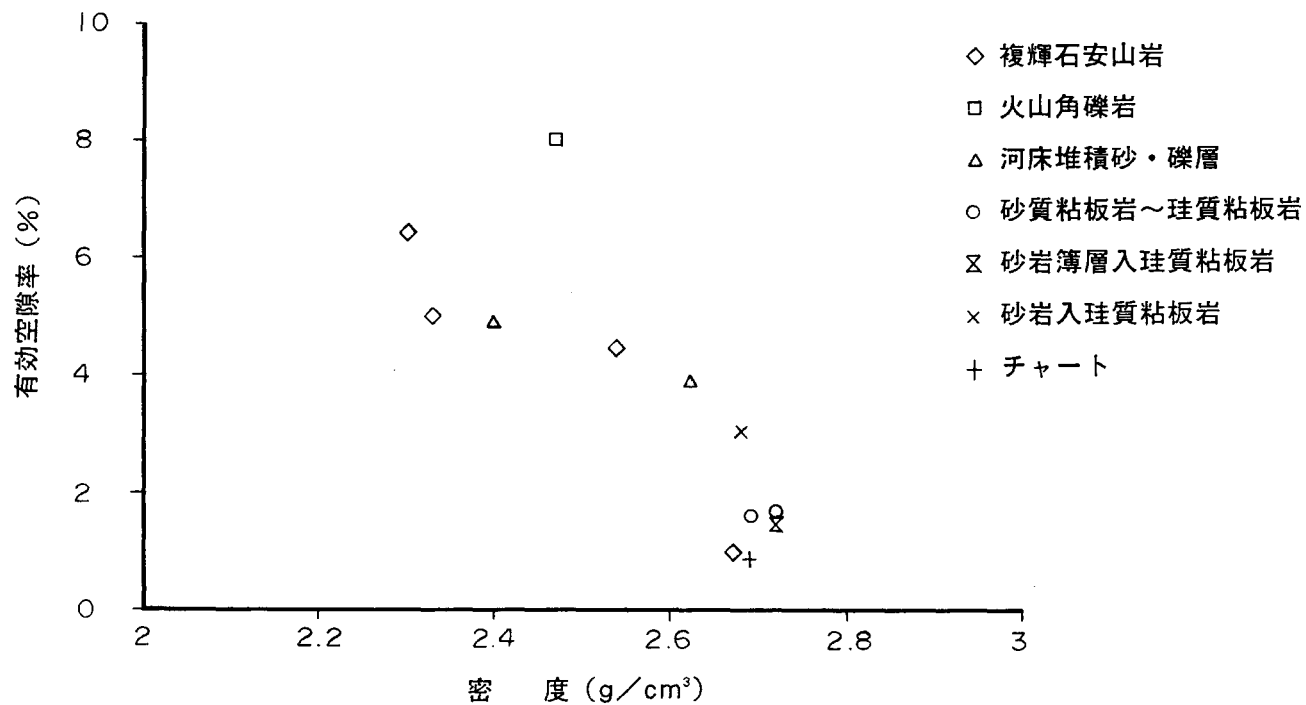
地層名	岩石名	試料数	密度 (g/cm³)									有効間隙率 (%)			帶磁率 ×10⁻⁶emu/cc			弾性波速度 (km/s)									熱伝導率 (×10⁻³cal/cm·s·°C)			
			自然			乾燥			湿潤										自然			乾燥			湿潤					
			最高	最低	平均	最高	最低	平均	最高	最低	平均	最高	最低	平均	最高	最低	平均	最高	最低	平均	最高	最低	平均	最高	最低	平均	最高	最低	平均	
御岳第1期 火山岩類	複輝石安山岩	4	2.67	2.30	2.46	2.67	2.30	2.46	2.68	2.36	2.50	6.43	1.01	4.22	1,980	966	1,426	5.31	4.06	4.59	5.05	4.03	4.43	5.68	4.56	4.92	3.548	2.421	3.028	
	火山角礫岩	1	2.47	2.47	2.47	2.46	2.46	2.46	2.54	2.54	2.54	8.00	8.00	8.00	1,414	1,414	1,414	4.38	4.38	4.38	4.38	4.38	4.38	4.59	4.59	4.59	3.531	3.531	3.531	
	河床堆積砂礫層	2	2.62	2.40	2.51	2.61	2.40	2.50	2.64	2.45	2.54	4.86	3.81	4.34	3,375	1,345	2,360	4.47	3.57	4.02	3.77	3.36	3.56	4.16	3.78	3.97	3.340	2.824	3.082	
	計	7	2.67	2.30	2.48	2.67	2.30	2.47	2.68	2.36	2.52	8.00	1.01	4.79	3,375	966	1,691	5.31	3.57	4.40	5.05	3.36	4.17	5.68	3.78	4.60	3.548	2.421	3.116	
美濃帶 中・古生層	砂質粘板岩～珪質粘板岩	2	2.72	2.69	2.70	2.71	2.68	2.70	2.73	2.70	2.72	1.69	1.58	1.64	156	135	146	5.20	5.03	5.12	5.03	4.89	4.96	4.84	4.56	4.70	8.080	7.591	7.836	
	砂岩薄層入珪質粘板岩	1	2.72	2.72	2.72	2.71	2.71	2.71	2.73	2.73	2.73	1.49	1.49	1.49	117	117	117	4.86	4.86	4.86	4.54	4.54	4.54	3.43	3.43	3.43	8.010	8.010	8.010	
	砂岩入珪質粘板岩	1	2.68	2.68	2.68	2.67	2.67	2.67	2.70	2.70	2.70	3.06	3.06	3.06	126	126	126	4.06	4.06	4.06	3.83	3.83	3.83	4.40	4.40	4.40	8.918	8.918	8.918	
	チヤート	1	2.69	2.69	2.69	2.69	2.69	2.69	2.70	2.70	2.70	0.87	0.87	0.87	166	166	166	3.24	3.24	3.24	4.32	4.32	4.48	4.48	4.48	10.975	10.975	10.975		
	計	5	2.72	2.68	2.70	2.71	2.67	2.69	2.73	2.70	2.71	3.06	0.87	1.74	166	117	140	5.20	3.24	4.48	5.03	3.83	4.52	4.84	3.43	4.34	10.975	7.591	8.715	



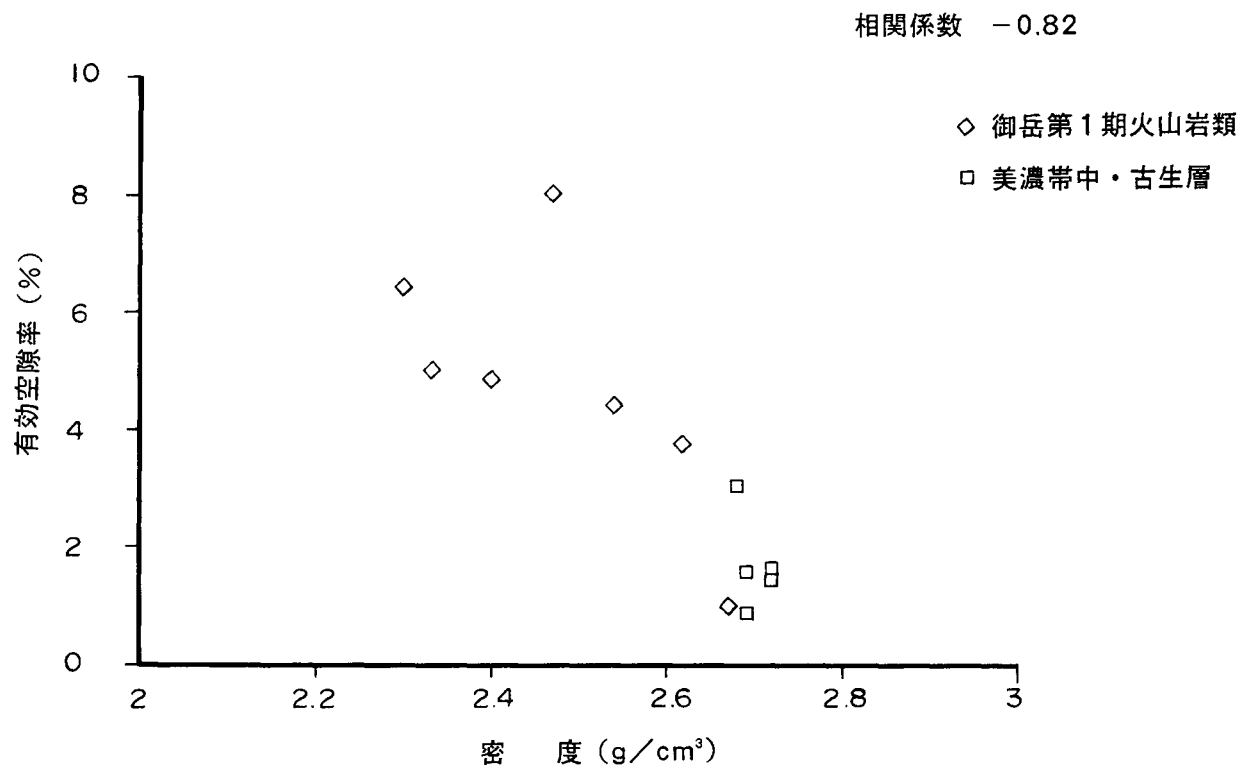
第IV-4図 N61-OT-5 地層別・岩石別物性値総括図

The diagram shows a horizontal bar divided into two segments: a white segment above a black segment. A vertical dashed line connects the center of the white segment to the center of the black segment. Below the bar, three arrows point upwards from the text labels '最低値' (Minimum Value), '算高値' (Calculated High Value), and '平均値' (Average Value) to the respective centers of the white and black segments.

相関係数 -0.82

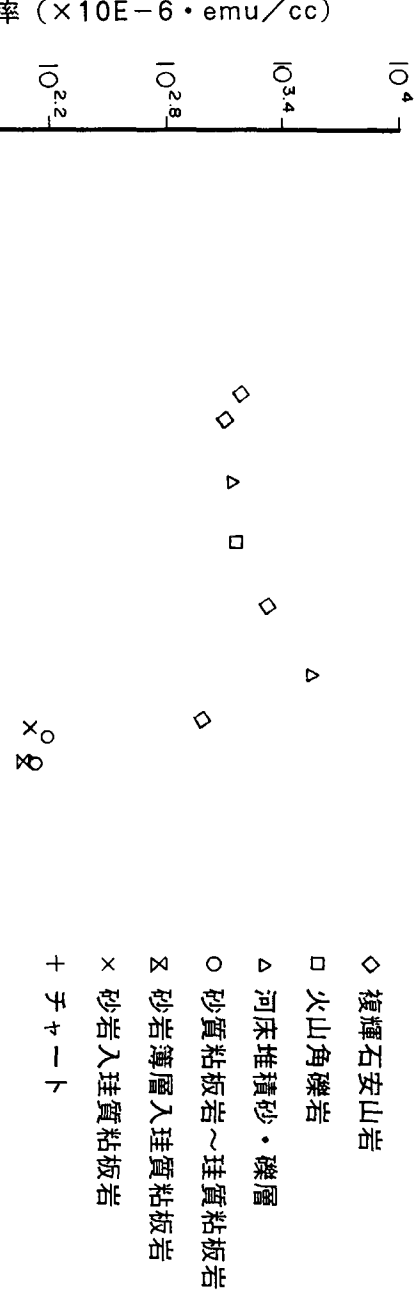


第IV-5図(1) 有効空隙率 - 密度相関図 (岩石別)



第IV-5図(2) 有効空隙率 - 密度相関図 (地層別)

相関係数 -0.45



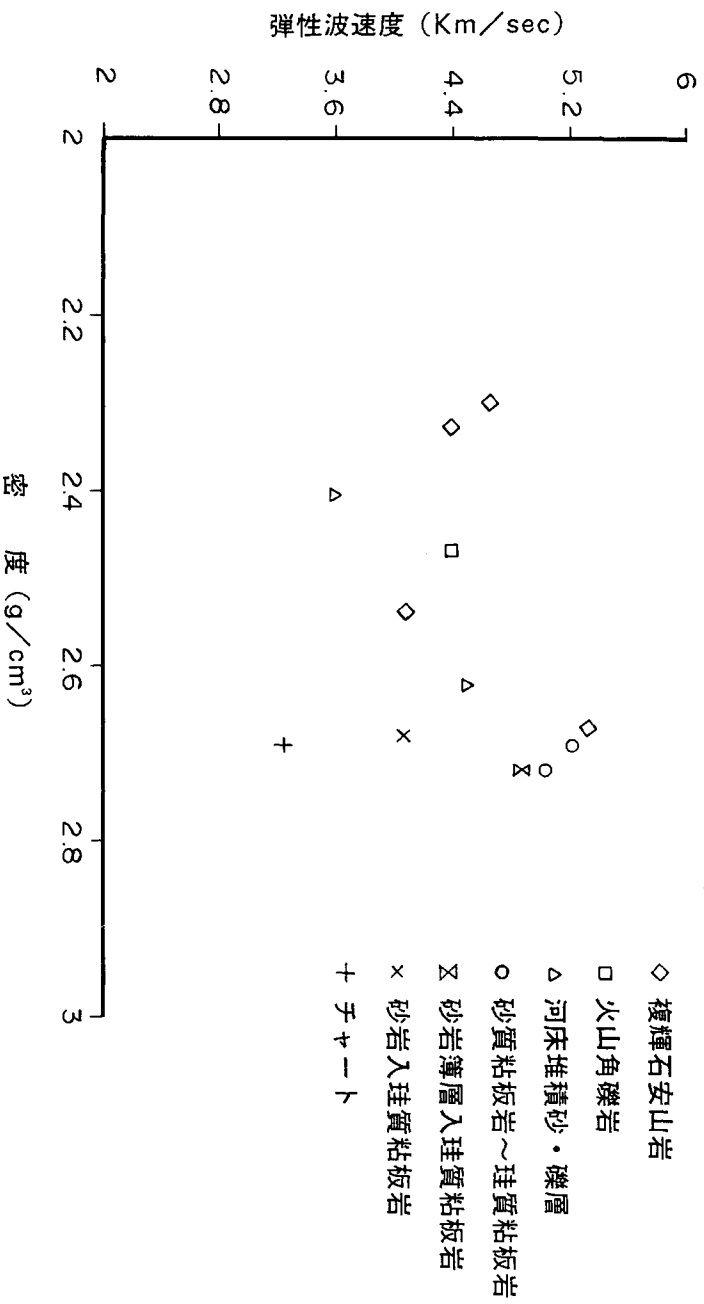
相関係数 -0.45



第IV-6図(1) 帯磁率-密度相関図(岩石別)

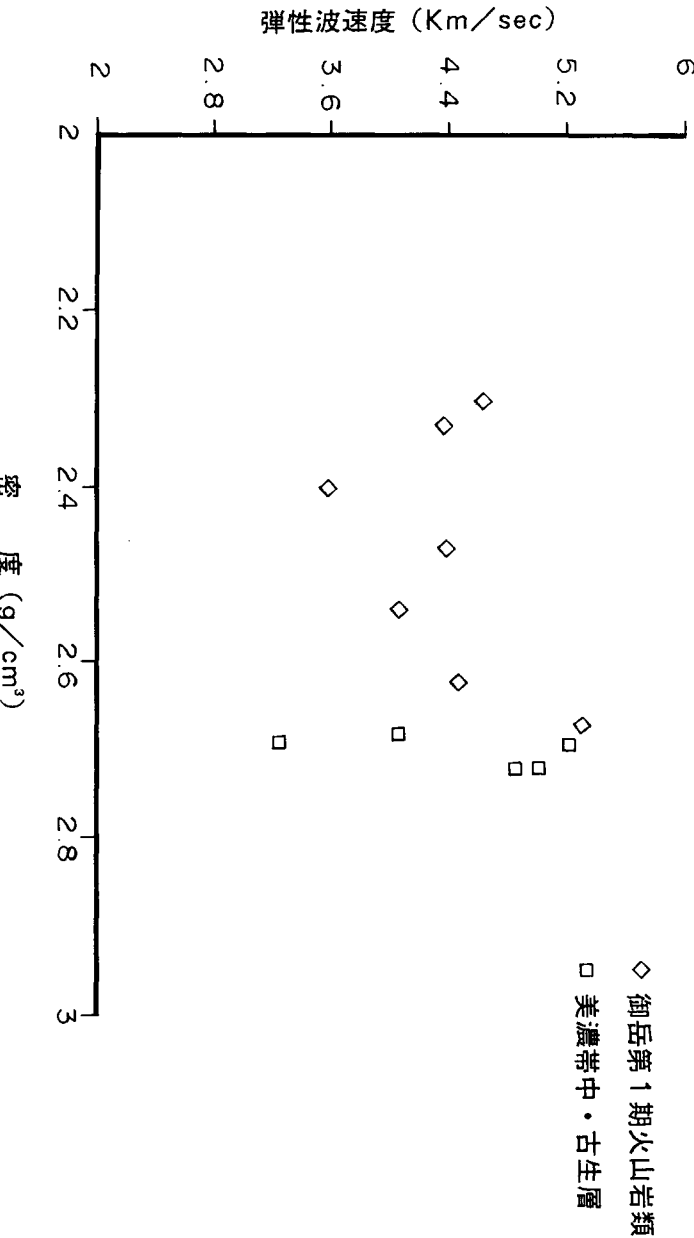
第IV-6図(2) 帯磁率-密度相関図(地層別)

相関係数 0.25



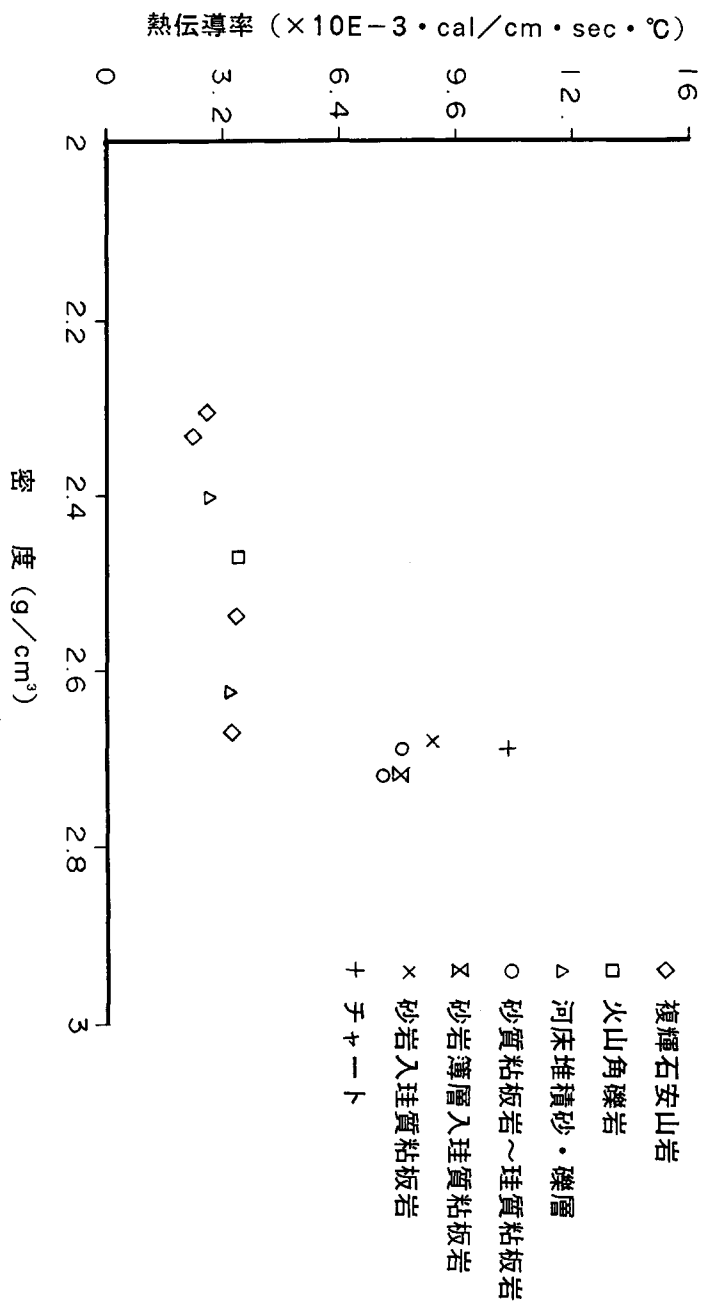
第IV-7図(1) 弹性波速度-密度相関図(岩石別)

相関係数 0.25



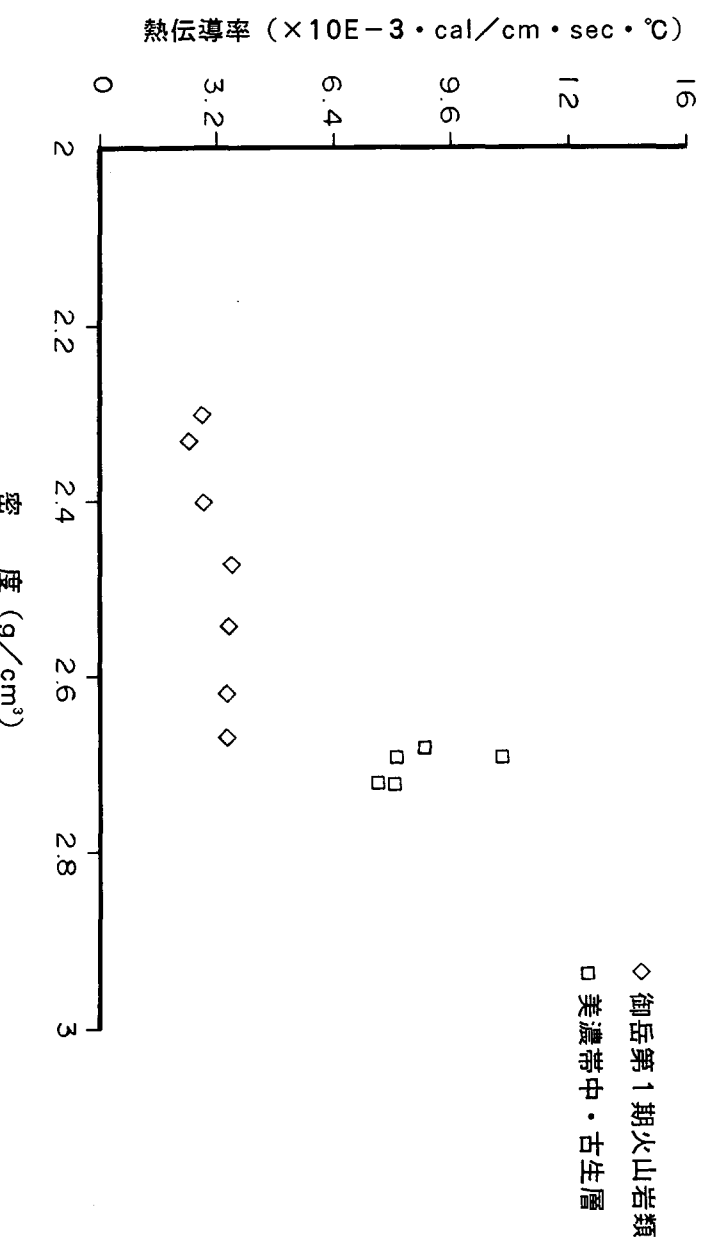
第IV-7図(2) 弹性波速度-密度相関図(地層別)

相関係数 0.75



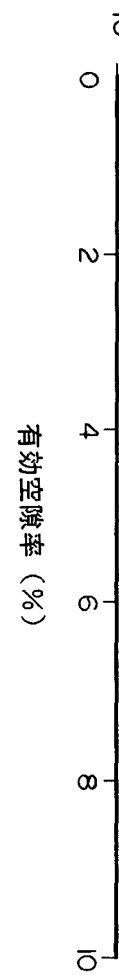
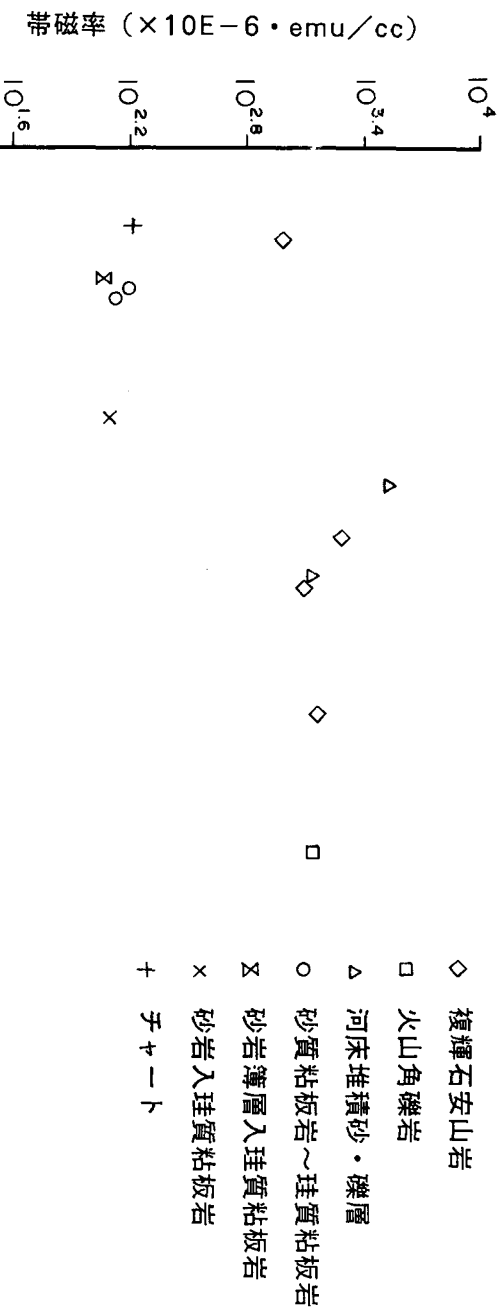
第IV-8図 (1) 热伝導率 - 密度相關図 (岩石別)

相関係数 0.75

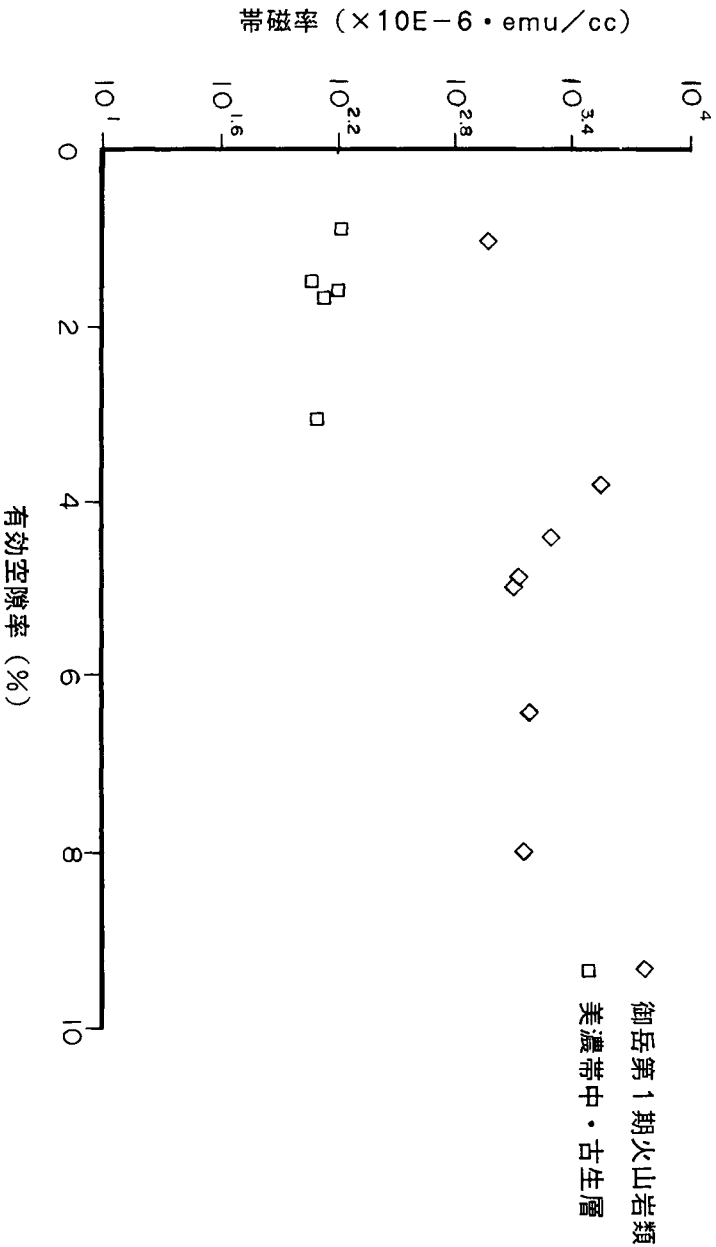


第IV-8図 (2) 热伝導率 - 密度相關図 (地層別)

相関係数 0.54

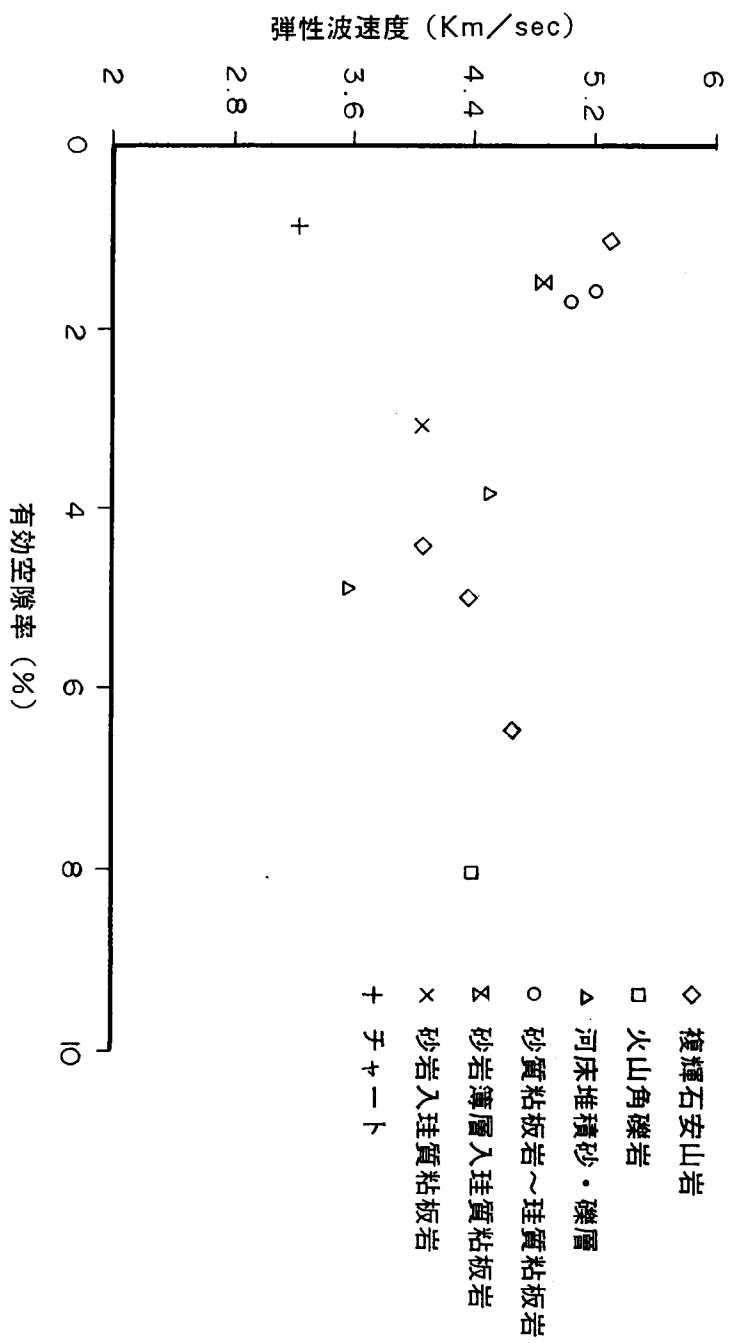


第IV-9図(1) 帯磁率-有効空隙率相関図(岩石別)



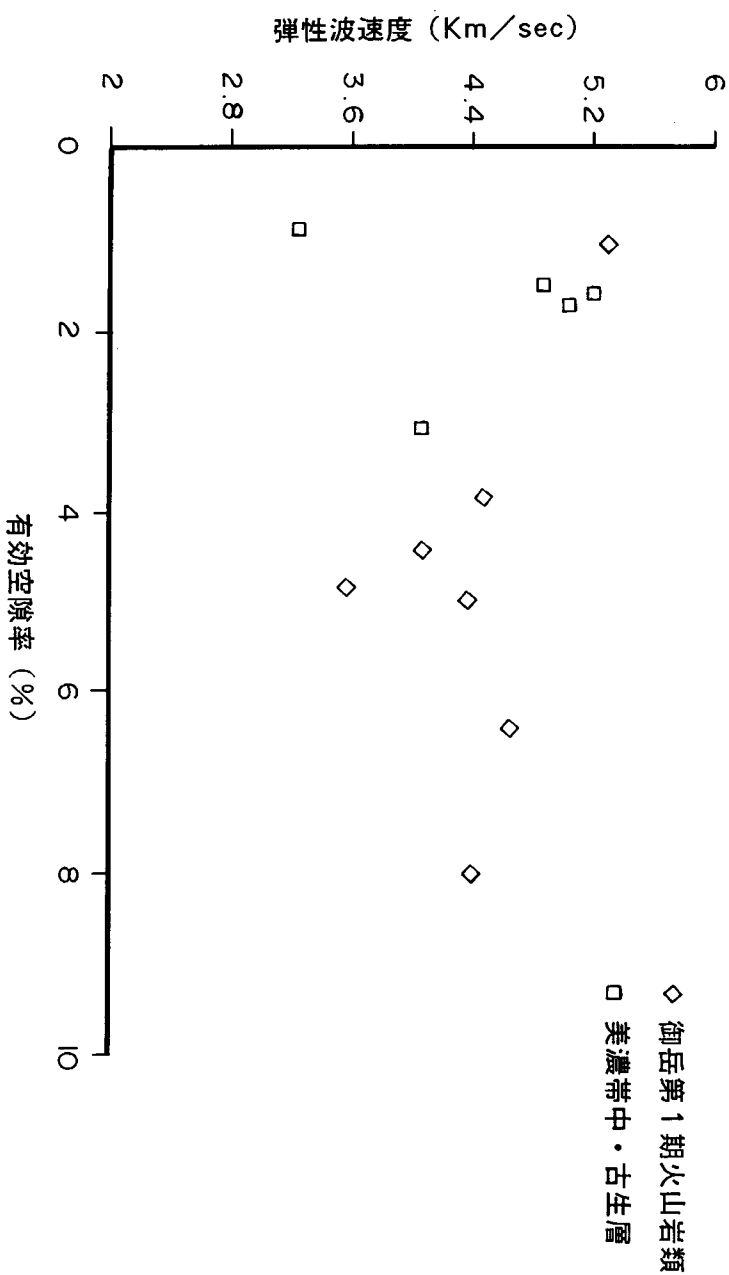
第IV-9図(2) 帯磁率-有効空隙率相関図(地層別)

相関係数 -0.22



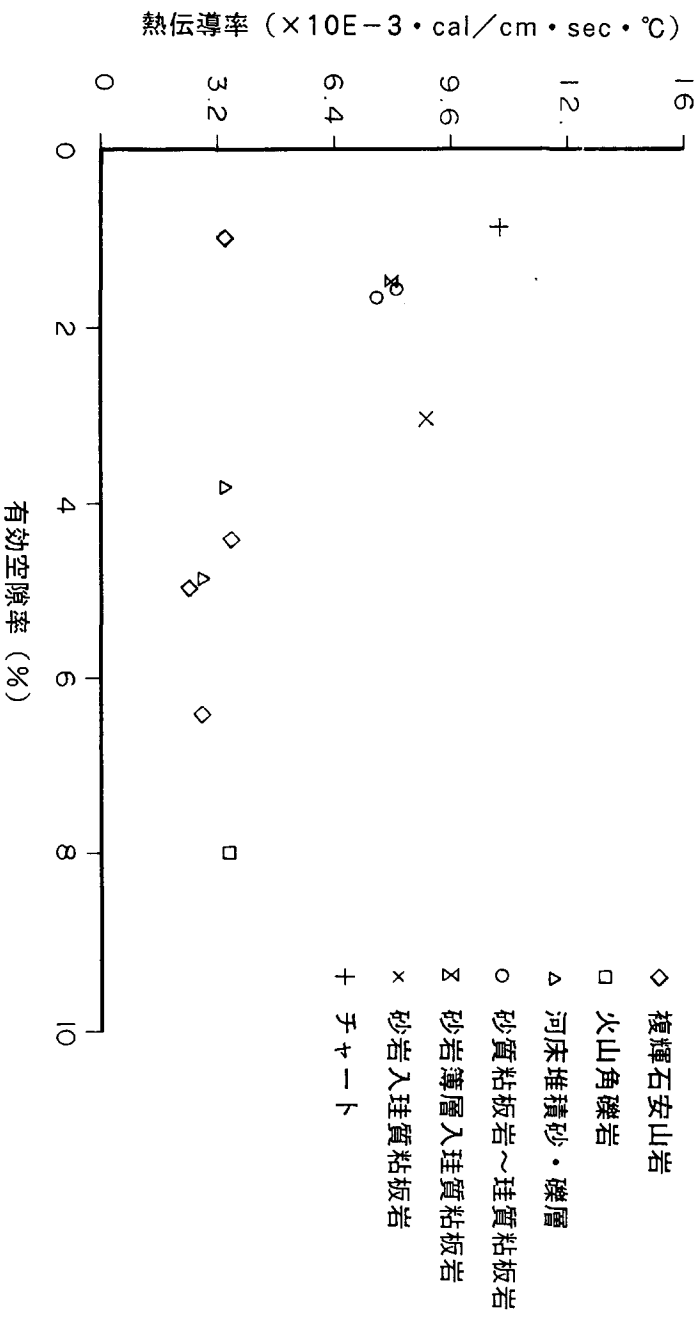
第IV-10図(1) 弹性波速度 - 有効空隙率相関図(岩石別)

相関係数 -0.22

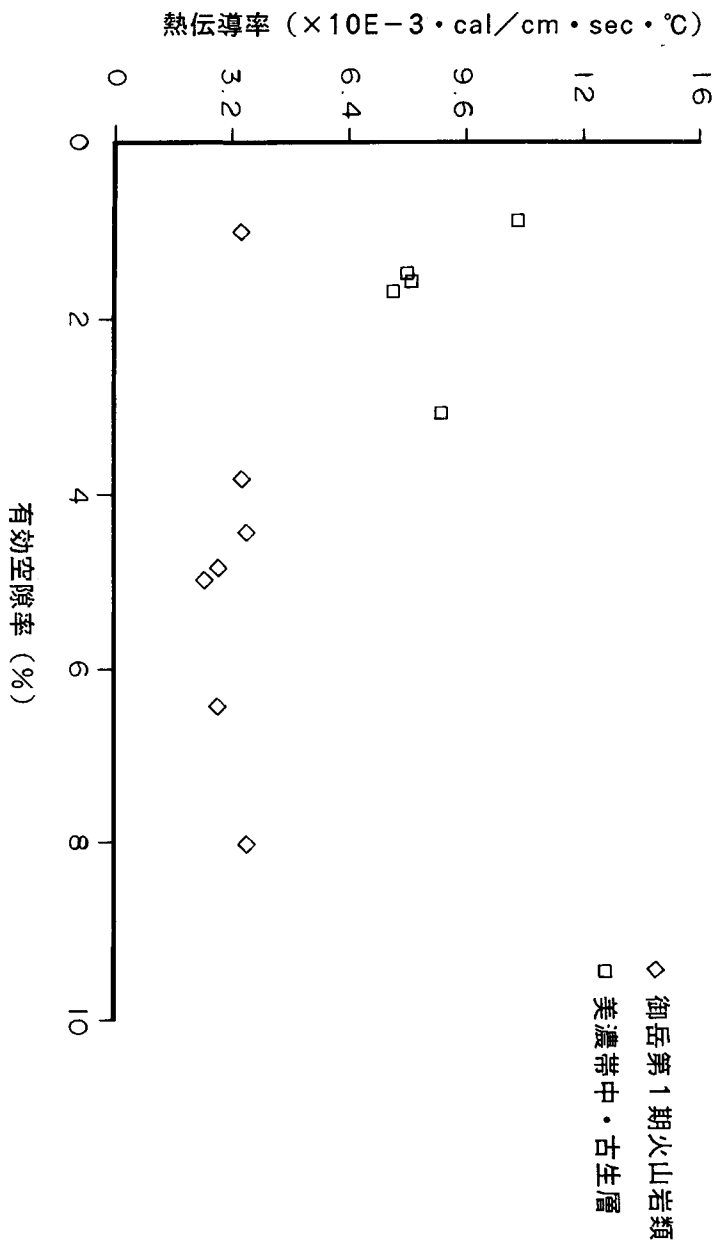


第IV-10図(2) 弹性波速度 - 有効空隙率相関図(地層別)

相関係数 - 0.68

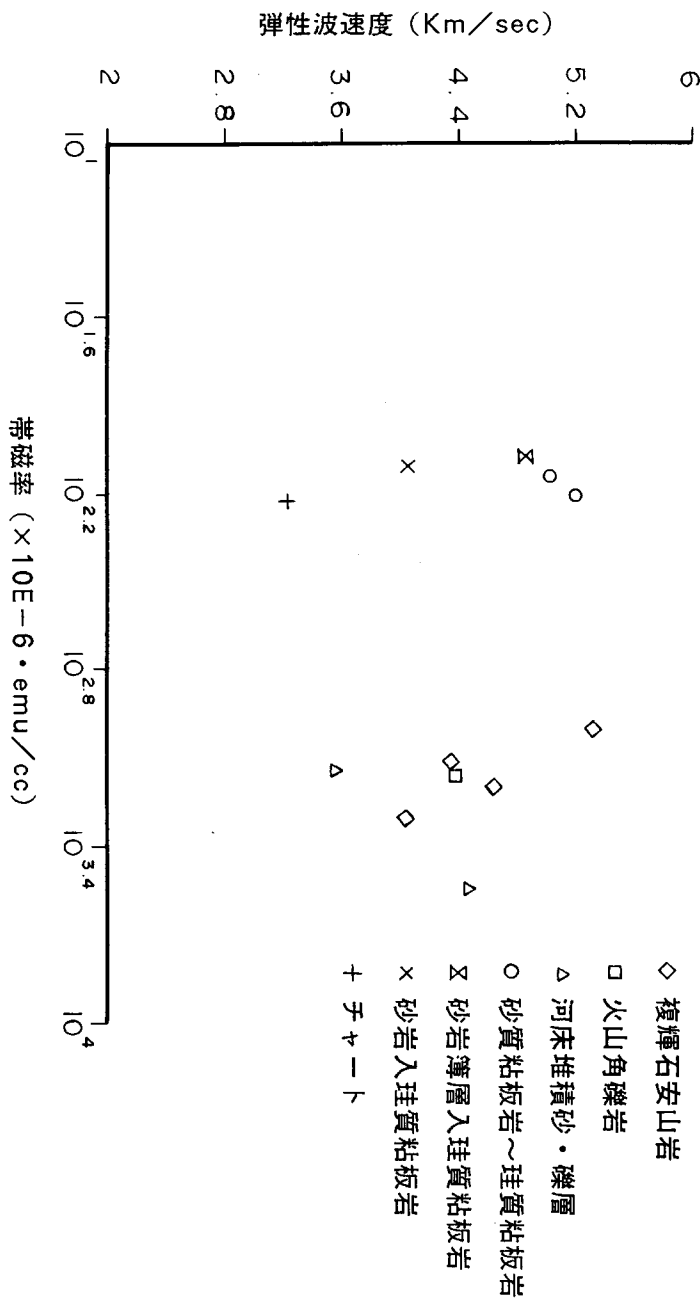


第IV-11図(1) 热伝導率-有効空隙率相関図(岩石別)



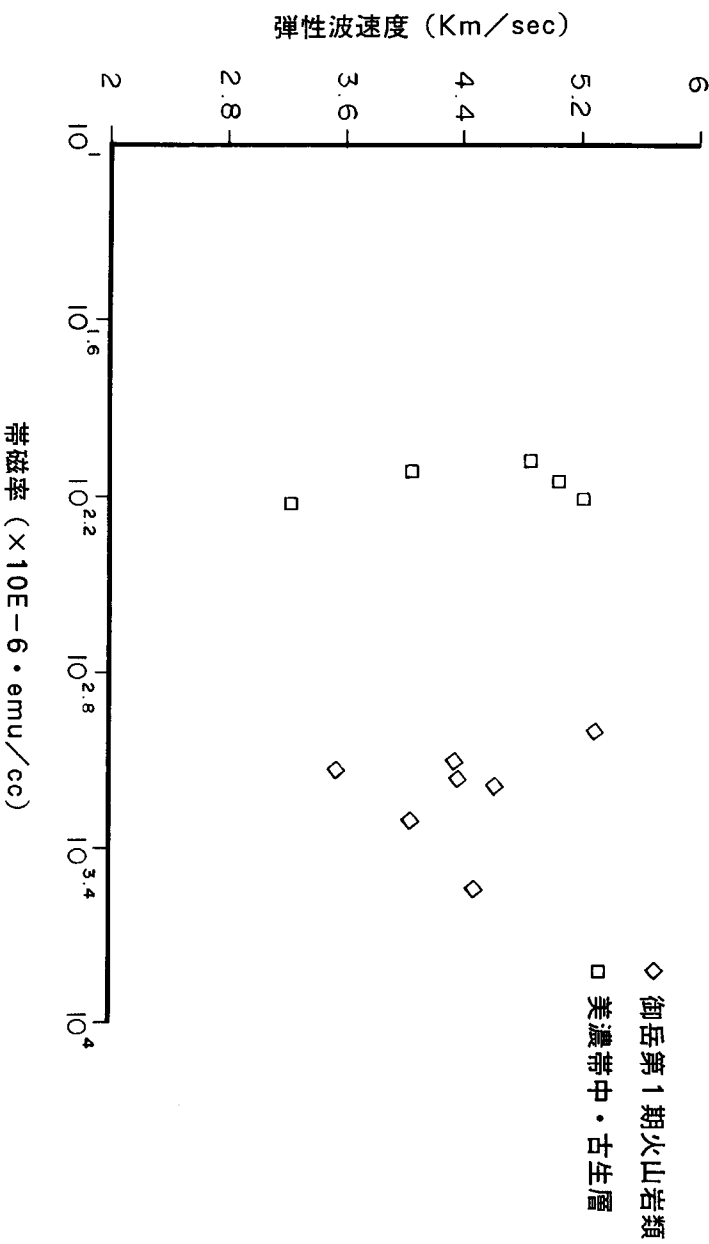
第IV-11図(2) 热伝導率-有効空隙率相関図(地層別)

相関係数 -0.11



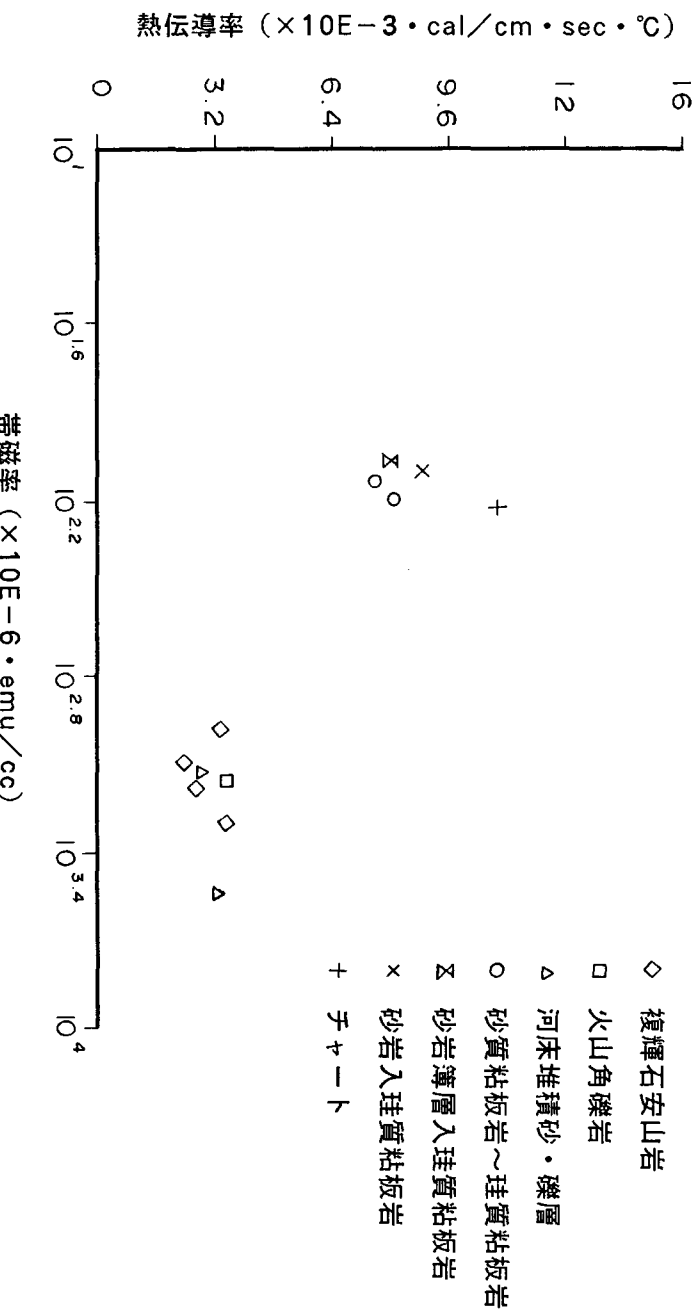
第IV-12図(1) 弹性波速度-帯磁率相關図(岩石別)

相関係数 -0.11

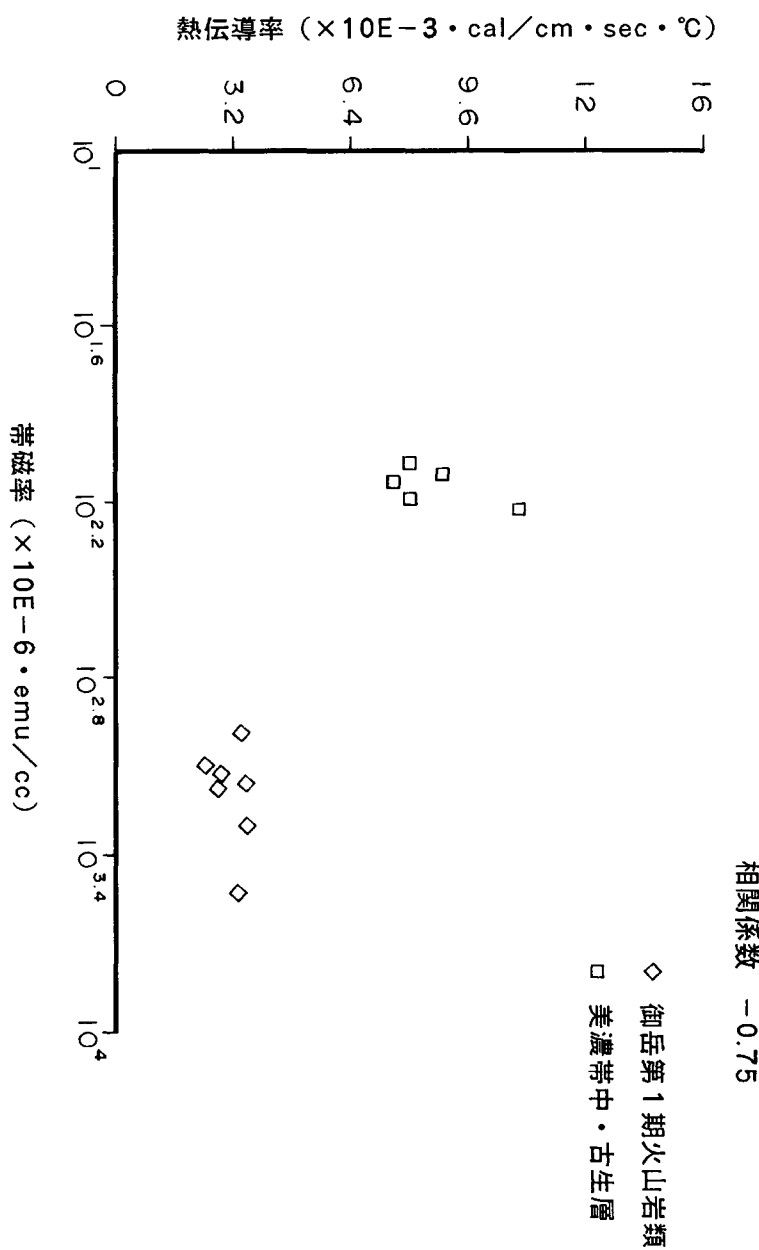


第IV-12図(2) 弹性波速度-帯磁率相關図(地層別)

相関係数 - 0.75

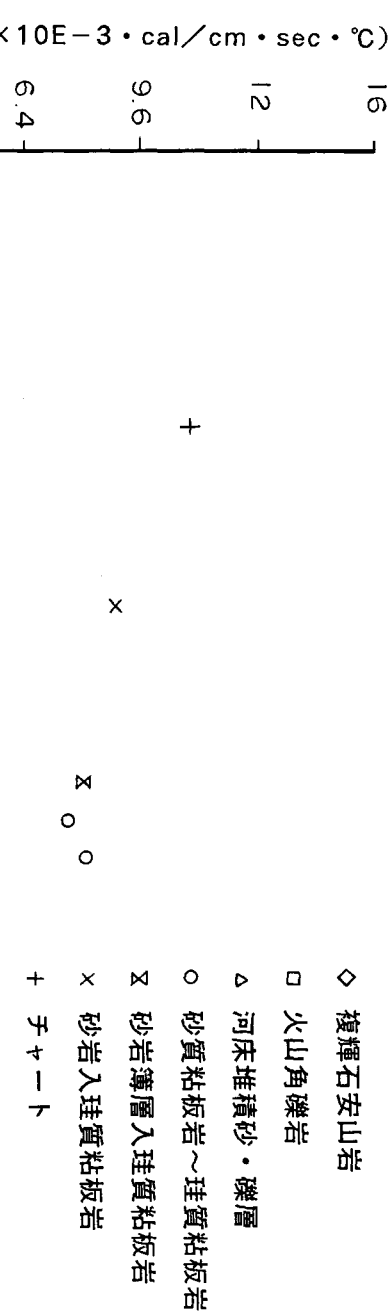


第IV-13図(1) 热伝導率 - 帯磁率相関図(岩石別)



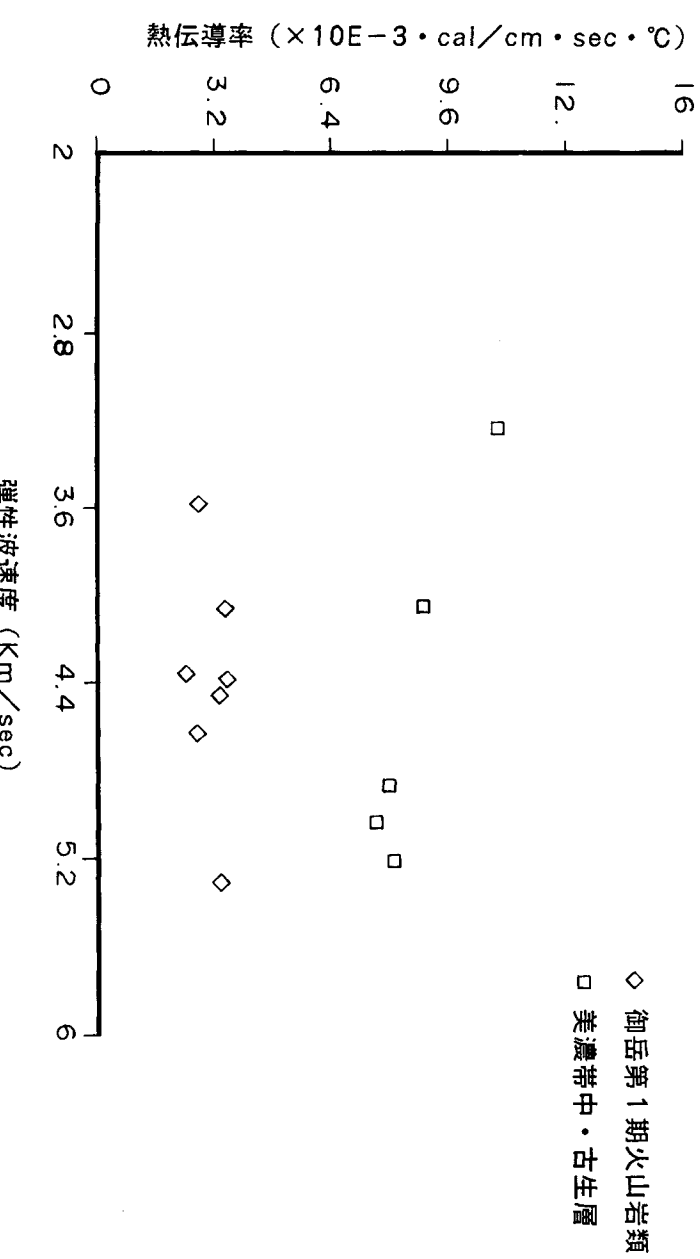
第IV-13図(2) 热伝導率 - 帯磁率相関図(地層別)

相関係数 -0.13



第IV-14図(1) 热伝導率-弹性波速度相關図(岩石別)

相関係数 -0.13



第IV-14図(2) 热伝導率-弹性波速度相關図(地層別)

第IV-6表 N61-OT-5 コア物性間相関係数

	密度(自然)	有効空隙率	帶磁率	弾性波速度 (自然)	熱伝導率
密 度(自然)	1.00				
有 効 空 隙 率	-0.82	1.00			
帶 磁 率	-0.45	0.54	1.00		
弾性波速度(自然)	0.25	-0.22	-0.11	1.00	
熱 伝 導 率	0.75	-0.68	-0.75	-0.13	1.00

V. 総括

## V. 総括

### V-1 調査及び測定

#### 1. 地質及び変質

調査井 N61-OT-5 は調査地域東部の御岳第1期火山岩類、美濃帯中・古生層の分布する区域で実施され、美濃帯中・古生層上にやや厚い河床堆積砂・礫層を最下部層として御岳第1期火山岩類が不整合の関係で接する事が再確認された。

本調査井で確認された地層は、美濃帯中・古生層及び御岳第1期火山岩類である。これらの地層の確認深度と見掛け層厚を第V-1表に示す。

第V-1表 地層別確認深度及び見掛け層厚

時代	地層名	N 61 - OT - 5		
		深度 (m)	層厚 (m)	
第更新四世 中新紀期	御岩 岳 火 山 類	御岳第1期火山岩類	30.00 - 292.20	262.20
二 ジ 疊 ユ 紀 ラ ン 紀	美濃帯中・古生層	292.20 - 502.00	209.80	

地質に関する新知見は以下のようにまとめられる。

- i ) 調査地域最東部において、御岳第1期火山岩類の層厚が予想よりやや厚く 262m 程度であった。
- ii ) 御岳第1期火山岩類中の安山岩溶岩は板状節理の発達が良い。
- iii ) 御岳第1期火山岩類の最下部に約 60m の層厚の河床堆積砂・礫層が存在する。
- iv ) 美濃帯中・古生層は OT-3, OT-4 両調査井のそれに比較するとチャート層の挟みが極めて少ない。

コア観察による変質状況は以下のようにまとめられる。

- i ) 御岳火山岩類には熱水による変質は全く認められない。
- ii ) 美濃帯中・古生層中には変質はほとんど認められず、若干の石英細脈及び方解石細脈が認められたのみである。

-OT-3, N61-OT-4之比較(以下依序)。

平身均溫度分配及效率量表 T-1~T-3 等, N60-QT-1, N60-QT-2, N61

#### (4) 民調查結果との對比

溫度異常會降低水分子對應子的反應速率小於 $1\%$ 。

162.1m, 224.25~226.4m, 267.2~272.0m, 286.1~286.9m, 451.15m

。N61-OT-5，深處36.7m，53.9m，64.9m，118.8m，126.9m，132.8m，151.6m，

海水方斯①王好毛②之孝次也示事。

九經外傳

。N61-OT-5,深腹198~225mm附近,225~305mm附近1c~2cで広葉葉巻部

溫度分佈比小規模的實驗結果為所得到的要少。

### (3) 温度分布の異常

此得小多也。繫諸量之於一處，則器皿之期失山石觀物美處，中古玉量之比亦大矣。

次回は山口県の温泉地を紹介する予定です。お楽しみに！

地 墓 名	溫 度 叉 配 算 量	鉛 盆 第 1 期火山岩類	美濃帶中・古生層
N61-OT-5	1.8 HFU 5.9°C / 100m	1.1 HFU 1.2°C / 100m	

第V-3表 地圖別溫度分配及土壤需量

(2) 地質剖面圖見附圖，斷面長度約以  $1:10$  為宜。

最高溫度，確定半導體及介質的升溫速度為 $1^{\circ}\text{C}/\text{min}$ 。

N61-OT-5	21.2°C (501.1 m)	21.6°C (500.0 m)	3.2°C/100m (160~500m)
坑 名	最高温度 (深度)	推定平衡温度 (深度)	温度勾配 (深度区间)

## 第八一-2表 装置温度，推定平衡温度及共温度分配

(1) 最高溫度，確定平衡溫度及 $\Delta H$ 溫度分配率以下何示。

(1) 游戲機器·溫度回復計數

2. 球内测定

◦ T-1	7.2°C／100m	4.5HFU	(深度 290m 以深)
◦ T-2	2.7°C／100m	2.5HFU	( " 190m " )
◦ T-3	3.1°C／100m	3.3HFU	( " 160m " )
◦ N60-OT-1	4.2°C／100m	3.3HFU	( " 268m " )
◦ N60-OT-2	3.1°C／100m	0.5HFU	(深度 320m 以深)
◦ N61-OT-3	3.7°C／100m	3.4HFU	( " 110m " )
◦ N61-OT-4	3.6°C／100m	3.4HFU	( " 190m " )
◦ N61-OT-5	3.2°C／100m	1.4HFU	( " 160m " )

今回の調査結果から得られた N61-OT-5 の平均温度勾配は T-1 坑のような大きな値とはならなかった。また、平均熱流量においても OT-2 について小さい値となつた。

温度異常については、N61-OT-5 は逸水カ所が多数有ったものの、温度異常に乏しい結果となつた。

## ( ii ) 電気検層

### (1) 自然電位

自然電位検層結果をまとめて以下に示す。

第 V - 4 表 自然電位検層結果総括表

N61-OT-5
<p>深度 292m 以浅の御岳第 1 期火山岩類は数 mV で短周期の振れが認められ、深度 65m, 126m, 160m, 175m, 198m および 220m 付近に -50~-100mV のスパイク状の振れが認められる。</p> <p>深度 298m 付近でベースラインが -50mV 程度ずれ、短周期の振れが減少している。深度 447~461m 付近で生負に 50~100mV 振れながらベースラインが +100mV ずれ乱れが生じている。</p>

## (2) 比 抵 抗

地層別の比抵抗平均値を以下に示す。

第V-5表 地層別比抵抗平均値

	N61-OT-5		
	層 厚 (m)	ショートノルマル (Ω・m)	ロングノルマル (Ω・m)
御岳第1期火山岩類	262	417	624
美濃帯中・古生層	210	325	460

比抵抗平均値において御岳第1期火山岩類と、美濃帯中・古生層で差がみられる。

## (3) 既調査結果との対比

比抵抗において、N60-OT-3及びN60-OT-4に比べて美濃帯中・古生層は同程度の値を示すが、御岳第1期火山岩類は大きな値を示す。しかし、泥水比抵抗、坑径等に左右される数値のため絶対的には比較しにくい。

### (iii) 注水試験

試験結果を示す。

第V-6表 注水試験結果総括表

坑 名	N61-OT-5			
試 験 種 別	注水 20ℓ/分	注水 40ℓ/分	注水 60ℓ/分	フォールオフ
浸透率層厚積(darcy・m)	$1.345 \times 10^{-1}$	$2.592 \times 10^0$	$2.291 \times 10^0$	$3.080 \times 10^0$
層 厚 (m) ※	202.2m	202.2m	202.2m	202.2m
浸 透 率 (darcy)	$6.652 \times 10^{-4}$	$1.282 \times 10^{-2}$	$1.133 \times 10^{-2}$	$1.523 \times 10^{-2}$
透 水 係 数 (m/sec)	$6.427 \times 10^{-9}$	$1.239 \times 10^{-7}$	$1.095 \times 10^{-7}$	$1.472 \times 10^{-7}$

本調査井は注水量がやや多く、自然注水による試験を行ったが、浸透率・層厚積及び浸透率はやや良いものとなった。孔明管挿入カ所の美濃帯中・古生層はいくらか透水性を示すと判断できる。

## V - 2 コア試験

### 1. 顕微鏡観察及び粉末X線回折分析

試錐コアの顕微鏡観察及び粉末X線回折分析により、変質鉱物として、絹雲母、緑泥石などが検出された。

御岳火山岩類には熱水による変質が認められない。

美濃帯中・古生層は変質鉱物として、石英、方解石、絹雲母、緑泥石等が認められたが、いずれも少量又は微量である。さらに、熱水による( $>200^{\circ}\text{C}$ )変質鉱物は殆んど認められない。

以上をまとめると本調査井の試料の顕微鏡観察及びX線回折分析から、1本調査井付近の地表下500m付近までは熱水による変質作用は認められず、地熱貯留層の可能性は極めて小さいと考えられる。

### 2. 物性試験

N61-OT-5における12個のコアにつき、密度、有効空隙率、帶磁率、弾性波速度及び熱伝導率の測定を実施した。このうち密度と弾性波速度は自然、乾燥、湿潤の3状態につき測定した。

地層別、岩石別の平均値を以下に示す。

第V-7表 地層別・岩石別物性平均値

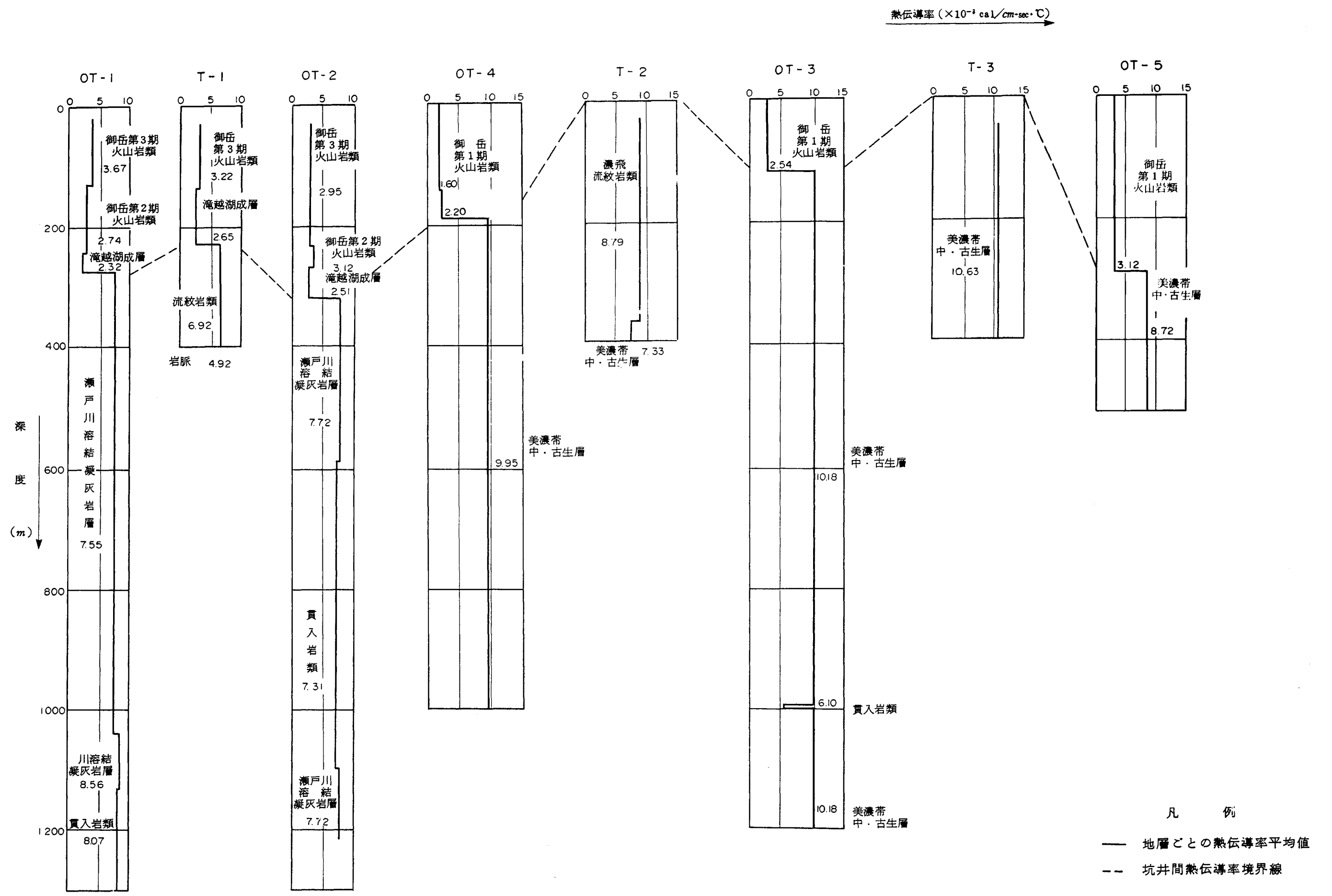
地層名	岩石名	試料数	密 度 ( $\text{g}/\text{cm}^3$ )	有効空隙率 (%)	帶 磁 率 ( $\times 10^{-6}\text{emu/cc}$ )	弾性波速度 ( $\text{km/sec}$ )			熱伝導率 ( $10^{-6}\text{cal/cm \cdot sec \cdot }^{\circ}\text{C}$ )
			自然			自然	乾燥	湿潤	
御岳第1期 火山岩類	複輝石安山岩	4	2.46 2.46 2.50	4.22	1,426	4.59	4.43	4.92	3.028
	火山角礫岩	1	2.47 2.46 2.54	8.00	1,414	4.38	4.38	4.59	3.531
	河床堆積砂礫層	2	2.51 2.50 2.54	4.34	2,360	4.02	3.56	3.97	3.082
	計	7	2.48 2.47 2.52	4.79	1,691	4.40	4.17	4.60	3.116
美濃帯 中・古生層	砂質粘板岩～ 珪質粘板岩	2	2.70 2.70 2.72	1.64	146	5.12	4.96	4.70	7.836
	砂岩薄層入 珪質粘板岩	1	2.72 2.71 2.73	1.49	117	4.86	4.54	3.43	8.010
	砂岩入 珪質粘板岩	1	2.68 2.67 2.70	3.06	126	4.06	3.83	4.40	8.918
	チャート	1	2.69 2.69 2.70	0.87	166	3.24	4.32	4.48	10.975
	計	5	2.70 2.69 2.71	1.74	140	4.48	4.52	4.34	8.715

物性試験の結果、弾性波速度を除いて、御岳第1期火山岩類と美濃帯中・古生層で物質差が認められた。

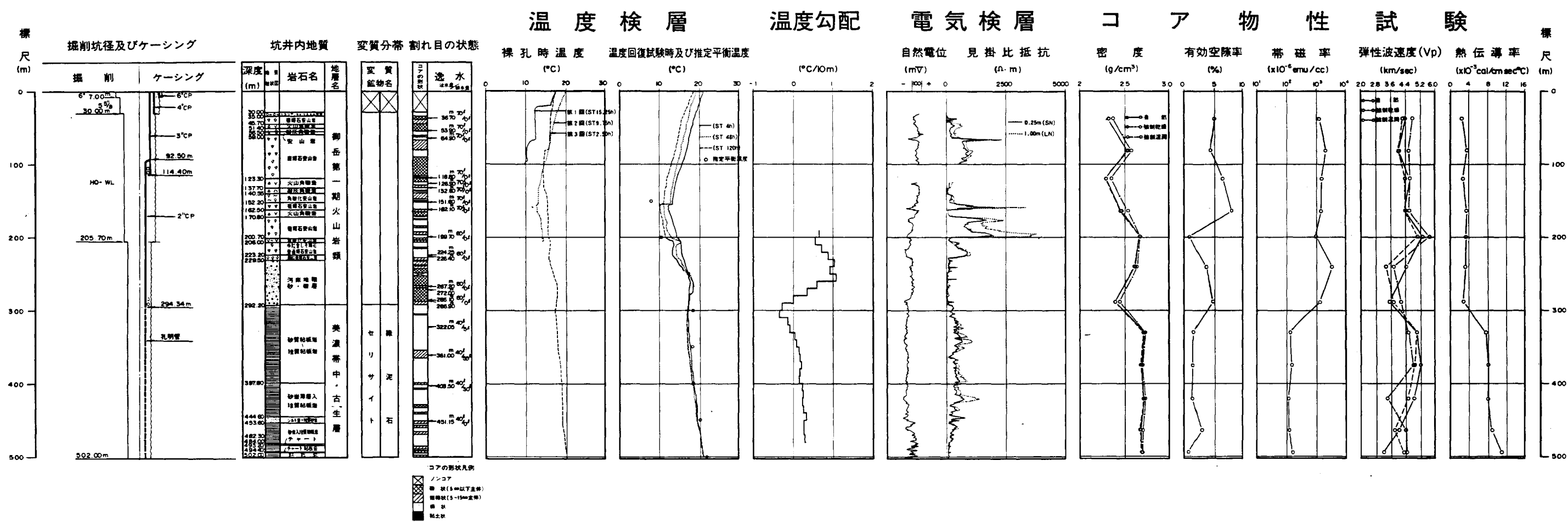
物性相互間の相関は、密度と有効空隙率、有効空隙率と熱伝導率及び帶磁率と熱伝導率に負の相関が、密度と熱伝導率に正の相関が認められた。

今回実施されたN61-OT-5と既に実施されたT-1～T-3及びN60-OT-1～OT-4の合計8坑につき、コアの熱伝導率分布図を第V-1図に示す。

第V-1図によれば、熱伝導 $3 \times 10^{-3}$ cal/cm・sec・°C前後の上位の御岳火山岩類及び滝越湖成層と、およそ $8 \times 10^{-3}$ cal/cm・sec・°C程度以上の濃飛流紋岩類、貫入岩類、美濃帯中・古生層を主とする下位置との間には、明らかな熱伝導境界面が存在する。



第V-1図 热伝導率の垂直分布図



第V-2図 N61-OT-5 総合柱状図

### V - 3 調査のまとめ

掘削及び調査工事のまとめを第V-9表に、また総合柱状図を第V-3図に示す。

#### • N61-OT-5

本坑は502.00mを掘削し、その間数ヶ所の逸水をみた。逸水は御岳火山岩類に著しかった。

コア地質では御岳第1期火山岩類及び美濃帯中・古生層が確認された。

顕微鏡観察及び粉末X線回折分析の結果から、御岳第1期火山岩類中には低温生成のクリストバライトが認められ、美濃帯中・古生層中には低-中温(<200°C)、弱酸性-中性の環境下に生成する変質鉱物、即ち絢雲母及び緑泥石が認められる。熱水による変質作用の所産である白色変質鉱物は認められなかった。

坑井内の最高温度は坑底の21.2°C(ST:120時間)、温度勾配は平均3.2°C/100m、熱流量は平均1.4HFU(深度160m以深)であり顕著な熱異常はみられなかった。

#### V-4 まとめ

長野県王滝地域における地熱開発促進調査の一環として、500mの精密構造調査井を掘削し、コアによる地質・変質調査、温度・電気検層、コアを用いた諸試験、注水試験及び熱水（流体）の分析を実施した。その結果は以下のようである。

本調査井で確認された地質は、下位から二疊紀～ジュラ紀の美濃帯中・古生層、第四紀更新世の御岳第1期火山岩類である。本調査井は調査地域東部の低比抵抗帯の区域で掘削され、当地域の基盤をなす美濃帯中・古生層の層厚が200m以上に及ぶことが確認された。

変質作用は御岳火山岩類にはほとんど認められず、クリストバライトが初生鉱物として少量認められたのみで、200°C以上の熱水によるものは認められない。また、美濃帯中・古生層は全般にごく弱い変質作用を蒙り、絹雲母及び緑泥石が少量認められる。プロピライト化に似た変質作用と考えられるが、200°C以上の熱水による変質作用はほとんど認められない。

295m付近の流体の分析によると、Na、K、 $\text{HCO}_3$ 成分が周辺の温泉水より高くNa-K-Ca温度計によれば180.8°Cを示し、熱水起源を示している。しかしながら同位体分析等の結果から古い天水起源であることが示され、かなり深部から上昇してきた天水循環水であり、その熱源を確定するに足るデータに乏しい。

以上の事から、本地域の地表下500mまでに地熱貯留層の存在する可能性は極めて乏しいと考えられる。

第V-8表 昭和61年度王滝地域精密構造試錐及び調査工事（その2）総括表

		N 61 - OT - 5																									
掘削	深 度	502.00m																									
	静水位	80.0m (海拔 1,170m)																									
	逸水状況 (ℓ/min)	36.70m … 70, 118.80m … 70, 151.60m … 70, 224.25m … 70, 272.00m … 60, 295.0 m … 溢水 < 10 ℓ/m, 403.50m … 10 53.90m … 70, 126.90m … 70, 162.10m … 70, 226.40m … 70, 286.10m … 60, 322.05m … 35, 451.15m … 40 64.90m … 70, 132.80m … 70, 199.70m … 70, 267.20m … 60, 286.90m … 60, 361.00m … 5,																									
地質	地質層序	0 ~ 30.00m 崖堆（ノンコア） ~ 292.20m 御岳第1期火山岩類（輝石安山岩、火山角礫岩） ~ 502.00m 美濃帶中・古生層（粘板岩、砂岩、チャート）																									
	変質状況	① 美濃帶中・古生層中に絹雲母、緑泥石、（石英細脈）、（方解石細脈）が認められる。																									
温度	温 度	最高温度 21.2°C (深度 501.1 m, ST120 時間) 推定平衡温度 21.6°C (深度 500.0 m)																									
	温 度 勾 配 (100 m当たり)	御岳第1期火山岩類 5.9°C/100 m, 美濃帶中・古生層 1.2°C/100 m																									
	温度分布異常カ所	深度 198~225 m付近, 225 ~305 m付近に 1°C ~ 2°C の凸形増温部が認められた。																									
電気	自然電位	深度 292m 以浅の御岳第1期火山岩類は数m v で短周期の振れが認められ、これ以深の美濃帶中古生層では短周期の振れが減少している。																									
	見掛け比抵抗 (地層別平均値)	<table border="1"> <thead> <tr> <th></th><th>層厚 (m)</th><th>S N 25cm (Ω · m)</th><th>L N 100cm (Ω · m)</th><th colspan="3">御岳第1期火山岩類の比抵抗が高い値を示す。</th></tr> </thead> <tbody> <tr> <td>御岳第1期火山岩類</td><td>262</td><td>417</td><td>624</td><td colspan="3"></td></tr> <tr> <td>美濃帶中・古生層</td><td>209</td><td>325</td><td>460</td><td colspan="3" rowspan="2"></td></tr> </tbody> </table>						層厚 (m)	S N 25cm (Ω · m)	L N 100cm (Ω · m)	御岳第1期火山岩類の比抵抗が高い値を示す。			御岳第1期火山岩類	262	417	624				美濃帶中・古生層	209	325	460			
	層厚 (m)	S N 25cm (Ω · m)	L N 100cm (Ω · m)	御岳第1期火山岩類の比抵抗が高い値を示す。																							
御岳第1期火山岩類	262	417	624																								
美濃帶中・古生層	209	325	460																								
物性	物 性 (地層別平均値)	<table border="1"> <thead> <tr> <th></th><th>密 度 (自然) (g/cm³)</th><th>有効空隙率 (%)</th><th>帶磁率 (×10⁻⁶emu/cm³)</th><th>弾性波速度 (自然) (km/s)</th><th>熱伝導率 (×10⁻³cal/cm · s · °C)</th><th>個数</th></tr> </thead> <tbody> <tr> <td>御岳第1期火山岩類</td><td>2.48</td><td>4.79</td><td>1,691</td><td>4.40</td><td>3.116</td><td>7</td></tr> <tr> <td>美濃帶中・古生層</td><td>2.70</td><td>1.74</td><td>140</td><td>4.48</td><td>8.715</td><td>5</td></tr> </tbody> </table>						密 度 (自然) (g/cm³)	有効空隙率 (%)	帶磁率 (×10⁻⁶emu/cm³)	弾性波速度 (自然) (km/s)	熱伝導率 (×10⁻³cal/cm · s · °C)	個数	御岳第1期火山岩類	2.48	4.79	1,691	4.40	3.116	7	美濃帶中・古生層	2.70	1.74	140	4.48	8.715	5
	密 度 (自然) (g/cm³)	有効空隙率 (%)	帶磁率 (×10⁻⁶emu/cm³)	弾性波速度 (自然) (km/s)	熱伝導率 (×10⁻³cal/cm · s · °C)	個数																					
御岳第1期火山岩類	2.48	4.79	1,691	4.40	3.116	7																					
美濃帶中・古生層	2.70	1.74	140	4.48	8.715	5																					
熱流量	熱 流 量	1.4 HFU (深度 160~500 m)																									
注水試験	浸透率・層厚積 (kh)	Kh = 2.592 × 10⁰ darcy · m (40 ℓ 注水時)																									
流体分析	分 析 値	Na = 1,030, K = 89.4, Ca = 303, Mg = 45.3, HCO₃ = 2,926, T-CO₂ = 2,762, SO₄ = 128, Cl = 694, Li = 3.12, Sr = 2.54, B = 4.2, F = 1.09, Aℓ = 0.27, Fe = 149, H₂S = < 0.01, SiO₂ = 94.8, δD = -62.0, δ¹⁸O = -11.5, δ³⁴S = +16.8, δ¹³C = +0.8, δ²H = 1.5 ± 0.2‰																									

単位 : Na ~ SiO₂ (mg/ℓ), δD ~ δ¹³C (‰)

引　用　文　献

## 引　用　文　献

Kobayashi, T.(1974) : The Petrochemical characteristics of Ontake Volcano., Jour. Coll. Lib. Art. Toyama Univ., Vol. 7, p. 71~85.

神津叔祐(1907) : 木曾御岳火山地質調査報告, 地震予防調査会報告, №59, p. 1~63.

濃飛流紋岩団体研究グループ(1973) : 濃飛岩体東縁における流紋岩類の層序と形成史, 地球科学, Vol. 27, p. 161~179.

山田直利・河田清雄・諸橋 育(1971) : 火碎流堆積物としての濃飛流紋岩, 地球科学, Vol. 25, p. 52~88.

金原啓司(1982) : 変質帯調査, 地熱開発総合ハンドブック, p. 41~52.

## 参 考 文 献

## 参考文献

阿部喜久男・茂野 博・池田喜代治・安藤直行・後藤隼次(1979)：秋田県小安・泥湯・秋の宮地熱地域の熱水・蒸気凝縮水の溶存化学組成、水素・酸素同位体組成およびトリチウムの濃度、地質調査所月報、Vol. 30, p. 177～197.

栗田泰夫・原山智・遠藤秀典(1984)：1984年長野県西部地震の緊急調査報告、地質ニュース、364, p. 20～31.

Fournier R. O., Truesdell A. H. (1973) : An empirical Na-K-Ca geothermometer for natural waters, *Geochem. Cosmochim. Acta.*, Vol. 37, p. 1255～1275.

Fournier R. O., Potter R. W. (1979) : Magnesium correction to the Na-K-Ca chemical geothermometer, *Geochem. Cosmochim. Acta.*, Vol. 43, p. 1543～1550.

後藤恵之輔・愛甲 敬・有沢雄三(1985)：長野県西部地震における大規模土砂崩壊の発生、土木学会誌、2, p. 12～19.

花岡尚之(1982)：マグネットルリック法とその周辺、物理探鉱、Vol. 35, No. 5.

原山 智・小井戸由光・石沢一吉・仲井 豊・沓掛俊夫(1985)：中部地方における白亜紀～古第三紀火成活動の変遷、地球科学、Vol. 39, p. 345～357.

飯田 浩事(代表者)(1985)：1984年長野県西部地震の地震および災害の総合調査、自然災害科学総合研究班。

石戸経士(1981)：地熱水対流に伴う流動電位－地熱地域における自然電位異常の1つのメカニズムとして－、日本地熱学会誌、Vol. 3, p. 87～100.

Ishido, T. and H. Mizutani (1981) : Experimental and Theoretical Basis of Electrokinetic Phenomena in Rock-Water Systems and Its Applications to Geophysics, *J. Geophys. Res.*, Vol. 86, p. 1763～1775.

石戸経士(1982)：自然電位、地熱開発総合ハンドブック、p. 249～258.

伊藤一郎 (1951) : 自然分極法の基礎研究 .

糸魚川淳二 (1981) : VII 新しい火山(4) 御岳火山, 日本地方地質誌, 中部地方 (改訂版),  
p. 383 ~ 385, 朝倉書店.

泉谷恭男 (1985) : 地震の概要, 昭和59年長野県西部地震による災害, 信州大学自然災害研究会,  
p. 2 ~ 8.

地震学会 : 地震学会講演予稿集, 昭和60年度春・秋季大会, 地震学会.

鎌田政明・小沢竹二郎・村上悠紀雄・吉田 稔 (1985) : 地熱流体の化学, 東京大学出版会,  
p. 215.

活断層研究会 (1980) : 日本の活断層, 東京大学出版会, p. 363.

河田清雄・山田直利・儀見 博・村山正雄・片田正人 (1961) : 中央アルプスとその西部の地質,  
その2 : 濃飛流紋岩類, 地球科学, No. 54, p. 20 ~ 31.

気象庁 : 地震観測指針, 気象庁.

建設省国土地理院編 : 地震予知連絡会会報, 第33巻, 第34巻, 建設省国土地理院.

小林啓美・大町達夫・翠川三郎 (1985) : 長野県西部地震 1984 の断層について, 昭和60年度春季  
地震学会講演予稿集, p. 15.

小林国夫・清水英樹・北沢和男・小林武彦 (1967) : 御岳火山第一浮石層-御岳火山第一浮石層  
の研究 その1-, 地質学雑誌, Vol. 73, p. 291 ~ 308.

小林武彦・大森江い・大森貞子 (1975) : 御岳火山噴出物の化学的性質, 地質調査所月報, Vol.  
26, p. 7 ~ 22, p. 497 ~ 512.

小林武彦 (1980) : 御岳山 1979年火山活動, 御岳火山 1979年火山活動および災害の調査研究報告書,  
青木治三編, p. 4 ~ 12.

小坂丈予・小沢竹二郎・酒井 均・平林順一(1983)：木曽御岳火山1979年噴火後の活動状況と  
地球科学的研究，火山，第2集，Vol. 28，p. 59～74.

Marshall W. L., Slasher. R. (1968) : Aqueous systems at high temperature, solubility to 200°C of calcium sulfate and its hydrates in sea water and saline water concentrates, and temperature concetration limits, Jour. Chem. Engineer Data, Vol. 13, p. 83～93.

松本盆地団研木曽サブグループ(1985)：昭和59年長野県西部地震による地盤災害と御岳山南麓の第四系(その1)，地球化学，Vol. 39，p. 89～104.

三井金属鉱業株式会社(1981)：御岳山西部地質概査報告書。

三井金属鉱業株式会社(1981)：御岳山地域写真地質解析調査報告書。

三井金属鉱業株式会社(1982)：御岳山地域地熱調査地質概査報告書。

三井金属鉱業株式会社(1982)：御岳地域地熱調査地化探査報告書。

三井金属鉱業株式会社(1983)：御岳地域地熱調査重力探査報告書。

三井金属鉱業株式会社(1983)：御岳地域地熱調査総合解析報告書。

三井金属鉱業株式会社(1983)：御岳地域地熱調査地質・変質帯・温泉調査報告書。

三井金属鉱業株式会社(1983)：御岳地域地熱調査王滝地点地化探査報告書。

三井金属鉱業株式会社(1983)：御岳地域地熱調査(精査)王滝地点地質・変質帯調査。  
(ルートマップ作成)。

三井金属鉱業株式会社(1983)：御岳地域地熱調査(精査)王滝及び小坂地点電磁探査(電磁マッピング法)報告書。

宮村攝三編：地震・火山・岩石物性，共立出版。

村上 裕 (1983) : マグネットテルリック法の基礎概念, 物理探鉱, Vol. 36, № 6.

長野県地学会編著 (1962) : 20万分の1長野県地質図説明書, 改訂版, 内外地図株.

日本地球化学会 (1978) : 水汚染の機構と解析, 産業図書, p. 292.

濃飛流紋岩団体研究グループ (1976) : 濃飛岩体西部地域の流紋岩類ーとくに, 陥没構造と火山活動のステージについてー, 地球科学, Vol. 193 ~ 205.

野田徹郎, 古賀昭人, 西山英輔, 広渡和緒 (1980) : 地球科学探査のための電卓プログラミング, 九電研究期報, 54, p. 85 ~ 100.

野田徹郎 (1982) : 地熱の科学探査の基礎的テクニック, 地熱エネルギー, 19, p. 104 ~ 119.

Quaternary Research Group of the Kiso Valley and KIGOSHI, K. (1964) : Radiocarbon Data of the Kisogawa Volcanic Mudflows and its Significance of the Wurmian Chronology of Japan., 地球科学, № 71, p. 1 ~ 7.

Rye R. O., Ohmoto H. (1974) : Sulfur and carbon isotopes and ore genesis A review, Econ. Geol, Vol. 69, p. 821 ~ 842.

坂元隼雄・鎌田政明 (1981) : 環境試料中の超微量元素水銀の定量, 日本化学会誌, 1, p. 32 ~ 39.

鮫島輝彦 (1958) : 木曾御岳火山の地質. 御岳火山の地質, 御岳研究(自然編), 木曾教育会, p. 19 ~ 96.

佐藤七郎・斎藤徳美・佐々木茂 (1984) : 岩手県葛根田地熱地域における自然電位測定結果について, 日本地熱学会誌, Vol. 6, p. 293 ~ 314.

Shigeno, H. and Abe, K. (1983) : B - Cl geochemistry applied to geothermal fluids in Japan, especially as indicator for deep-rooted hydrothermal systems. Extended Abstracts of 4th Internat. Symp. on Water-Rock Interaction, Misasa, 1983, p. 437 ~ 440.

柴田 賢・山田直利(1977)：岐阜県東部の高原火山岩類および上野玄武岩のK-Ar年代， 地球科学， Vol. 31, p. 15～18.

島 坦・川上 浩・泉谷恭男・酒井潤一(1985)：昭和59年(1984年)長野県西部地震報告，土木学会誌，2月号，p. 2～11.

信州大学(1985)：昭和59年長野県西部地震による災害，信州大学自然災害研究会。

曾屋龍典・小林武彦(1982)：火山噴火物の地質学的・岩石学的研究. 1974年の御岳山・阿蘇山の噴火に関する特別研究報告書，科学技術庁研究調整局，p. 80～94.

Strangeway, D. W. (1984) : Audio Frequency Magnetotelluric Sounding, Development in Geophysical Exploration Method - 5.

鈴木励子・浅井和見(1985)：御岳周辺の温泉水および温泉沈澱物について，講演要旨，火山第2集，30, 2, p. 112～113.

Truesdell A. H. (1975) : Geochemical techniques in exploration, Summary of section III. Proceedings of Second U. N. Symp. on the Development and Use of Geothermal Resources, San Francisco, 1975, I iii-I xxxix.

津村建四郎(1967)：振動継続時間による地震のマグニチュードの決定，地震II，Vol. 20, p. 30～40.

宇都浩三・山田直利(1985)：岐阜県坂下町上野玄武岩および高山市南方の玄武岩溶岩のK-Ar年代. 地質調査所月報, Vol. 36, p. 47～52.

宇津徳治：地震学，共立出版。

脇田浩二(1985)：美濃帯中・古生界における研究史と最近の研究動向，地球科学，Vol. 39, p. 18～30.

渡辺 晃(1971)：近地地震のマグニチュード，地震II，Vol. 24, p. 189～200.

矢島壮吉・小原 賢(1985)：長野県西部地震による斜面崩壊の空中写真地質解析，土と基礎，  
Vol. 33, № 11.

山田直利(1961)：5万分の1地質図幅「加子母」および説明書，地質調査所。

山田直利・須藤定久・垣見俊弘(1976)：阿寺断層周辺地域の地質構造図，地質調査所特殊地質  
図，№ 19.

山本荘毅(1983)：新版 地下水調査法，古今書院，p. 490.

横川勝美(1984)：CSAMT法の概要，物理探鉱，Vol. 37, № 5.

横山秀吉・阿部司・中部勝人・加藤彰一(1982)：宮城県鬼首地熱地域における自然電位測定結果について，日本地熱学会誌，Vol. 4, p. 91～106.

Zonge Engineering & Research Organization INC. (1982) : Interpretation Guide  
for CSAMT. Data.